

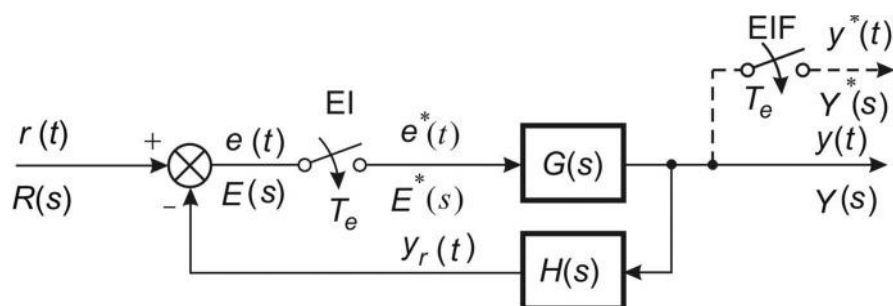
CAPITOLUL 4

SISTEME DISCRETE

OBIECTIVE

După studierea acestui capitol vei cunoaște:

- Modul în care se realizează conversia analog-numeric a semnalelor și cum se reconstituie semnalele continue din cele eantionate.
- Definiția, proprietățile și teoremele transformatei Z.
- Cele mai importante transformate Z precum și perechile uzuale de transformate Laplace și Z.
- Cum se determină transformata Z inversă a unor funcții complexe de variabilă z.
- Definiția, proprietățile și teoremele transformatei Z modificate.
- Modelele dinamice ale sistemelor discrete descrise prin ecuații cu diferențe și funcții de transfer z și operaționale.
- Metodele de calcul exact și aproximativ al funcțiilor de transfer z.
- Cum se calculează funcțiile de transfer echivalente pentru sistemele discrete complexe (cu mai multe elemente).
- Procedeele de analiză a răspunsului în timp al sistemelor discrete uzuale.
- Metodele folosite pentru evaluarea stabilității sistemelor discrete.
- Relațiile utilizate pentru analiza erorilor staționare a sistemelor discrete.
- Cum se aplică metoda locului rădăcinilor în sistemelor cu eantionare.
- Modelele sistemelor discrete cu variabile de stare.



4.1 NO IUNI INTRODUCTIVE

Conducerea numeric a proceselor industriale a c p t at valen e noi ca urmare a evolu iei conceptelor de reglare i mai ales datorit progreselor spectaculoase înregistrate în domeniul tehnologiei circuitelor integrate pe scar larg i foarte larg (VLSI), a microprocesoarelor i a sistemelor de interfa pentru achizi ia i conversia datelor. Conceptele moderne de conducere a proceselor, concretizate în algoritmi de reglare de mare complexitate, pot fi acum implementate cu eficien prin utilizarea structurilor hardware cu procesoare de semnal, ob inându-se în acest mod sisteme flexibile cu performan e de reglare deosebite.

În figura 4.1 sunt prezentate comparativ schemele-bloc func ionale pentru un sistem de reglare continuu (Fig. 4.1a), respectiv pentru un sistem de reglare numeric (Fig. 4.1b).

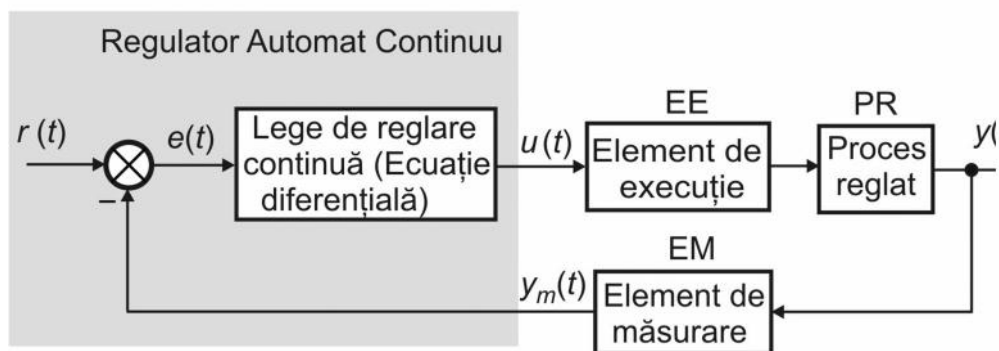


Fig. 4.1a

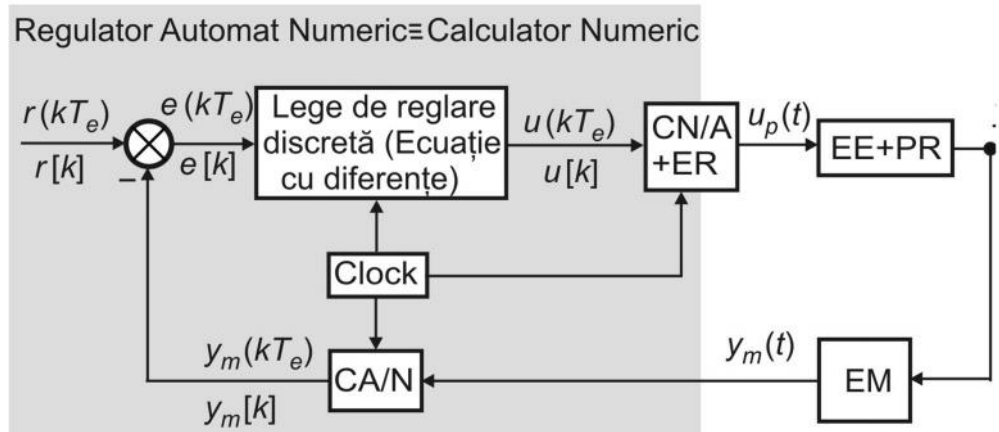


Fig. 4.1b

Diferen ele fundamentale între cele dou implement ri sunt determinate de faptul c sistemul numeric prelucreaz e antioane prelevate în anumite momente, din semnalul m surat la ie ire iar procesarea datelor, conform legii de reglare, se face cu ajutorul unor ecua ii algebrice recursive. Denumirea de sistem de reglare numeric este determinat de faptul c prelucrarea semnalelor se realizeaz în cadrul unui sistem numeric de calcul (procesor numeric).

Elementele specifice ale unui sistem numeric sunt convertoarele analog/numeric (CA/N) i numeric/analogic (CN/A), care realizeaz interfa a între procesul continuu i calculatorul numeric.

Convertorul **analog/numeric** (CA/N) transform semnalele analogice în secven e temporale numerice, care sunt semnale discretizate în timp i aplitudine reprezentate în form binar .

Convertorul **numeric/analogic** (CN/A) realizează funcția de reconstituire a semnalelor continue din semnalele numerice reprezentate în formă binară.

În cadrul procesului de conversie numeric-analogică se realizează și o filtrare cu un filtru trece-jos (FTJ) a semnalelor discretizate în timp și amplitudine.

4.2 CONVERSIA ANALOG-NUMERIC A SEMNALELOR. DISCRETIZAREA SEMNALELOR ANALOGICE

Pentru fixarea terminologiei se reamintește că un semnal $f(t)$ este numit *semnal analogic* sau *continuu în timp* dacă este definit pentru toate valorile reale ale variabilei timp, t . Dacă semnalul $f(t)$ este definit numai pentru valori discrete ale timpului t , semnalul este numit *semnal discret în timp* sau *semnal eantionat*. Dacă semnalul eantionat este cuantizat în amplitudine, adică poate lua, din punctul de vedere al amplitudinii, numai anumite valori, atunci el se numește *semnal discret*. Semnalele discrete (eantionate și cuantizate în amplitudine) reprezentate în formă binară se numesc *semnale numerice (digitale)*.

Prima etapă a procesului de conversie analog-numeric este *eantionarea*. Prin eantionare se prelevează valorile semnalului continuu $f(t)$ la intervale de timp egale, kT_e ($k = 0, \pm 1, \pm 2, \dots$). În acest fel variabila timp continuu t , este convertită în variabila timp discret kT_e cu $k \in \mathbf{Z}$ (mulțimea numerelor întregi). Intervalul temporal dintre două eantioane succesive, notat cu T_e , se numește *periodă de eantionare*. Semnalul eantionat (v. fig. 4.2,b) este o succesiune (un tren) de pulsuri modulate în amplitudine la valorile semnalului continuu prezentat în figura 4.2,a.

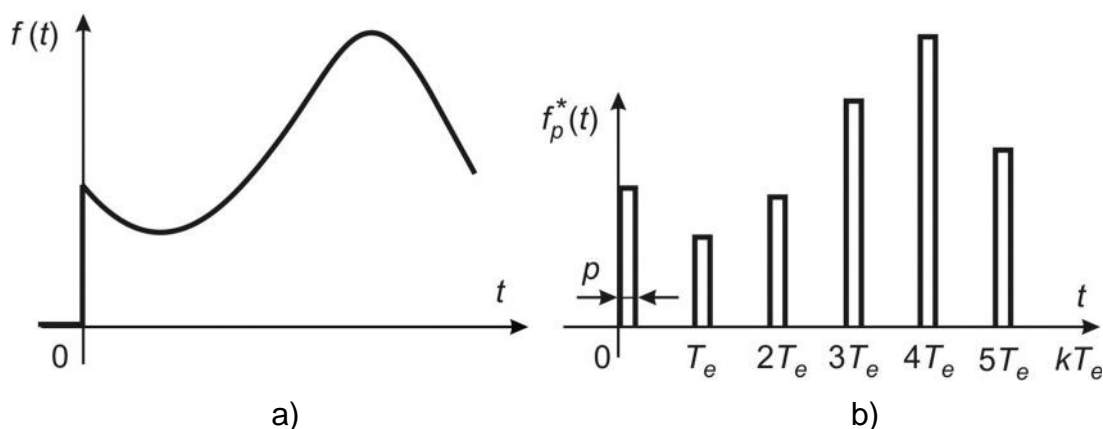


Fig. 4.2

Utilizarea semnalelor eantionate reale modelate prin pulsuri modulate în amplitudine complică foarte mult analiza sistemelor discrete în timp. Din acest motiv și având, de asemenea, în vedere că durată de menținere a valorilor eantionate (p) este practic foarte mică, se preferă ca semnalele eantionate să fie modelate ca un tren de impulsuri unitare (Dirac) modulate în amplitudine (v. fig. 4.3). Semnalele modelate prin trenuri de impulsuri Dirac se numesc *semnale eantionate ideale*.

În a doua etapă a procesului de conversie analog-numeric semnalul eantionat este *cuantizat în amplitudine*. Cuantizarea în amplitudine asociază semnalului inițial (semnalul eantionat ideal) o valoare cât mai apropiată dintr-o mulțime de valori aprioric fixate, numite *niveluri de cuantizare*.

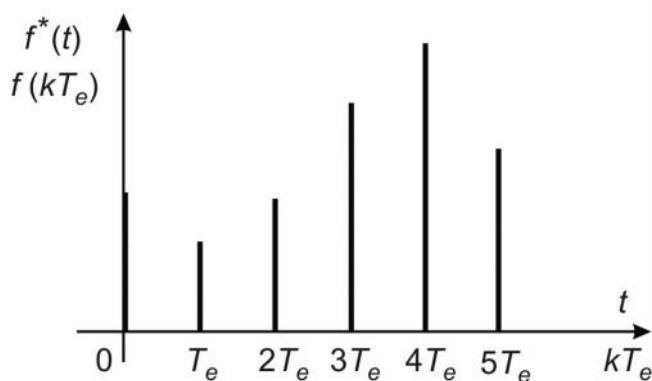


Fig. 4.3

Diferența dintre două niveluri de cuantizare succesive $q = f_{n+1} - f_n$, poartă numele de *pas de cuantizare*. Modul de realizare a procesului de cuantizare în amplitudine prin trunchiere (vezi § 4.2.2) este ilustrat grafic în figura 4.4, unde cu linii subțiri s-au reprezentat etaloanele ideale.

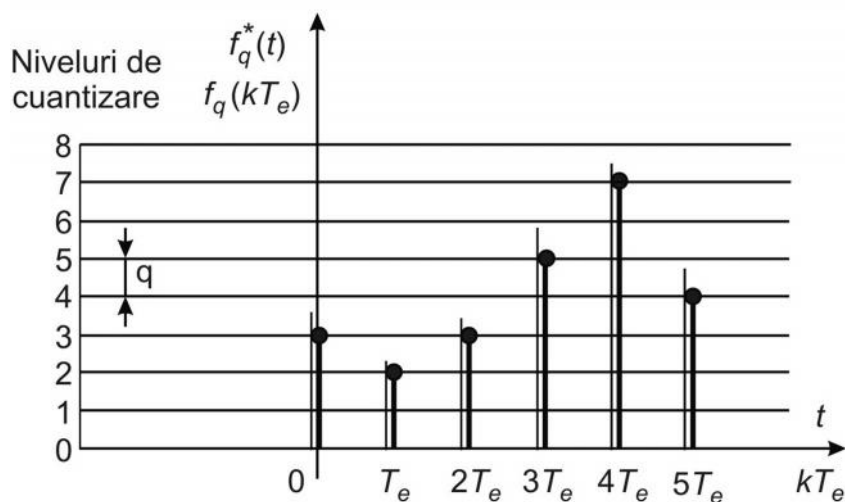


Fig. 4.4

În finalul procesului de conversie analog-numeric, secvența semnalului etalonat și cuantizat este *codificată*, așa cum se vede în figura 4.5.

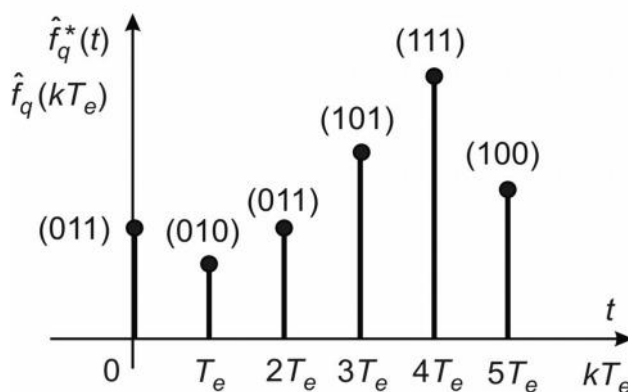


Fig. 4.5

Prin codificare, fiecărui nivel etalonat și cuantizat în amplitudine îi este atribuit o valoare reprezentată în cod, cel mai frecvent utilizat fiind codul binar natural. Procesul de codificare va fi detaliat în paragraful 4.2.5.

4.2.1 E antionarea ideal

Semnalele e antionate ideal prezint o importan deosebit pentru dezvoltarea metodelor de analiz a sistemelor discrete. Se poate remarca faptul c sistemele discrete care prelucreaz semnale e antionate ideal (deci la care se neglijeaz cuantizarea de amplitudine) sunt sisteme liniare.

Un aspect extrem de important al discretiz rii în timp a semnalelor, cu implica ii importante în ceea ce prive te sistemele discrete, este modificarea spectrului semnalului continuu. Consecin a cea mai important a procesului de e antionare este modificarea puternic a spectrului fa de cel al semnalului original.

Semnalele e antionate pot fi descrise cu ajutorul secven elor temporale notate:

$$\{f(kT_e)\}_{k \geq 0} = \{f(0), f(T_e), f(2T_e), \dots\}, \quad (4.1)$$

sau prin func ii definite în timp discret exprimate conform rela iilor:

$$f(kT_e) \text{ sau } f[k], \text{ cu } k \in \mathbf{Z}, \quad (4.2)$$

func ii care au argumentul timp cu valori reale în primul caz, respectiv cu valori întregi, în al doilea caz. Se remarc faptul c în cazul argumentului timp cu valori reale, se folosesc parantezele rotunde, iar pentru cazul argumentului timp cu valori întregi se folose te nota ia special cu paranteze drepte.

O descriere frecvent folosit pentru semnalele e antionate ideal, utilizeaz modalit ile de reprezentare i nota iile specifice semnalelor continue. În acest caz, semnalul e antionat ideal se noteaz cu $f^*(t)$. Procesul de e antionare ideal este modelat i prezentat în schemele bloc func ionale ca un întrerup tor sincron (cu perioada T_e), având durata de închidere infinit mic, denumit *e antionor ideal*. Simbolul elementului e antionor ideal (EI) este prezentat grafic în figura 4.6.

Semnalele e antionate ideal sunt modelate, a a cum s-a v zut mai sus, prin trenuri (secven e) de impulsuri Dirac. Matematic aceste semnale pot fi descrise folosind un tren de impulsuri Dirac unitare numit *func ia delta Dirac* exprimat conform rela iei:

$$\delta_{T_e}(t) = \sum_{k=-\infty}^{+\infty} \delta(t - kT_e). \quad (4.3)$$

Semnalul e antionat $f^*(t)$ se ob ine prin înmul irea semnalului analogic $f(t)$ cu func ia delta Dirac (vezi Fig. 4.7). Astfel, se ob ine rela ia de descriere a unui semnal e antionat ideal:

$$f^*(t) = f(t) \sum_{k=-\infty}^{+\infty} \delta(t - kT_e), \quad (4.4)$$

de unde, având în vedere proprietatea impulsului Dirac exprimat conform rela iei:

$$f(t)\delta(t - kT_e) = f(kT_e)\delta(t - kT_e), \quad (4.5)$$

rezult o alt expresie de descriere a semnalelor e antionate ideal:

$$f^*(t) = \sum_{k=-\infty}^{+\infty} f(kT_e)\delta(t - kT_e). \quad (4.6)$$

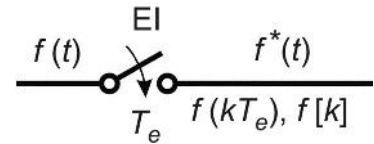


Fig. 4.6

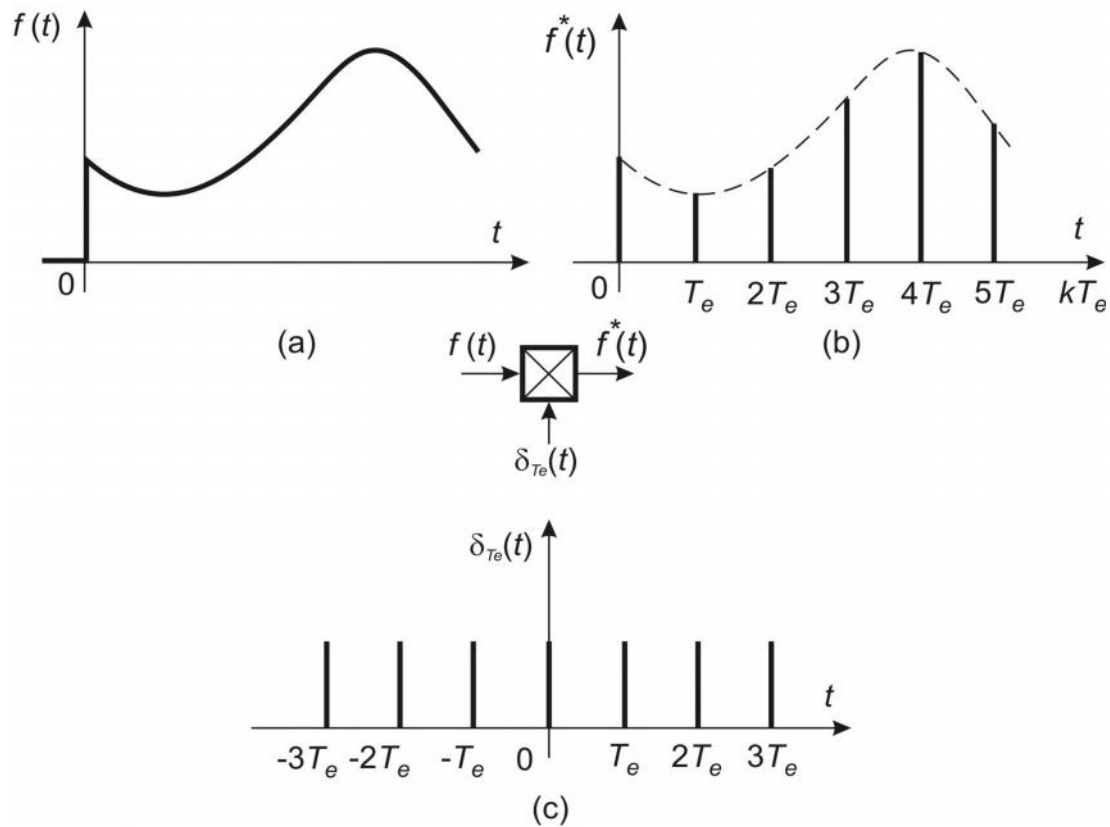


Fig. 4.7

Rela ia (4.6) este util pentru calculul transformatei Laplace a unui semnal e antionat ideal. Aplicând defini ia transformatei Laplace se ob ine:

$$F^*(s) = \mathcal{L} \{f^*(t)\} = \int_0^{\infty} \left[\sum_{k=-\infty}^{+\infty} f(kT_e) \delta(t - kT_e) \right] e^{-st} dt, \quad (4.7)$$

respectiv, dup intervertirea opera iilor de integrare i sumare:

$$F^*(s) = \sum_{k=-\infty}^{+\infty} f(kT_e) \int_0^{\infty} \delta(t - kT_e) e^{-st} dt. \quad (4.8)$$

Integrala se evalueaz cu proprietatea de filtrare a impulsului Dirac rezultând astfel:

$$F^*(s) = \sum_{k=0}^{+\infty} f(kT_e) e^{-skT_e}. \quad (4.9)$$

Exist i o alt form de descriere a semnalelor e antionate ideal, care se deduce având în vedere faptul c semnalul delta Dirac este periodic de perioad T_e . Un semnal periodic poate fi reprezentat prin seria Fourier complex exprimat conform rela iei:

$$\delta_{T_e}(t) = \sum_{n=-\infty}^{+\infty} \underline{C}_n e^{jn\omega_e t}, \quad (4.10)$$

unde $\omega_e = 2\pi/T_e$ este pulsa ia de e antionare.

Coeficien ii Fourier complex i, \underline{C}_n se determină cu formula:

$$\underline{C}_n = \frac{1}{T_e} \int_{-T_e/2}^{T_e/2} \delta_{T_e}(t) e^{-jn\omega_e t} dt = \frac{1}{T_e} \int_{-T_e/2}^{T_e/2} \sum_{k=-\infty}^{+\infty} \delta(t - kT_e) e^{-jn\omega_e t} dt. \quad (4.11)$$

Deoarece în suma de sub integrală, numai impulsul $\delta(t)$ (obținut pentru $k = 0$) aparține intervalului de integrare, rezultă:

$$\underline{C}_n = \frac{1}{T_e} \int_{-T_e/2}^{T_e/2} \delta(t) e^{-jn\omega_e t} dt, \quad (4.12)$$

de unde, având în vedere proprietatea de filtrare a impulsului Dirac, se obține:

$$\underline{C}_n = \frac{1}{T_e}. \quad (4.13)$$

Prin urmare, semnalul eantionat ideal poate fi descris și cu relația:

$$f^*(t) = \frac{1}{T_e} f(t) \sum_{k=-\infty}^{+\infty} e^{jk\omega_e t}, \quad (4.14)$$

sau:

$$f^*(t) = \frac{1}{T_e} \sum_{k=-\infty}^{+\infty} f(kT_e) e^{jk\omega_e t}. \quad (4.15)$$

În ultimele două relații s-a înlocuit, pentru a se uniformiza notațiile, indicele de sumare n cu k , modificarea fiind întru totul corectă.

Cu relația (4.14) se poate deduce o altă formă pentru transformata Laplace a unui semnal eantionat ideal. Aplicând definiția și teorema deplasării în complex (de înmulțire a unui semnal cu o exponențială) a transformatei Laplace se obține:

$$F^*(s) = \mathcal{L}\{f^*(t)\} = \int_0^{\infty} \left[\frac{1}{T_e} f(t) \sum_{k=-\infty}^{+\infty} e^{jk\omega_e t} \right] e^{-st} dt, \quad (4.16)$$

respectiv:

$$F^*(s) = \frac{1}{T_e} \sum_{k=-\infty}^{+\infty} \int_0^{\infty} [f(t) e^{jk\omega_e t}] e^{-st} dt, \quad (4.17)$$

sau, în final:

$$F^*(s) = \frac{1}{T_e} \sum_{k=-\infty}^{+\infty} F(s - jk\omega_e), \quad (4.18)$$

unde $F(s) = \mathcal{L}\{f(t)\}$.

4.2.1.1 Analiza spectrală a semnalelor eantionate ideal. Fenomenul de “aliasing”

Analiza spectrală a semnalelor se face în mod sistematic cu transformata Fourier. Spectrul complex de amplitudine al unui semnal continuu $f(t)$, se obține prin aplicarea

transformatei Fourier, conform rela iei:

$$F(j\omega) = \int_{-\infty}^{+\infty} f(t)e^{-j\omega t} dt. \quad (4.19)$$

Deoarece $F(j\omega) \in \mathbf{C}$, pentru analiza spectral se prefer utilizarea modulului func iei spectrale de amplitudine notat cu $|F(j\omega)|$. În figura 4.8 se prezint , ca exemplu, forma de varia ie a spectrului de amplitudine a semnalului continuu $f(t)$. Se consider c semnalul continuu $f(t)$ are spectrul cu band limitat .

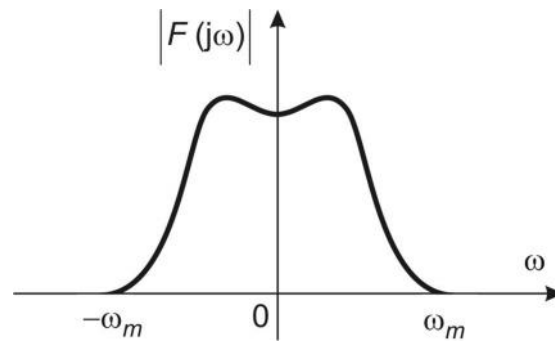


Fig. 4.8.

Se noteaz cu ω_m pulsa ia maxim con inut în spectrul $|F(j\omega)|$. Pentru a se determina func ia spectral de amplitudine a semnalului e antionat ideal la aplicarea rela iei de defini ie a transformatei Fourier, se utilizeaz rela ia (4.14). Astfel, se ob ine succesiv:

$$F^*(j\omega) = \int_{-\infty}^{+\infty} f^*(t)e^{-j\omega t} dt, \quad (4.20)$$

respectiv:

$$\begin{aligned} F^*(j\omega) &= \int_{-\infty}^{+\infty} \left[\frac{1}{T_e} f(t) \sum_{k=-\infty}^{+\infty} e^{jk\omega_e t} \right] e^{-j\omega t} dt = \frac{1}{T_e} \sum_{k=-\infty}^{+\infty} \int_{-\infty}^{+\infty} f(t) e^{-j(\omega - k\omega_e) t} dt = \\ &= \frac{1}{T_e} \sum_{k=-\infty}^{+\infty} F(\omega - k\omega_e). \end{aligned} \quad (4.21)$$

Din ultima rela ie rezult c spectrul unui semnal e antionat este format dintr-o infinitate de spectre similare cu cel al semnalului continuu, ponderate cu $1/T_e$ i centrate pe valori multiplu întreg al pulsa iei de e antionare. În figura 4.9 se prezint modulul spectrului de amplitudine al semnalului e antionat ideal $|T_e F^*(j\omega)|$, considerându-se dou situa ii diferite. Spectrul semnalului e antionat este înmul it cu T_e pentru a se elimina aciunea factorului de ponderare $1/T_e$. Curbele prezentate în figurile 4.9a i 4.9b ilustreaz , de asemenea, câteva consecin e extrem de importante ale procesului de e antionare.

În figura 4.9a se prezint spectrul semnalului e antionat în cazul $\omega_e/2 > \omega_m$, ceea ce înseamn c frecven a de e antionare $\omega_e = 2\pi/T_e$ dep e te de dou ori cea mai înalt pulsa ie con inut în spectrul semnalului continuu. În acest caz este evident c

spectrul semnalului original poate fi reconstituit prin filtrarea spectrului $F^*(j\omega)$ cu un filtru trece-jos (FTJ) care elimină componentele spectrale definite cu relația:

$$\sum_{k=-\infty}^{+\infty} F(\omega - k\omega_e), \text{ cu } k = \pm 1, \pm 2, \dots \quad (4.22)$$

În figura 4.9b se prezintă spectrul periodic al semnalului eantionat $F^*(j\omega)$ în cazul $\omega_e/2 < \omega_m$, ceea ce înseamnă că pulsația de eantionare este mai mică decât dublul celei mai mari pulsații conținute în spectrul semnalului continuu. Se vede că în acest caz există o suprapunere a lobilor adiacenți, fenomen (efect) numit „*aliasing*”. Având în vedere că semnalul original este reconstituit din semnalul eantionat cu un filtru trece-jos (FTJ) care, în mod ideal, are caracteristica prezentată în figura 4.9b (cu linie întreruptă), din figură se constată că spectrul reconstituit este distorsionat față de cel original în zona pulsațiilor cuprinse între $\omega_e - \omega_m$ și $\omega_e/2$. În acest interval al pulsațiilor, spectrul lobului principal se suprapune (amestec, aliaz) cu spectrul lobului centrat pe pulsația ω_e .

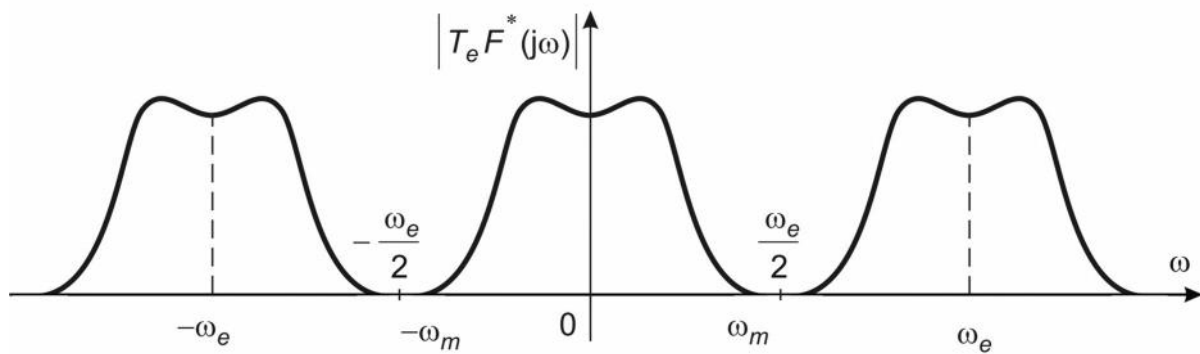


Fig. 4.9a

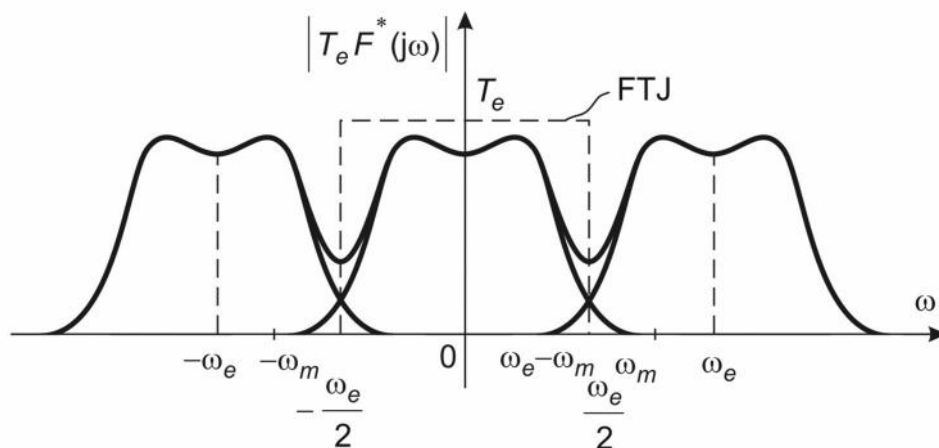


Fig. 4.9b

Erorile cauzate de fenomenul de aliasing pot să devină foarte importante dacă semnalul continuu conține zgomote cu amplitudine mare.

Soluția practică de eliminare sau minimizare a efectelor fenomenului de aliasing constă în filtrarea cu un filtru trece-jos a semnalului continuu, înainte ca acesta să fie aplicat

convertorului analog/numeric. Acest filtru denumit de „*anti-aliasing*” trebuie să înlăture complet componentele cu pulsație mai mare decât $\omega_e/2$. În figura 4.10 se prezintă spectrul semnalului eantionat care se obține dacă se aplică o filtrare anti-aliasing. Pulsația critică la care apare fenomenul de aliasing este numită în literatură *pulsația Nyquist* și este notată $\omega_N = \omega_e/2$.

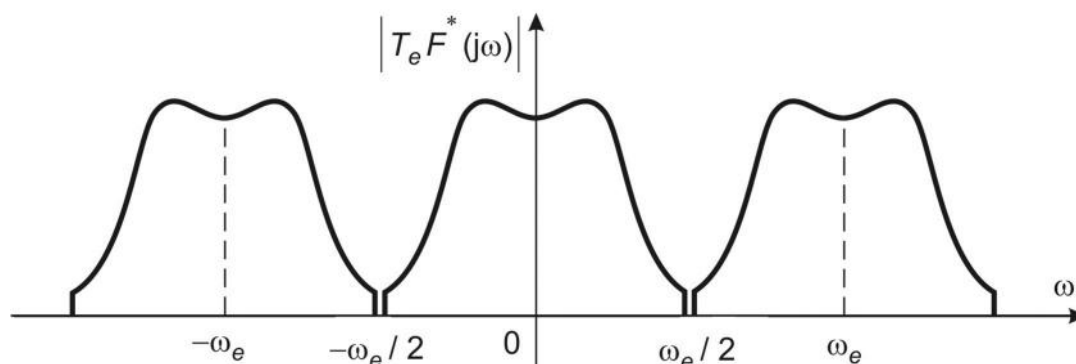


Fig. 4.10.

Un corolar al aspectelor legate de fenomenul de aliasing este *teorema eantionării* (Shannon). Conform acestei teoreme un semnal se poate reconstitui din eantioanele sale dacă pulsația de eantionare este cel puțin de două ori mai mare decât cea mai mare pulsație conținută în semnalul continuu, adică :

$$\omega_N = \frac{\omega_e}{2} \geq \omega_m \text{ sau } \frac{2\pi}{2T_e} \geq \frac{2\pi}{T_m} \text{ respectiv } T_e \leq \frac{T_m}{2}, \quad (4.23)$$

unde s-a notat cu T_m perioada corespunzătoare pulsației ω_m .

Se remarcă totuși faptul că acest limit inferior ($\omega_e/2 \equiv \omega_m$) are un caracter pur teoretic. În practică, pentru refacerea cât mai exactă a unui semnal din eantioanele sale este necesar ca $\omega_e/2 \geq 5\omega_m$.

4.2.2 Cuantizarea

După eantionare următorul pas în conversia analog-numeric este cuantizarea în amplitudine. Fiecare eantion $f(kT_e)$ este aproximat cu o valoare care este multiplu întreg al unei cantități de bază q numită *pas de cuantizare*. Cuantizarea în amplitudine se poate realiza în două moduri:

- prin rotunjire;
- prin trunchiere.

Operația este ilustrată în figura 4.11 în care se prezintă caracteristica statică („intrare-ieire”) a unui element de cuantizare în amplitudine cu rotunjire.

În acest caz fiecare valoare din intervalul $(k-1/2)q$ și $(k+1/2)q$, este aproximat prin valoarea kq . La cuantizarea prin trunchiere fiecare valoare a semnalului de intrare, cuprinsă în intervalul kq și $(k+1)q$, este aproximat prin valoarea kq . Caracteristica statică a acestui procedeu de cuantizare se obține deplasând în dreapta cu $q/2$ caracteristica prezentată în figura 4.11. Ambele metode de cuantizare introduc erori în reprezentarea semnalelor cuantizate.

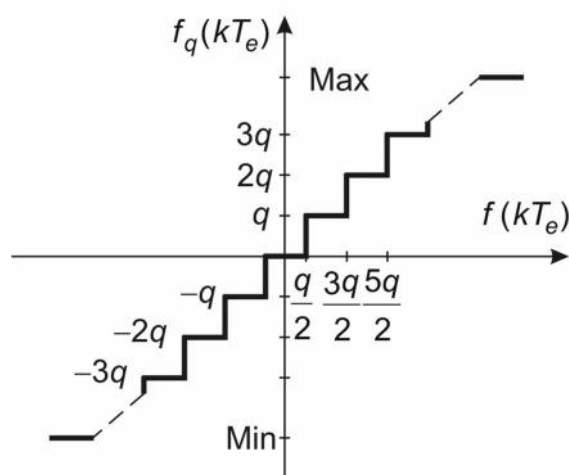


Fig. 4.11

Dacă se notează :

$$f(kT_e) = f_q(kT_e) + \varepsilon(kT_e), \quad (4.24)$$

se poate constata ușor că, la cuantizarea prin rotunjire, eroarea se modifică liniar de la $-q/2$ la $q/2$ în timp ce la cuantizarea prin trunchiere eroarea este variabilă liniar de la 0 la q .

Se remarcă faptul că ordinea în care se fac operațiile de eantionare și cuantizare nu este obligatorie să fie cea prezentată mai sus. Este posibil, fără a exista nici o schimbare în ceea ce privește fenomenul de aliasing prezentat mai înainte, ca să se facă mai întâi cuantizarea de amplitudine și apoi eantionarea.

4.2.3 Codificarea binară a semnalelor eantionate

Având semnalul eantionat în timp și cuantizat în amplitudine, se ajunge la o secvență de numere $\{f_q(kT)\}$ care sunt acum codificate în formă binară. Aceasta este etapa finală în procesul de conversie analog-digital după care secvența codificată poate fi aplicată unui procesor numeric (digital). Procesorul prelucrează secvența efectuând o serie de operații standard printre care stocarea într-o memorie, multiplicarea cu un număr, adunarea și deplasarea în timp. În fiecare operație care implică elementele componente ale secvenței și alte numere, fiecare număr este reprezentat printr-un număr binar. În continuare se discută cele mai utilizate reprezentări ale numerelor și se compară rezultatele obținute.

Reprezentarea simbolică a informației într-un sistem numeric/digital poate fi analizată prin prisma sistemelor de numerație și a codurilor utilizate.

Sistemul de numerație este format din totalitatea regulilor de reprezentare a numerelor cu ajutorul unor simboluri numite *cifre*. Sistemele de numerație sunt de două feluri: *poziționale* și *nepoziționale*. În sistemele de calcul se folosesc în special sistemele de numerație poziționale, datorită simplității de reprezentare și de efectuare a calculelor aritmetice.

Un sistem de numerație pozițional este caracterizat prin *bază*; aceasta reprezintă numărul total de simboluri (cifre) ale sistemului.

Într-un sistem de numerație de bază b , un număr N , format din parte întreagă și parte fracționară, se poate reprezenta într-una din următoarele forme:

$$N = \begin{cases} a_{n-1} a_{n-2} \cdots a_1 a_0 a_{-1} a_{-2} \cdots a_{-m} \\ a_{n-1} b^{n-1} + a_{n-2} b^{n-2} + \cdots + a_1 b^1 + a_0 b^0 + a_{-1} b^{-1} + a_{-2} b^{-2} + \cdots + a_{-m} b^{-m} = \sum_{t=-m}^{n-1} a_t b^t \end{cases} \quad (4.25)$$

unde, b este baza sistemului, a_i sunt cifrele, n numărul de cifre ale părții întregi, m numărul de cifre ale părții fracționare, a_{n-1} cifra cea mai semnificativă (CMS), a_{-m} cifra cea mai puțin semnificativă (CMPS).

Deoarece numărul de cifre utilizate în sistem este egal cu baza, rezultă că :

$$0 \leq a_i \leq b-1, \text{ unde } -m \leq i \leq n-1. \quad (4.26)$$

Dacă $n=0$, atunci numărul N este subunitar, iar dacă $m=0$, atunci N este întreg.

Relația (4.25) arată de ce astfel de sisteme sunt denumite poziționale: fiecare cifră a_i intră în valoarea numărului respectiv cu o pondere dată de puterea i a bazei b . Fiecare număr se obține din numărul anterior prin adăugarea unei unități la ultima cifră.

În sistemele numerice/digitale, semnalele pot avea, în mod normal, una din singurele două stări posibile: de jos sau de sus, cu sarcină sau fără sarcină, oprit sau pornit. Astfel de semnale sunt interpretate ca reprezentând cifre binare (sau bi-uri), ale căror valori posibile sunt 0 și 1. Aceasta este cauza pentru care s-a ales baza de numerație 2 (sau binar) pentru reprezentarea numerelor în sistemele numerice/digitale.

În cazul numerelor binare, virgula se numește virgulă binară. Bitul cel mai din stânga al unui număr binar este numit bitul cel mai semnificativ (MSB – most significant bit); bitul cel mai din dreapta este bitul cel mai puțin semnificativ (LSB – least significant bit).

În general, conversia între două baze de numerație nu se poate efectua doar printr-o simplă substituție; sunt necesare unele operații aritmetice, existând în acest sens algoritmi de conversie.

Un număr zecimal având atât parte întreagă cât și parte fracționară poate fi convertit într-un număr binar după următorul algoritm:

- (i) Partea întreagă a numărului zecimal se împarte succesiv la 2 (baza sistemului în care se face conversia), până când câtul devine 0. Resturile împărțirilor succesive reprezintă cifrele numărului scris în noua bază. Aceste cifre (bi-uri) sunt calculate în ordine crescătoare, bitul cu rangul cel mai puțin semnificativ fiind primul.
- (ii) Partea fracționară a numărului zecimal se înmulțește cu 2, separându-se apoi partea întreagă. Se continuă astfel prin înmulțirea părții fracționare obținute până când aceasta devine nulă sau se obține precizia dorită. Partea întreagă a produsului reprezintă un bit al numărului fracționar exprimat în binar. Acești bi-uri sunt calculați în ordine descrescătoare, cel mai semnificativ fiind primul.

Exemplu. Să se convertească numărul zecimal 179,7109375₍₁₀₎ în sistemul binar.

	Cât	Rest		Parte întreagă	Parte fracționară
179:2	89	1 (LSB*)			
89:2	44	1	0,7109375×2	1 (MSB*)	0,421875
44:2	22	0	0,421875×2	0	0,84375
22:2	11	0	0,84375×2	1	0,68750
11:2	5	1	0,6875×2	1	0,3750
5:2	2	1	0,375×2	0	0,75
2:2	1	0	0,75×2	1	0,5
1:2	0	1 (MSB*)	0,5×2	1 (LSB*)	0,0

(*) Nota iile LSB i MSB se refer în acest caz la situa ia în care s-ar lua în considerare separat, ca numere distincte, partea întreag i partea frac ionar , deci nu pentru num rul întreg.

Deci: $179,7109375_{(10)} = 10110011.1011011_{(2)}$.

În literatura de specialitate sunt prezenta i diver i algoritmi pentru conversia binar-zecimal , cel mai cunoscut i utilizat fiind cel care folose te modul de scriere sub form de puteri (v. rel. (4.25)).

Exemplu

S se converteasc în sistemul zecimal, num rul binar $1101.101_{(2)}$.

$$1101.101_{(2)} = 1 \cdot 2^3 + 1 \cdot 2^2 + 0 \cdot 2^1 + 1 \cdot 2^0 + 1 \cdot 2^{-1} + 0 \cdot 2^{-2} + 1 \cdot 2^{-3} = 13,625_{(10)}.$$

Reprezentarea numerelor în sistemul de numera ie binar prezint mai multe forme în func ie de solu ia aleas pentru a se indica pozi ia virgulei/punctului i semnul num rului. Pozi ia fix sau variabil a virgulei determin reprezentarea numit în *virgul fix* sau, respectiv în *virgul mobil*.

4.2.3.1 Reprezentarea numerelor în virgul fix

Blocurile aritmetice ale sistemelor de calcul care lucreaz în *virgul fix*, consider virgula plasat în fa a celei mai semnificative cifre a num rului. Pentru a se indica semnul num rului exist mai multe tehnici, fiecare dintre acestea determinând un mod de reprezentare: prin *m rime/modul i semn (cod direct)*, prin *complement fa de 2 (cod complementar)* i prin *complement fa de 1 (cod invers)*.

Înainte de a ne referi la fiecare dintre aceste reprezent ri utilizate, s definim no iunea de complement al unui num r N scris într-o baz b .

Defini ie.

i) Se nume te complement fa de baza b al num rului $N_{(b)}$, num rul $[N]_{\text{comp}}$ definit prin rela ia:

$$[N]_{\text{comp}} = b^n - N_{(b)}. \quad (4.27)$$

ii) Se nume te complement fa de $b-1$ al num rului $N_{(b)}$, num rul $[N]_{\text{inv}}$ definit de rela ia:

$$[N]_{\text{inv}} = b^n - N_{(b)} - b^{-m}, \quad (4.28)$$

unde, n reprezint num rul de cifre ale p r ii întregi a num rului N , iar m reprezint num rul de cifre ale p r ii frac ionare a num rului N .

Exemple

În sistemul de numera ie binar:

$$[N]_{\text{comp}} = 2^n - N_{(2)} \quad \text{i} \quad [N]_{\text{inv}} = 2^n - N_{(2)} - 2^{-m}. \quad (4.29)$$

Dac $N_{(2)} = 1011.11$, atunci:

$$[N]_{\text{comp}} = 2^4 - 1011.11 = 10000 - 1011.11 = 0100.01,$$

iar:

$$[N]_{\text{inv}} = 2^4 - 1011.11 - 2^{-2} = 10000 - 1011.11 - 0.01 = 0100.00.$$

Cele trei moduri de reprezentare ale numerelor, menționate anterior, sunt identice dacă numărul N este pozitiv, iar dacă numărul este negativ, în reprezentarea prin mărime și semn cifrele numărului sunt chiar cifrele numărului considerat, în timp ce în celelalte două moduri de reprezentare, cifrele numărului reprezintă complementul față de 2 respectiv față de 1.

Reprezentarea prin mărime și semn (cod direct)

Reprezentarea prin mărime și semn a unui număr algebric N este dată de relația:

$$[N]_{\text{dir}} = a_n 2^n + \sum_{i=-m}^{n-1} a_i 2^i, \quad (4.30)$$

unde, a_n reprezintă bitul de semn și are valoarea 0 dacă $N \geq 0$ și valoarea 1 dacă $N \leq 0$, iar a_i ($-m \leq i \leq n-1$) sunt biții numărului N .

Exemple

$$[+9]_{\text{dir}} = \overset{\text{bit de semn}}{\overbrace{0}} \underbrace{1001}_{\text{valoarea numărului}}, \quad [-9]_{\text{dir}} = \overset{\text{bit de semn}}{\overbrace{1}} \underbrace{1001}_{\text{valoarea numărului}}, \quad [-0.6875]_{\text{dir}} = \overset{\text{bit de semn}}{\overbrace{1}} \underbrace{1011}_{\text{valoarea numărului}}$$

Acest sistem de reprezentare are avantajul de a fi foarte asemănător cu scrierea "normală" (semnul se indică printr-un bit special), dar din punctul de vedere al realizării calculului prezintă unele dezavantaje. Realizarea unei operații de adunare sau scădere a două numere nu depinde numai de funcția de executat ci și de semnul numerelor respective; în aceste condiții este necesară examinarea, înainte de executarea operației respective a bitului de semn. Pe de altă parte, blocul aritmetic al unui sistem numeric se poate simplifica mult dacă în loc să conțină dispozitive de adunare și scădere, conține numai dispozitive de adunare. Acest lucru poate fi realizat prin alegerea convenabilă a sistemului de reprezentare a numerelor și anume prin reprezentarea în *cod complementar*.

Reprezentarea prin complementul față de 2 (cod complementar)

Un număr algebric N se reprezintă prin complementul față de 2, în forma indicată de relația:

$$[N]_{\text{comp}} = \begin{cases} 0 \times 2^n + \sum_{i=-m}^{n-1} a_i 2^i, & \text{pentru } N \geq 0, \\ 1 \times 2^n + \sum_{i=-m}^{n-1} \bar{a}_i 2^i + 2^{-m}, & \text{pentru } N \leq 0, \end{cases} \quad (4.31)$$

unde, $\bar{a}_i = 1 - a_i$, reprezintă complementul față de 1 al cifrei a_i ($-m \leq i \leq n-1$).

Exemple.

$$[+9]_{\text{comp}} = 01001; [-9]_{\text{comp}} = ?$$

Deoarece $-9 = -1001_{(2)}$,

– se trece numărul în cod complementar:

$$1001 \rightarrow 0111,$$

- reprezentarea numărului -9 în cod complementar va fi:

$$[-9]_{\text{comp}} = 10111.$$

Se poate demonstra că reprezentarea numărului prin complement față de 2 corespunde chiar valorii reale a numărului.

Reprezentarea prin complementul față de 1 (cod invers)

Un număr algebric N se reprezintă prin complementul față de 1, în forma indicată de relația:

$$[N]_{\text{inv}} = \begin{cases} 0 \times 2^n + \sum_{i=-m}^{n-1} a_i 2^i, & \text{pentru } N \geq 0, \\ 1 \times 2^n + \sum_{i=-m}^{n-1} \bar{a}_i 2^i, & \text{pentru } N < 0, \end{cases} \quad (4.32)$$

unde, $\bar{a}_i = 1 - a_i$, reprezintă complementul față de 1 al cifrei a_i ($-m \leq i \leq n-1$).

Exemple.

$$[+9]_{\text{inv}} = 01001; [-9]_{\text{inv}} = ?$$

Deoarece $-9 = -1001_{(2)}$,

- se trece numărul în cod invers:

$$1001 \rightarrow 0110,$$

- reprezentarea numărului -9 în cod invers va fi:

$$[-9]_{\text{inv}} = 10110.$$

Urmărind exemplele prezentate mai sus, se poate observa că, așa cum s-a mai menționat, cele trei forme de reprezentare coincid în cazul numerelor pozitive și diferă în cazul numerelor negative.

4.2.3.2 Reprezentarea numerelor în virgulă mobilă

Necesitatea reprezentării în sistemele numerice de calcul a numerelor foarte mari sau foarte mici, cu un grad de precizie ridicat a condus la modul de reprezentare în virgulă mobilă. Acest mod de reprezentare este binecunoscut în sistemul zecimal. Un număr N reprezentat în virgulă mobilă (flotant) are două componente. Prima E , denumită *expo-nent*, indică poziția ordinului de mărime al numărului, iar a doua, denumită *mantisă* M , asupra mărime exacte a numărului într-un anumit domeniu:

$$N = M \times b^E, \quad (4.33)$$

în care b este baza sistemului de numerație (în cazul studiat 2).

Reprezentarea numerelor algebrice în virgulă mobilă este ilustrată în figura 4.12. Se observă că numărul este reprezentat pe 32 de poziții binare din care: una (SE) este utilizată pentru semnul exponentului, una (SM) pentru semnul mantisei, biții 1÷6 pentru exponent și biții 8÷31 pentru mantisă.

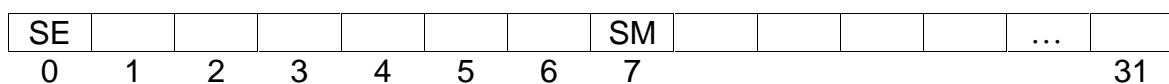


Fig. 4.12

În fig. 4.13 s-au reprezentat numerele $-2^7 \times 0.1011$, $+2^{-4} \times 0.11011$, $-2^{-15} \times 0.111$, $+2^{29} \times 0.10111$. Pentru a se indica semnul exponentului și al mantisei s-a utilizat convenția: 0 pentru semnul „+” și 1 pentru semnul „-”.

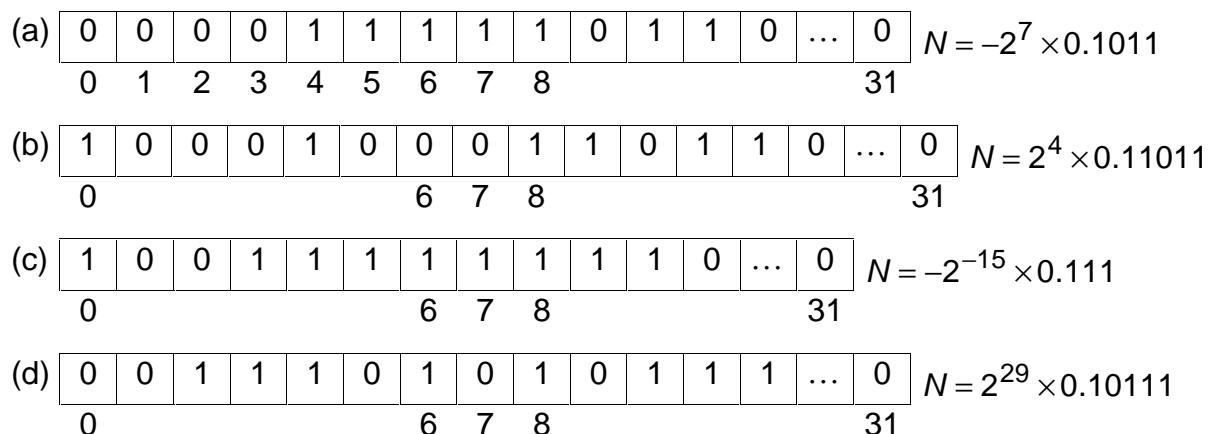


Fig. 4.13

4.3 RECONSTITUIREA SEMNALELOR CONTINUE DIN CELE E ANTIONATE

Refacerea semnalelor originale (continue) din cele e antionate se realizează cu dispozitivul convertor numeric/analogic, care furnizează la ieșire un semnal continuu (de obicei o tensiune) egal sau proporțional (cel puțin în unele momente) cu semnalul numeric exprimat în cod. Funcția principală pe care trebuie să o realizeze convertorul numeric/analogic este aceea de filtrare a lobilor laterali de frecvență înaltă. Eliminarea acestora din semnalul e antionat $f^*(t)$ se poate face, așa cum s-a arătat în secțiunea anterioară, cu un filtru trece-jos ideal cu caracteristica modul-pulsă prezentată în figura 4.14.

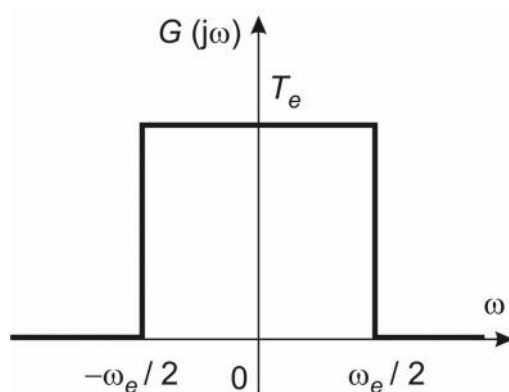


Fig. 4.14

Se menționează totuși că realizarea practică a unui astfel de filtru este imposibilă deoarece elementul este necauzal. Această caracteristică se poate demonstra dacă se calculează răspunsul pondere al filtrului. Aplicându-se transformata Fourier inversă pentru funcția de frecvență din figura 4.14 se obține succesiv:

$$\begin{aligned}
 g(t) &= \mathfrak{Z}^{-1}\{F(j\omega)\} = \frac{1}{2\pi} \int_{-\omega_e/2}^{+\omega_e/2} T_e e^{j\omega t} d\omega = \frac{T_e}{2\pi} \frac{e^{j\omega t}}{jt} \Big|_{-\omega_e/2}^{+\omega_e/2} = \frac{T_e}{\pi t} \frac{e^{j\frac{\omega_e t}{2}} - e^{-j\frac{\omega_e t}{2}}}{2j} = \\
 &= \frac{T_e}{\pi t} \sin \frac{\omega_e t}{2} = \frac{\sin \frac{\omega_e t}{2}}{\frac{\omega_e t}{2}}, \text{ cu } t \in \mathbf{R},
 \end{aligned} \tag{4.34}$$

de unde rezultă că ieirea unui astfel de element este diferită de zero înainte de a se aplica semnalul de intrare, adică impulsul unitar. Un astfel de element se spune că este necauzal și nu este realizabil fizic.

Convertorul numeric/analogic fizic trebuie să genereze (producă) semnalul continuu din intervalul $kT_e, (k+1)T_e$, bazându-se pe valorile eantioanelor din momentele $kT_e, (k-1)T_e, (k-2)T_e, \dots$, adică cunoscând valorile $f(kT_e), f((k-1)T_e), f((k-2)T_e), \dots$.

Pentru calculul matematic aproximativ al semnalului continuu în intervalul $kT_e, (k+1)T_e$, pe baza eantioanelor precedente, se utilizează de obicei dezvoltarea în serie Taylor a lui $f(t)$ în acest interval:

$$f_k(t) = f(kT_e) + f^{(1)}(kT_e)(t - kT_e) + \dots, \text{ pentru } kT_e \leq t < (k+1)T_e. \tag{4.35}$$

În relația (4.35) $f^{(1)}(kT_e)$ este notația pentru derivata de ordinul unu. Calculul numeric al derivatei se face folosind diferența de ordinul unu:

$$f^{(1)}(kT_e) = \frac{f(kT_e) - f((k-1)T_e)}{T_e}. \tag{4.36}$$

Cea mai simplă realizare practică a unui convertor numeric/analogic se obține dacă semnalul continuu în intervalul de la kT_e la $(k+1)T_e$ este aproximat, prin extrapolare, cu valoarea funcției $f(kT_e)$. Dispozitivul astfel realizat se numește *element de reînere (extrapolator) de ordinul zero*.

O realizare mai complexă rezultă dacă semnalul $f_k(t)$ este aproximat în intervalul $kT_e, (k+1)T_e$ cu relația (4.35) în care se folosește și prima derivată. Dispozitivul se numește în acest caz *element de reînere (extrapolator) de ordinul unu*.

4.3.1 Elementul de reînere (extrapolatorul) de ordinul zero (E0)

Semnalul de ieire continuu al convertorului numeric/analogic este generat conform relației:

$$f_k(t) = f(kT_e), \text{ pentru } kT_e \leq t < (k+1)T_e. \tag{4.37}$$

Răspunsul la impuls (pondere) al elementului de reînere de ordinul zero, ilustrat grafic în figura 4.15b, este:

$$g_{E0}(t) = \begin{cases} 1, & \text{pentru } 0 \leq t < T_e, \\ 0 & \text{altfel} \end{cases}. \tag{4.38}$$

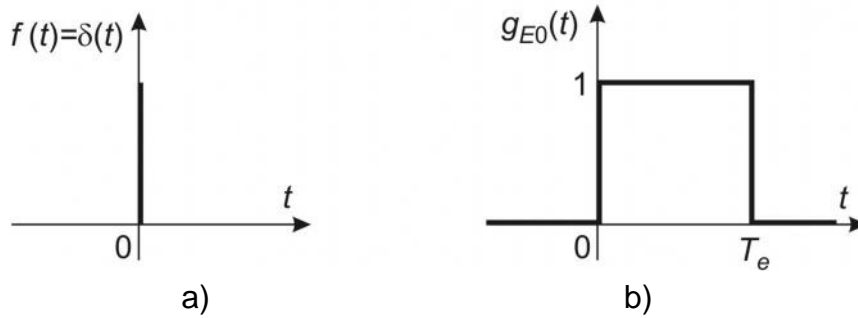


Fig. 4.15

Pentru a se deduce funcția de transfer a elementului de reținere de ordin zero, se are în vedere c :

$$g_{E0}(t) = 1_+(t) - 1_+(t - T_e), \quad (4.39)$$

de unde, după aplicarea transformatei Laplace, rezult :

$$G_{E0}(s) = \frac{1 - e^{-sT_e}}{s}. \quad (4.40)$$

Înlocuind $s = j\omega$ se obține funcția de frecvență :

$$\begin{aligned} G_{E0}(j\omega) &= \frac{1 - e^{-j\omega T_e}}{j\omega} = \frac{e^{-j\omega T_e/2} (e^{j\omega T_e/2} - e^{-j\omega T_e/2})}{j\omega} = \\ &= \frac{2e^{-j\omega T_e/2} \sin \frac{\omega T_e}{2}}{\omega} = T_e \frac{\sin(\omega T_e/2)}{(\omega T_e/2)} e^{-j\omega T_e/2}. \end{aligned} \quad (4.41)$$

respectiv, cu notația $T_e = 2\pi/\omega_e$, rezult :

$$G_{E0}(j\omega) = \frac{2\pi \sin(\pi\omega/\omega_e)}{\omega_e (\pi\omega/\omega_e)} e^{-j(n\omega/\omega_e)}. \quad (4.42)$$

Din relația (4.42) se pot determina caracteristicile de frecvență :
– modul-pulsă ie:

$$|G_{E0}(j\omega)| = \frac{2\pi}{\omega_e} \left| \frac{\sin(\pi\omega/\omega_e)}{(\pi\omega/\omega_e)} \right|, \quad (4.43)$$

– fază -pulsă ie:

$$\varphi_{E0}(\omega) = \arg G_{E0}(j\omega) = -\frac{\pi\omega}{\omega_e}. \quad (4.44)$$

În figura 4.16 se prezintă grafic cele două caracteristici de frecvență pentru elementul de reținere de ordinul zero. Figura conține, de asemenea, caracteristicile de frecvență pentru elementul de reținere de ordinul unu, care va fi prezentat în continuare. Din graficul modul-pulsă ie se vede că elementul de reținere de ordinul zero se comportă ca un filtru trece-jos.

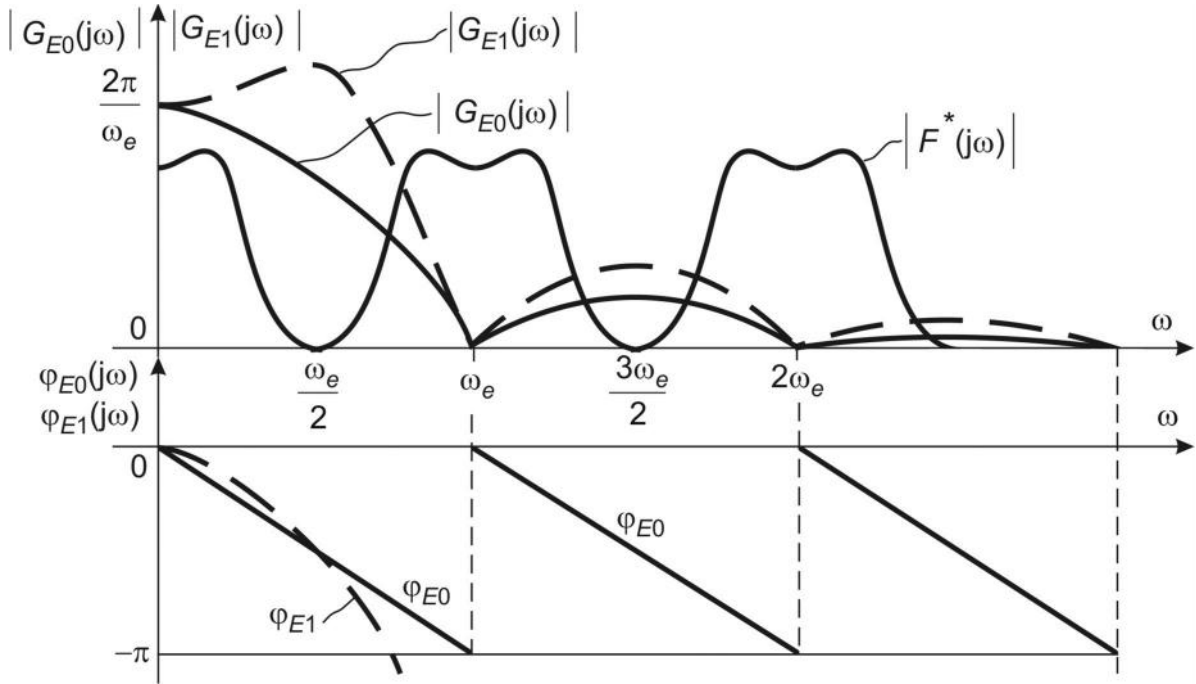


Fig. 4.16

Comparativ cu caracteristica filtrului ideal prezentat în figura 4.14 se observă că pulsația de tăiere a elementului de reținere de ordinul zero este dublă față de cea a filtrului ideal. La pulsația $\omega_e/2$, care este pulsația de tăiere a filtrului cu caracteristica ideală, valoarea modulului este:

$$\left| G_{E0}\left(\frac{\omega_e}{2}\right) \right| = \frac{4}{\omega_e}. \quad (4.45)$$

4.3.2 Elementul de reținere (extrapolatorul) de ordinul unu (E1)

Acest element folosește pentru generarea semnalului continuu relația:

$$f_k(t) = f(kT_e) + \frac{f(kT_e) - f((k-1)T_e)}{T_e}(t - T_e). \quad (4.46)$$

Răspunsul pondere (la impuls) care se obține în acest caz este definit pe durata a două perioade de eșantionare, conform relației (v. și fig. 4.17b):

$$g_{E1}(t) = \begin{cases} 1 + t/T_e & \text{pentru } 0 \leq t < T_e \\ 1 - t/T_e & \text{pentru } T_e \leq t < 2T_e \\ 0 & \text{altfel} \end{cases} \quad (4.47)$$

Funcția de transfer a extrapolatorului de ordinul unu, dedus pe baza răspunsului pondere prezentat în figura 4.17b, este:

$$G_{E1}(s) = \mathcal{L}\{g_{E1}\} = \left(\frac{1 - e^{-sT_e}}{s} \right)^2 \frac{sT_e + 1}{T_e}. \quad (4.48)$$

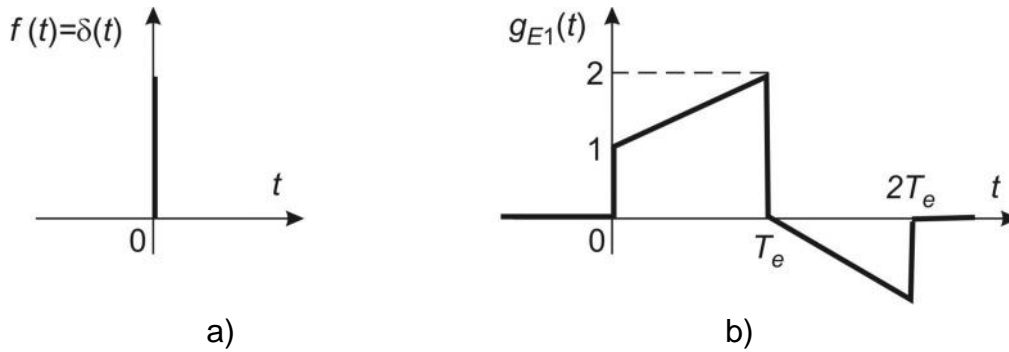


Fig. 4.17

Caracteristicile modul-pulsă și faza-pulsă ale elementului de reținer de ordinul unu sunt prezentate, comparativ cu cele ale elementului de reținer de ordinul zero, în figura 4.16. Se remarcă faptul că la frecvențe joase (mai mici de $\omega_e/4$) elementul de ordinul unu are o întârziere de fază mai mică decât a elementului de ordinul zero.

Elementul de reținer de ordinul unu are dezavantajul că pentru $\omega > \omega_e/2$, unde $\omega_e/2$ este pulsația de tăiere a filtrului ideal, amplificarea (modulul) este mult mai mare decât la extrapolatorul de ordinul zero. Un dezavantaj major al elementului de reținer de ordinul unu, care impune utilizarea elementului de reținer de ordinul zero, este complexitatea mai mare la implementarea hardware a acestuia.

4.4 TRANSFORMATĂ Z

Transformata Z reprezintă o metodă de analiză a semnalelor eantionate și a sistemelor liniare discrete. Metoda transformatei Z oferă un mecanism simplu, bazat pe funcții raționale de variabil complex, pentru descrierea semnalelor eantionate.

4.4.1 Definiția transformatei Z

Se consideră un semnal eantionat descris în domeniul timpului cu relația (4.6):

$$f^*(t) = f(t)|_{t=0} \delta(t) + \dots + f(t)|_{t=kT_e} \delta(t - kT_e) + \dots = \sum_{k=0}^{+\infty} f(kT_e) \delta(t - kT_e),$$

care are, cum s-a văzut mai înainte (v. rel. (4.9)), transformata Laplace:

$$F^*(s) = \sum_{k=0}^{+\infty} f(kT_e) e^{-s k T_e},$$

unde $f(kT_e)$ reprezintă valorile semnalului continuu în momentele de eantionare.

Prin definiție, transformata Z a semnalului eantionat $f^*(t)$ este:

$$F(z) = F^*(s) \Big|_{s=(1/T_e) \ln z} = f(0) + f(T_e)z^{-1} + \dots + f(kT_e)z^{-k} + \dots = \sum_{k=0}^{+\infty} f(kT_e) z^{-k}. \quad (4.49)$$

Se remarcă faptul că la definirea transformatei Z se poate scrie suma de la $k = -\infty$ la $k = +\infty$, adică :

$$F(z) = \sum_{k=-\infty}^{+\infty} f(kT_e) z^{-k}, \quad (4.50)$$

fapt posibil, având în vedere că semnalele cauzale folosite în automatic sunt nule pentru $k < 0$.

Transformata Z a unui semnal continuu $f(t)$ care este eantionat se notează prin:

$$F(z) = \mathcal{Z}\{f(t)\}, \quad (4.51)$$

unde \mathcal{Z} este simbolul pentru transformata Z.

O altă variantă de definire a transformatei Z are la bază descrierea specifică unui semnal discret (v. rel. (4.2)). În acest caz transformata Z se definește cu relația:

$$F(z) = \sum_{k=-\infty}^{+\infty} f[k] z^{-k}. \quad (4.52)$$

Se subliniază faptul că la această versiune de calcul a transformatei Z, parametrul T_e nu apare explicit în relațiile care rezultă astfel (se consideră $T_e = 1$).

O proprietate calitativă a transformatei Z este faptul că aceasta nu este univoc definită. Proprietatea constituie un dezavantaj important al transformatei Z. Acest aspect este ilustrat în figura 4.18. De aici se vede că versiunile eantionate ale semnalelor din figurile 4.18,a și 4.18,b sunt similare cu toate că semnalele continue sunt diferite.

Matematic avem:

$$f_1(t) \neq f_2(t), \quad (4.53)$$

dar:

$$f_1^*(t) = f_2^*(t), \quad (4.54)$$

deci:

$$F_1(z) = F_2(z). \quad (4.55)$$

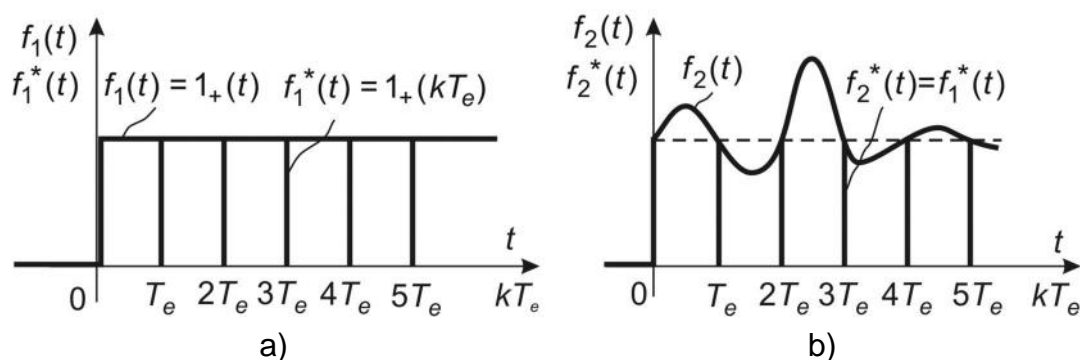


Fig. 4.18

4.4.2 Calculul transformatei Z bazat pe definiție

Transformata Z a unor semnale simple poate fi calculată folosindu-se definiția. Se va prezenta, în continuare, modul de calcul pentru câteva din semnalele speciale din automatic.

Exemplul 1

Să se determine transformata Z pentru impulsul Dirac definit cu relația:

$$\delta(t) = \begin{cases} \infty, & \text{pentru } t = 0 \\ 0, & \text{altfel} \end{cases}$$

Se poate vedea ușor că versiunea e antionată și semnalul original sunt identice, deci:

$$\delta^*(t) = \delta(t); \quad (4.56)$$

prin urmare transformata Laplace e antionată va fi:

$$\Delta^*(s) = \mathbf{L}\{\delta^*(t)\} = 1, \quad (4.57)$$

de unde rezultă

$$\mathcal{Z}\{\delta(t)\} = 1. \quad (4.58)$$

Exemplul 2

Un semnal specific sistemelor discrete, care poate fi realizat practic relativ ușor, într-o formă aproximativă, este impulsul unitar notat și definit ca în relațiile:

$$\delta_1(t) = \begin{cases} 1, & \text{pentru } t = 0 \\ 0, & \text{altfel} \end{cases} \quad \text{respectiv,} \quad \delta_1[k] = \begin{cases} 1, & \text{pentru } k = 0, \\ 0, & \text{altfel} \end{cases}. \quad (4.59)$$

Versiunea întârziată a acestui semnal este:

$$\delta_1(t - \tau) = \begin{cases} 1, & \text{pentru } t = \tau \\ 0, & \text{altfel} \end{cases} \quad \text{respectiv,} \quad \delta_1[k - \lambda] = \begin{cases} 1, & \text{pentru } k = \lambda, \\ 0, & \text{altfel} \end{cases}, \quad (4.60)$$

unde $k, \lambda \in \mathbf{Z}$ sau \mathbf{N} .

Transformata Z a impulsului unitar se poate calcula direct prin aplicarea relației de definiție:

$$\mathcal{Z}\{\delta_1[k]\} = \sum_{k=-\infty}^{+\infty} \delta_1[k] z^{-k} = z^0 = 1. \quad (4.61)$$

Exemplul 3

Se calculează transformata Z pentru secvența treaptă unitară definită conform relației:

$$1_+^*(t) = 1_+(kT_e) = \begin{cases} 1, & \text{pentru } k \geq 0 \\ 0, & \text{pentru } k < 0 \end{cases}. \quad (4.62)$$

Când funcția treaptă unitară este e antionată ideal se obține un tren de impulsuri unitare ca în figura 4.18,a. Aplicându-se relația de definiție a transformatei Z în acest caz se obține:

$$F(z) = \mathcal{Z}\{1_+^*(t)\} = \sum_{k=0}^{+\infty} z^{-k} = 1 + z^{-1} + z^{-2} + z^{-3} + \dots, \quad (4.63)$$

expresie care poate fi scrisă în forma restrânsă :

$$F(z) = \frac{1}{1 - z^{-1}} = \frac{z}{z - 1}, \quad |z| < 1. \quad (4.64)$$

Observa ie. Forma restrâns se ob ine considerându-se suma o serie de puteri ale lui z^{-1} i aplicându-se apoi rela ia:

$$F(z) = \lim_{k \rightarrow \infty} \frac{1 - (z^{-1})^k}{1 - z^{-1}} = \frac{1}{1 - z^{-1}}. \quad (4.65)$$

Rezultatul este valabil dac $|z| < 1$.

Exemplul 4

S se calculeze transformata Z pentru func ia exponen ial $f(t) = e^{-at}$, $t \geq 0$. Se consider c pentru $t < 0$, $f(t) = 0$.

Aplicându-se rela ia de defini ie se ob ine:

$$F(z) = \mathcal{Z}\{e^{-at}\} = \sum_{k=0}^{+\infty} e^{-akT_e} z^{-k} = 1 + (ze^{aT_e})^{-1} + (ze^{aT_e})^{-2} + \dots \quad (4.66)$$

Notând cu $x = (ze^{aT_e})^{-1}$, dac $|x| < 1$, adic dac $|ze^{aT_e}| < 1$, respectiv $|z| < e^{-aT_e}$ i folosind ra ionamentul de la treapta unitar , rezult :

$$F(z) = \mathcal{Z}\{e^{-at}\} = \frac{1}{1 - (ze^{aT_e})^{-1}} = \frac{z}{z - e^{-aT_e}}. \quad (4.67)$$

Exemplul 5

S se calculeze transformata Z pentru semnalul $f(t) = r^t$, unde $r > 0$ i $|r| < 1$.

O solu ie rapid se poate ob ine dac se observ c func ia putere $f(t) = r^t$ constituie de fapt un caz particular al func iei exponen iale, deoarece se poate scrie succesiv:

$$f(t) = e^{-at} = (e^{-a})^t = r^t. \quad (4.68)$$

A adar solu ia problemei este:

$$\mathcal{Z}\{r^t\} = \frac{z}{z - r^{T_e}} = \frac{z}{z - p}, \quad \text{unde } p = r^{T_e}. \quad (4.69)$$

Rezumând rezultatele ob inute în exemplele anterioare vom avea urm toarele perechi de transformate Laplace (TL) i Z (TZ):

	TL	TZ
1. Impuls Dirac, $\delta(t)$	1	1
2. Impuls unitar, $\delta_1(t)$	1	1
3. Treapt unitar , $1_+(t)$	$\frac{1}{s}$	$\frac{z}{z-1}$
4. Func ie exponen ial , e^{-at}	$\frac{1}{s+a}$	$\frac{z}{z-e^{-aT_e}}$

Aceste rezultate sunt utile pentru introducerea unei metode simple, cu caracter general, pentru calculul transformatelor Z .

4.4.3 Calculul transformatei Z pe baza transformatei Laplace

Se consider semnalul descris de transformata Laplace:

$$F(s) = \frac{B(s)}{A(s)} = \frac{B(s)}{\prod_{i=1}^n (s + p_i)}, \quad (4.70)$$

care are r d cini simple, reale sau complexe, pentru polinomul de la numitor. Având în vedere descompunerea în frac ii simple:

$$F(s) = \sum_{i=1}^n \frac{c_i}{s + p_i}, \quad (4.71)$$

unde:

$$c_i = (s + p_i) \frac{B(s)}{A(s)} \Big|_{s=-p_i}, \quad (4.72)$$

i perechile de transformate Laplace i Z prezentate mai înainte, rezult transformata Z:

$$F(z) = \sum_{i=1}^n c_i \frac{z}{z - e^{-p_i T_e}}. \quad (4.73)$$

Exemplul 6

S se determine transformatele Z pentru semnalele $f_1(t) = \sin \omega t$ i $f_2(t) = \cos \omega t$, $t \geq 0$. Se va calcula mai întâi transformata Z pentru $f_1(t) = \sin \omega t$ care are transformata Laplace:

$$F_1(s) = \frac{\omega}{s^2 + \omega^2}, \quad (4.74)$$

cu r d cinile simple $p_{1,2} = \pm j\omega$. Descompunerea în frac ii simple este:

$$F_1(s) = \frac{c_1}{s + j\omega} + \frac{c_2}{s - j\omega}, \quad (4.75)$$

unde:

$$c_1 = (s + j\omega) \frac{\omega}{(s + j\omega)(s - j\omega)} \Big|_{s=-j\omega} = \frac{\omega}{-2j\omega} = -\frac{1}{2j}, \quad (4.76)$$

$$c_2 = (s - j\omega) \frac{\omega}{(s + j\omega)(s - j\omega)} \Big|_{s=+j\omega} = \frac{\omega}{2j\omega} = \frac{1}{2j}.$$

Se ob ine astfel:

$$F_1(s) = \frac{1}{2j} \left[\frac{1}{s - j\omega} - \frac{1}{s + j\omega} \right], \quad (4.77)$$

În final rezult :

$$\begin{aligned}\mathcal{Z}\{\sin \omega t\} = F_1(z) &= \frac{1}{2j} \left[\frac{z}{z - e^{j\omega T_e}} - \frac{z}{z - e^{-j\omega T_e}} \right] = \frac{z}{2j} \frac{z - e^{-j\omega T_e} - z + e^{j\omega T_e}}{(z - e^{j\omega T_e})(z - e^{-j\omega T_e})} = \\ &= \frac{e^{j\omega T_e} - e^{-j\omega T_e}}{2j} \frac{z}{z^2 - z(e^{j\omega T_e} + e^{-j\omega T_e}) + 1} = \frac{z \sin \omega T_e}{z^2 - 2z \cos \omega T_e + 1}.\end{aligned}\quad (4.78)$$

Transformata Laplace a funcției $f_2(t) = \cos \omega t$ este:

$$F_2(s) = \frac{s}{s^2 + \omega^2}, \quad (4.79)$$

cu descompunerea în fracții simple se obține:

$$F_2(s) = \frac{c_1}{s + j\omega} + \frac{c_2}{s - j\omega}, \quad (4.80)$$

unde:

$$c_1 = \left. \frac{s}{s - j\omega} \right|_{s=-j\omega} = \frac{-j\omega}{-2j\omega} = \frac{1}{2}, \quad c_2 = \left. \frac{s}{s + j\omega} \right|_{s=+j\omega} = \frac{j\omega}{2j\omega} = \frac{1}{2}. \quad (4.81)$$

Înlocuind c_1 și c_2 în expresia (4.80) se obține în continuare:

$$F_2(s) = \frac{1}{2} \left[\frac{1}{s + j\omega} + \frac{1}{s - j\omega} \right], \quad (4.82)$$

de unde, rezultă :

$$\begin{aligned}\mathcal{Z}\{\cos \omega t\} = F_2(z) &= \frac{1}{2} \left[\frac{z}{z - e^{j\omega T_e}} + \frac{z}{z - e^{-j\omega T_e}} \right] = \frac{z}{2} \frac{z - e^{-j\omega T_e} + z - e^{j\omega T_e}}{z^2 - 2z \cos \omega T_e + 1} = \\ &= \frac{z[z - (e^{j\omega T_e} + e^{-j\omega T_e})/2]}{z^2 - 2z \cos \omega T_e + 1} = \frac{z(z - \cos \omega T_e)}{z^2 - 2z \cos \omega T_e + 1}.\end{aligned}\quad (4.83)$$

4.4.4 Proprietăți și teoremele transformatei Z

Calculul transformatelor Z se poate simplifica în mod considerabil prin utilizarea unor proprietăți cu caracter general și al unor teoreme. Lista proprietăților și teoremelor transformatei Z este prezentat sintetic în tabelul 4.1.

Tabelul 4.1

Nr. crt.	Denumire proprietate sau teoremă	Notații generale: $\mathcal{Z}\{f(t)\} = \mathcal{Z}\{f[k]\} = F(z),$ $\mathcal{Z}\{f_1(t)\} = \mathcal{Z}\{f_1[k]\} = F_1(z),$ $\mathcal{Z}\{f_2(t)\} = \mathcal{Z}\{f_2[k]\} = F_2(z), \quad t \geq 0$
1.	Liniaritate	$\mathcal{Z}\{Af(t)\} = \mathcal{Z}\{Af[k]\} = AF(z)$
2.	Superpoziție	$\mathcal{Z}\{f_1(t) \pm f_2(t)\} = F_1(z) \pm F_2(z),$

		$\mathcal{Z}\{f_1[k] \pm f_2[k]\} = F_1(z) \pm F_2(z)$
3.	Deplasare (întârziere) în timp	$\mathcal{Z}\{f(t - \lambda T_e)\} = z^{-\lambda} F(z),$ $\mathcal{Z}\{f[k - \lambda]\} = z^{-\lambda} F(z),$ $\mathcal{Z}\{f(t + \lambda T_e)\} = z^{\lambda} \left[F(z) - \sum_{i=0}^{\lambda-1} u(iT_e) z^{-i} \right],$ $\mathcal{Z}\{f[k + \lambda]\} = z^{\lambda} \left[F(z) - \sum_{i=0}^{\lambda-1} u(iT_e) z^{-i} \right].$
4.	Deplasare în complex	$\mathcal{Z}\{e^{\pm at} f(t)\} = F(z) \Big _{z=ze^{\mp aT_e}} = F(ze^{\mp aT_e})$ $\mathcal{Z}\{e^{\pm at} f[k]\} = F(z) \Big _{z=ze^{\mp ak}} = F(ze^{\mp ak})$
5.	Teorema derivării pariale	$\mathcal{Z}\left\{\frac{\partial}{\partial a} f(t, a)\right\} = \mathcal{Z}\left\{\frac{\partial}{\partial a} f([k], a)\right\} = \frac{\partial}{\partial a} F(z, a)$
6.	Teorema produsului de convoluție a secvențelor temporale	$f_1(kT_e) * f_2(kT_e) = \sum_{i=-\infty}^{+\infty} f_1(iT_e) f_2[(k-i)T_e]$ $\mathcal{Z}\{f_1(kT_e) * f_2(kT_e)\} = F_1(z) \cdot F_2(z)$
7.	Teorema valorii inițiale	$\lim_{k \rightarrow 0} f(kT_e) = \lim_{k \rightarrow 0} f[k] = \lim_{z \rightarrow \infty} F(z)$ Condiție de aplicare: $\lim_{z \rightarrow \infty} F(z)$ există.
8.	Teorema valorii finale	$\lim_{t \rightarrow \infty} f^*(t) = \lim_{k \rightarrow \infty} f[k] = \lim_{z \rightarrow 1} (1 - z^{-1})F(z)$ Condiție de aplicare: funcția $(1 - z^{-1})F(z)$ trebuie să aibă polii în interiorul cercului de rază unitară.

În exemplele următoare se vor deduce transformatele Z pentru unele semnale speciale folosite în teoria sistemelor și se va ilustra modul de aplicare a unor teoreme.

Exemplul 7

Să se determine transformata Z pentru funcția treaptă unitară întârziată cu două perioade de eantionare ($2T_e$), reprezentată în figura 4.19.

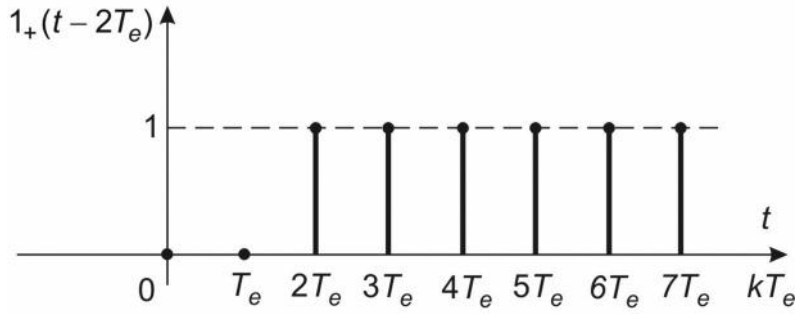


Fig. 4.19

Se aplică teorema de deplasare în timp și se obține astfel:

$$\mathcal{Z}\{1_+(t - 2T_e)\} = z^{-2} \mathcal{Z}\{1_+(t)\} = z^{-2} \frac{z}{z-1} = \frac{1}{z(z-1)}. \quad (4.84)$$

Observație. Teorema de deplasare în timp se aplică numai dacă întârzierea este multiplu întreg al perioadei de eantionare. Când întârzierea τ este mai mică decât o perioadă de eantionare sau când $\tau = \lambda T_e + \lambda' T_e$, cu $0 \leq \lambda < 1$, calculul transformatei \mathcal{Z} se realizează cu un procedeu special denumit *transformata \mathcal{Z} modificată*, metodă care se va prezenta ulterior.

Exemplul 8

Să se calculeze transformata \mathcal{Z} a funcției ramp unitare $f(t) = t, t \geq 0$.

Se utilizează teorema derivării pariale aplicată funcției exponențiale. Se observă că:

$$t = \lim_{a \rightarrow 0} \left\{ -\frac{\partial}{\partial a} [e^{-at}] \right\} = \lim_{a \rightarrow 0} [te^{-at}]. \quad (4.85)$$

Soluția problemei va fi:

$$\mathcal{Z}\{t\}_{t \geq 0} = -\lim_{a \rightarrow 0} \frac{\partial}{\partial a} \left(\frac{z}{z - e^{-aT_e}} \right) = -\lim_{a \rightarrow 0} \frac{-zT_e e^{-aT_e}}{(z - e^{-aT_e})^2} = \frac{zT_e}{(z-1)^2}. \quad (4.86)$$

Exemplul 9

Să se deducă transformata \mathcal{Z} a funcției parabol unitare $f(t) = t^2/2, t \geq 0$.

Folosind exemplul de mai înainte se observă că:

$$\frac{t^2}{2} = \frac{1}{2} \lim_{a \rightarrow 0} \left\{ \frac{\partial^2}{\partial a^2} [e^{-at}] \right\}, \quad (4.87)$$

de unde, prin aplicarea teoremei derivării pariale, se obține succesiv:

$$\begin{aligned} \mathcal{Z}\left\{\frac{t^2}{2}\right\} &= \frac{1}{2} \lim_{a \rightarrow 0} \left\{ \frac{\partial^2}{\partial a^2} \left[\frac{z}{z - e^{-aT_e}} \right] \right\} = \\ &= \frac{1}{2} \lim_{a \rightarrow 0} \frac{e^{-aT_e} z T_e^2 (z - e^{-aT_e})^2 + 2z T_e^2 e^{-aT_e} (z - e^{-aT_e})}{(z - e^{-aT_e})^4} = \end{aligned}$$

$$= \frac{1}{2} \lim_{a \rightarrow 0} \frac{zT_e^2(z - e^{-aT_e} + 2)e^{-aT_e}}{(z - e^{-aT_e})^3}, \quad (4.88)$$

de unde, în final, rezult :

$$\mathcal{Z}\left\{\frac{t^2}{2}\right\}_{t \geq 0} = \frac{1}{2} \frac{zT_e^2(z+1)}{(z-1)^3}. \quad (4.89)$$

Exemplul 10

S se calculeze transformata Laplace pentru semnalul $f(t) = te^{-at}$.

Se cunoaște c (v. rel. (4.86)):

$$\mathcal{Z}\{t\}_{t \geq 0} = \frac{zT_e}{(z-1)^2} = F_1(z).$$

Se aplică în continuare teorema deplasării în complex, de unde rezult :

$$F(z) = \mathcal{Z}\{te^{-at}\} = F_1(ze^{aT_e}), \quad (4.90)$$

$$F(z) = \frac{zT_e e^{aT_e}}{(ze^{aT_e} - 1)^2} = \frac{zT_e e^{-aT_e}}{(z - e^{-aT_e})^2}. \quad (4.91)$$

Exemplul 11

S se determine transformatele Z pentru funcțiile:

$$f_1(t) = e^{-at} \sin \omega t \quad \text{și} \quad f_2(t) = e^{-at} \cos \omega t.$$

Se aplică teorema deplasării în complex. În aceste condiții se obține:

$$\begin{aligned} F_1(z) &= \frac{z \sin \omega T_e}{z^2 - 2z \cos \omega T_e + 1} \Big|_{z=ze^{aT_e}} = \frac{ze^{aT_e} \sin \omega T_e}{z^2 e^{2aT_e} - 2ze^{aT_e} \cos \omega T_e + 1} = \\ &= \frac{ze^{-aT_e} \sin \omega T_e}{z^2 - 2ze^{-aT_e} \cos \omega T_e + e^{-2aT_e}}, \end{aligned} \quad (4.92)$$

$$\begin{aligned} F_2(z) &= \frac{z(z - \cos \omega T_e)}{z^2 - 2z \cos \omega T_e + 1} \Big|_{z=ze^{aT_e}} = \frac{ze^{aT_e}(ze^{aT_e} - \cos \omega T_e)}{z^2 e^{2aT_e} - 2ze^{aT_e} \cos \omega T_e + 1} = \\ &= \frac{z^2 - ze^{-aT_e} \cos \omega T_e}{z^2 - 2ze^{-aT_e} \cos \omega T_e + e^{-2aT_e}}. \end{aligned} \quad (4.93)$$

Exemplul 12

Fiind dată funcția complexă (transformata Z):

$$F(z) = \frac{0,792z^2}{(z-1)(z^2 - 0,416z + 0,208)}, \quad (4.94)$$

s se determine valoarea final $f(kT_e)$, $k \rightarrow \infty$.

Deoarece funcția complex :

$$(1 - z^{-1})F(z) = \frac{0,792z^2}{z^2 - 0,416z + 0,208}, \quad (4.95)$$

are polii în planul z în interiorul cercului de rază unitară, se poate aplica teorema valorii finale. Astfel, se obține:

$$\lim_{k \rightarrow \infty} f(kT_e) = \lim_{z \rightarrow 1} [(1 - z^{-1})F(z)] = \lim_{z \rightarrow 1} \frac{0,792z^2}{z^2 - 0,416z + 0,208} = 1. \quad (4.96)$$

În tabelul 4.2 sunt prezentate transformatele Laplace, respectiv transformatele Z pentru o serie de funcții utilizate mai frecvent în automatic.

Tabelul 4.2

Nr. crt.	Funcția de timp $f(t), t \geq 0$	Transformata Laplace	Transformata Z
1	Impuls Dirac, $\delta(t)$	1	1
2	Impuls unitar, $\delta_1(t)$	1	1
3	Treaptă unitară, $1_+(t)$	$\frac{1}{s}$	$\frac{z}{z-1}$
4	t	$\frac{1}{s^2}$	$\frac{zT_e}{(z-1)^2}$
5	$\frac{t^2}{2}$	$\frac{1}{s^3}$	$\frac{zT_e^2(z+1)}{2(z-1)^3}$
6	e^{-at}	$\frac{1}{s+a}$	$\frac{z}{z - e^{-aT_e}}$
7	te^{-at}	$\frac{1}{(s+a)^2}$	$\frac{zT_e e^{-aT_e}}{(z - e^{-aT_e})^2}$
8	$\sin \omega t$	$\frac{\omega}{s^2 + \omega^2}$	$\frac{z \sin \omega T_e}{z^2 - 2z \cos \omega T_e + 1}$
9	$\cos \omega t$	$\frac{s}{s^2 + \omega^2}$	$\frac{z(z - \cos \omega T_e)}{z^2 - 2z \cos \omega T_e + 1}$
10	$e^{-at} \sin \omega t$	$\frac{\omega}{(s+a)^2 + \omega^2}$	$\frac{ze^{-aT_e} \sin \omega T_e}{z^2 - 2ze^{-aT_e} \cos \omega T_e + e^{-2aT_e}}$
11	$e^{-at} \cos \omega t$	$\frac{s+a}{(s+a)^2 + \omega^2}$	$\frac{z^2 - ze^{-aT_e} \cos \omega T_e}{z^2 - 2ze^{-aT_e} \cos \omega T_e + e^{-2aT_e}}$

4.4.5 Transformarea planului s în planul z

Deoarece anumite proprietăți ale sistemelor continue au fost analizate folosind-se configurația în planul complex s a polilor și zerourilor, prezintă interes studiul transformării planului s (a unor porțiuni din acesta sau a unor drepte cu anumite

caracteristici) în planul z .

Schimbarea de variabil $z = e^{sT_e}$ constituie o transformare conformă a planului s în planul z . Din punctul de vedere al transformării $z = e^{sT_e}$, planul s este împărțit într-un număr infinit de fâșii de periodicitate, limita acestor fâșii fiind dreptele orizontale, paralele cu axa abscisei, așa cum se arată în figura 4.20,a.

Prima fâșie (numită *primară*) este cuprinsă între $\omega = -\omega_e/2$ și $\omega_e/2$, iar celelalte fâșii sunt cuprinse între $-\omega_e/2$ și $-3\omega_e/2$, $-3\omega_e/2$ și $-5\omega_e/2$, ... pentru pulsațiile negative, respectiv între $\omega_e/2$ și $3\omega_e/2$, $3\omega_e/2$ și $5\omega_e/2$... pentru pulsațiile pozitive. Împărțirea planului s în fâșii este o consecință a proprietății de periodicitate a funcției exponențiale de exponent complex care corespunde schimbării de variabil :

$$e^{sT_e} = e^{(\sigma + j\omega)T_e} = e^{\sigma T_e} e^{j2\pi\omega/\omega_e}. \quad (4.97)$$

Se poate verifica ușor că pentru $\omega \in (-\omega_e/2, \omega_e/2)$ rezultă $e^{sT_e} \in e^{\sigma T_e} (e^{-j\pi} \div e^{j\pi})$; un rezultat similar rezultă, de exemplu, pentru $\omega \in (\omega_e/2, 3\omega_e/2)$, când avem $e^{sT_e} \in e^{\sigma T_e} (e^{j\pi} \div e^{j3\pi}) \equiv e^{\sigma T_e} (e^{j\pi} \div e^{-j\pi})$.

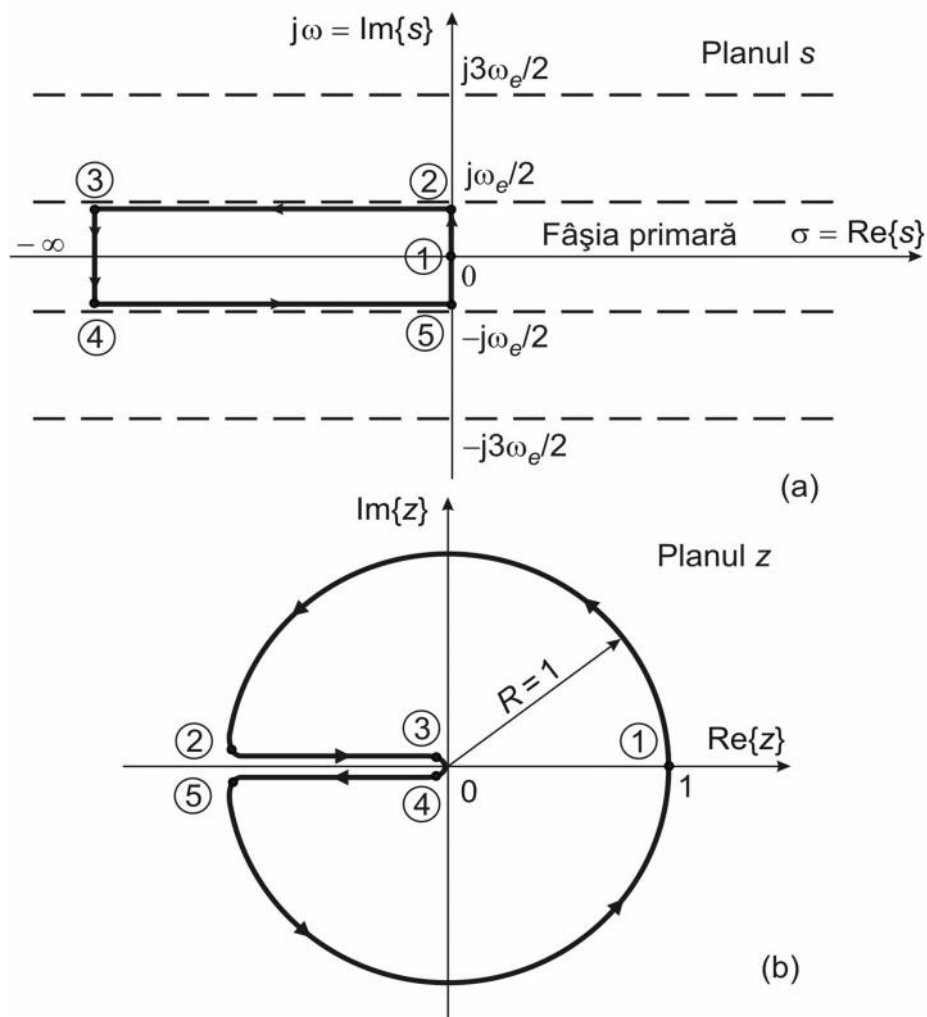


Fig. 4.20

4.4.5.1 Transformarea semiplanului complex stâng în planul z

Având în vedere periodicitatea se considerăm porțiunea din semiplanul stâng al funcției primare definită în planul s prin conturul 1 – 2 – 3 – 4 – 5 (v. fig. 4.20a). Se va analiza, pentru fiecare interval din conturul poligonal închis, curba care rezultă în planul z prin transformarea conform $z = e^{sT_e}$.

Intervalul 1 – 2:

$$s = 0 + j\omega \Big|_{\omega \in (0, \omega_e/2)} \rightarrow z = e^{(0+j\omega)T_e} \Big|_{\omega \in (0, \omega_e/2)}, \quad (4.98)$$

$$|z| = \left| e^{j\omega T_e} \right|_{\omega \in (0, \omega_e/2)} = 1 \text{ cu } z_1 = e^{j0T_e} = 1 \text{ și } z_2 = e^{j\omega_e T_e/2} = -1. \quad (4.99)$$

Prin urmare, dreapta verticală cuprinsă între punctele 1 și 2 se transformă în planul z într-un arc de cerc de rază unitară între punctele $z_1 = 1$ și $z_2 = -1$.

Intervalul 2 – 3:

$$s = \sigma + j\frac{\omega_e}{2} \Big|_{\sigma \in (0, -\infty)} \rightarrow z = e^{\sigma T_e} e^{j\omega_e T_e/2} = -e^{\sigma T_e} \Big|_{\sigma \in (0, -\infty)}. \quad (4.100)$$

Când σ se modifică de la 0 la $-\infty$, z va fi un număr real cu valori cuprinse între -1 și 0. Deci schimbarea de variabilă transformă dreapta orizontală la $\omega = \omega_e/2$, cu σ cuprins în intervalul $(0, -\infty)$, într-o dreaptă, de asemenea orizontală, suprapusă semiaxe reale negative a planului z , cuprinsă între $z_2 = -1$ și $z_3 = 0$.

Intervalul 3 – 4:

Deoarece $s = \sigma + j\omega \Big|_{\sigma = -\infty, \omega \in (\omega_e/2, -\omega_e/2)}$, în planul z avem

$$z = e^{-j\infty T_e} e^{j\omega T_e} \Big|_{\omega \in (\omega_e/2, -\omega_e/2)} = 0 \cdot e^{j\omega T_e} \Big|_{\omega \in (\omega_e/2, -\omega_e/2)} = 0. \quad (4.101)$$

Dacă ω ia valori în gama $(\omega_e/2, -\omega_e/2)$ punctul z se deplasează în jurul originii pe un arc de cerc cu rază infinit mică.

Intervalul 4 – 5:

$$s = \sigma - j\frac{\omega_e}{2} \Big|_{\sigma \in (-\infty, 0)} \rightarrow z = e^{\sigma T_e} e^{-j\omega_e T_e/2} = -e^{\sigma T_e} \Big|_{\sigma \in (-\infty, 0)}. \quad (4.102)$$

Transformarea este asemănătoare cu cea realizată între punctele 2 și 3. De această dată variabila z ia valori pe semiaxa reală negativă între punctele $z_4 = 0$ și $z_5 = -1$.

Intervalul 5 – 1:

$$s = 0 + j\omega \Big|_{\omega \in (-\omega_e/2, 0)} \rightarrow z = e^{(0+j\omega)T_e} \Big|_{\omega \in (-\omega_e/2, 0)}, \quad |z| = \left| e^{j\omega T_e} \right|_{\omega \in (-\omega_e/2, 0)} = 1,$$

$$\text{cu } z_5 = e^{-j\omega_e T_e/2} = e^{-j\pi} = -1 \text{ și } z_6 = z_1 = e^{j0T_e} = 1. \quad (4.103)$$

Asemănător cu transformarea conformă a dreptei 1 – 2, rezultă, și în acest caz, un semicerc de rază unitară care începe în punctul $z_5 = -1$ și se termină în punctul

$$z_6 = z_1 = 1.$$

Rezumând, făcând primar din semiplanul complex stâng (respectiv prin periodicitate întreg semiplanul stâng al variabilei complexe s) se transformă, prin schimbarea de variabilă $z = e^{sT_e}$, în planul z , în interiorul cercului de rază unitară. Rezultatul este ilustrat grafic în figura 4.20b. În concluzie, toate punctele din semiplanul stâng s sunt transformate în interiorul cercului de rază unitară din planul z . Punctele din semiplanul drept sunt transformate în exteriorul cercului de rază unitară din planul z .

4.4.5.2 Locuri geometrice pentru $\sigma = \text{Re}\{s\} = \text{constant}$

Pentru $\sigma = \text{Re}\{s\} = \text{constant}$ în planul s , în planul z vom avea

$$z = e^{(\sigma + j\omega)T_e} = e^{\sigma T_e} e^{j\omega T_e} = R e^{j\omega T_e},$$

unde $R = e^{\sigma T_e}$.

Dacă $\sigma_0 = 0$, $R = R_0 = 1$, pentru $\sigma_1 < 0$ avem $R = R_1 < 1$, iar pentru $\sigma_2 > 0$ vom avea

$R = R_2 > 1$. Deoarece $\left| e^{j\omega T_e} \right|_{\omega \in (-\omega_e/2, \omega_e/2)} = 1$, rezultă că locul geometric care se

obține când $\sigma = \text{Re}\{s\} = \text{ct.}$, este un cerc de rază R (v. fig. 4.21b).

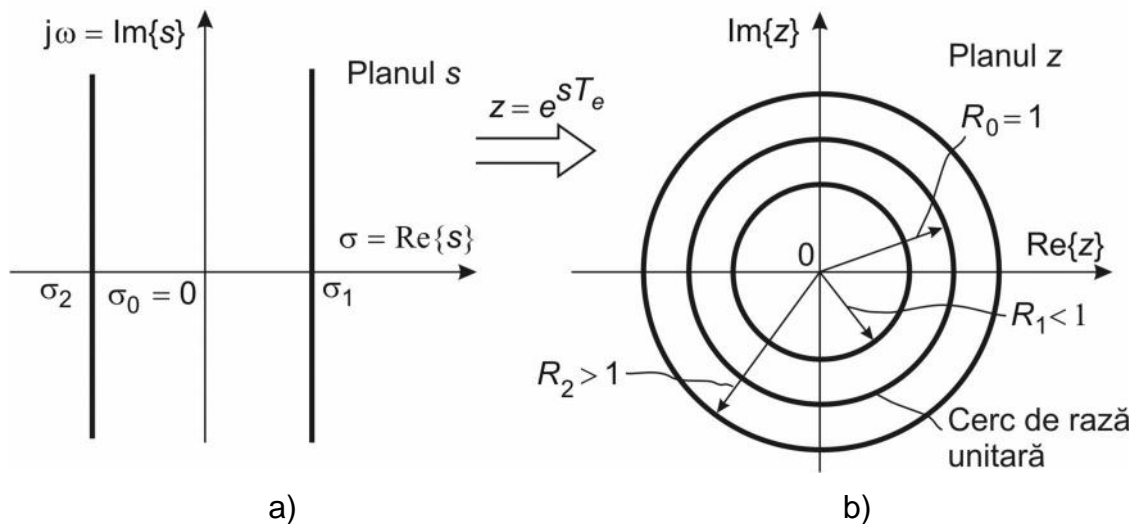


Fig. 4.21

4.4.5.3 Locuri geometrice de pulsație constantă

Pentru $s = (\sigma + j\omega_1)T_e$, cu $\omega_1 = \text{ct.}$ și $\sigma \in (-\infty, +\infty)$, în planul z vom avea $z = e^{\sigma T_e} e^{j\omega_1 T_e} \Big|_{\omega_1 = \text{ct.}, \sigma \in (-\infty, +\infty)}$, ceea ce reprezintă o dreaptă care trece prin originea planului complex z și care are unghiul $\theta = \omega_1 T_e$ cu axa reală pozitivă (v. fig. 4.22b).

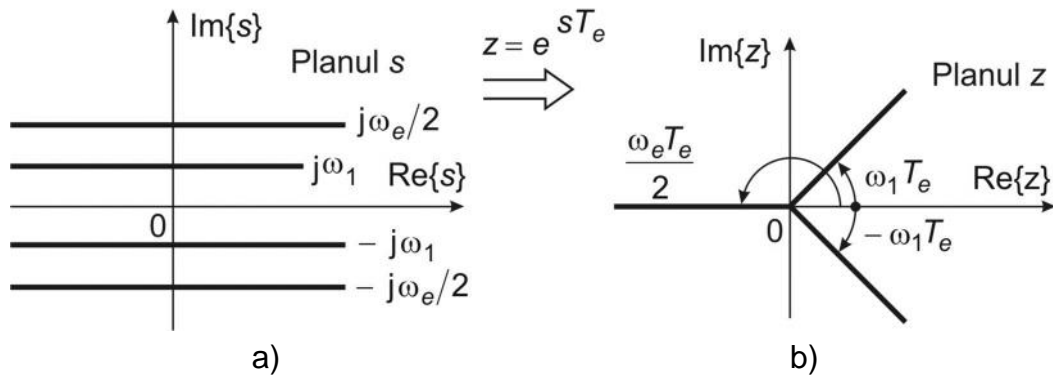


Fig. 4.22

4.4.5.4 Locuri geometrice de amortizare constant

În planul s , locul geometric pentru un pol complex cu amortizare constant ($\zeta = \text{ct.}$) este o dreaptă care are unghiul cu semi-axa real negativ $\varphi = \arccos \zeta$ (v. fig. 4.23a). Punctul curent s de pe dreaptă are ecuația:

$$s = -\sigma + j\omega = -\omega \text{ctg} \varphi + j\omega. \quad (4.104)$$

Traectoria din planul z va avea ecuația:

$$z = e^{sT_e} = e^{-\omega T_e \text{ctg} \varphi} e^{j\omega T_e} \Big|_{\omega \in [0, \infty)}, \quad (4.105)$$

ceea ce reprezintă o spirală logaritmică care pleacă din punctul $z_1 = e^0 = 1$ și se termină în originea planului z (v. fig. 4.23b). Se remarcă faptul că la fiecare parcurgere a unei fășii de periodicitate, pentru $\omega \in [n\omega_e/2, (n+2)\omega_e/2]$, se obține o parcurgere completă a spiralei.

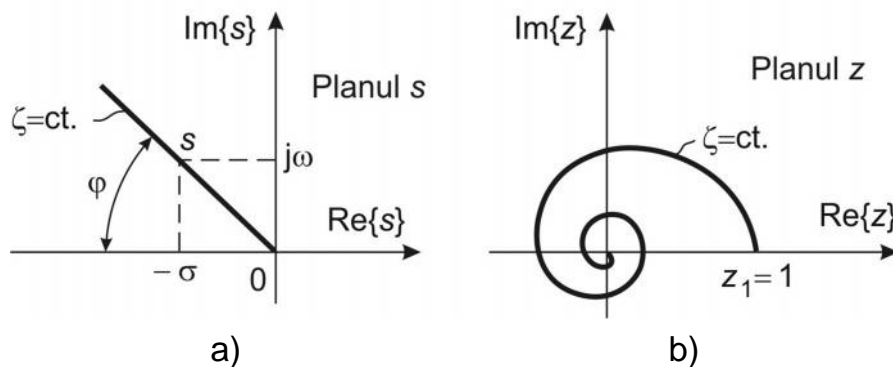


Fig. 4.23.

4.4.6 Transformata Z invers

Procesul de trecere de la o funcție de variabilă complex $F(z)$, la un semnal eantionat descris printr-o secvență temporală $f(kT_e)$ sau $f[k]$ se numește *transformata Z invers*. Notația utilizată pentru transformata Z invers este $f[k] = f(kT_e) = \mathcal{Z}^{-1}\{F(z)\}$. De obicei, prin aplicarea transformatei Z inverse se obține secvența temporală $f[k]$ în care nu apare explicit perioada de eantionare T_e .

În practică se utilizează 3 metode de evaluare a transformatei Z inverse:

- metoda formulei de inversiune;
- metoda dezvoltării în fracții simple;
- metoda seriilor infinite de puteri ale lui z^{-1} .

4.4.6.1 Metoda formulei de inversiune

Matematic $f(kT_e)$ se obține din $F(z)$ cu formula (numită *de inversiune*) exprimată conform relației:

$$f[k] = f(kT_e) = \frac{1}{2\pi j} \oint_{\Gamma} F(z) z^{k-1} dz, \quad (4.106)$$

unde Γ este o curbă închisă din planul z care include toate singularitățile (polii și zerourile) funcției complexe $F(z)z^{k-1}$.

Pentru evaluarea concretă a integralei de inversiune se folosește teorema reziduurilor, care se prezintă în continuare. Metoda se bazează pe faptul că majoritatea semnalelor fizice au transformata Z exprimată sub forma unor funcții raționale de variabilă z conform expresiei:

$$F(z) = \frac{B(z)}{A(z)} = \frac{b_m z^m + b_{m-1} z^{m-1} + \dots + b_1 z + b_0}{z^n + a_{n-1} z^{n-1} + \dots + a_1 z + a_0}, \quad n \geq m. \quad (4.107)$$

Ca și în cazul sistemelor continue, sistemele discrete fizic realizabile trebuie să îndeplinească condiția:

$$\text{grad } A(z) \geq \text{grad } B(z) \text{ sau } n \geq m. \quad (4.108)$$

Se considerăm că $A(z)$ are rădăcini simple distincte reale sau complexe, notate p_i . În acest caz integrantul din formula de inversiune va fi:

$$F_0(z) = \frac{B(z) z^{k-1}}{\prod_{i=1}^n (z - p_i)}, \quad (4.109)$$

iar evaluarea cu teorema reziduurilor conduce la rezultatul:

$$f[k] = f(kT_e) = \sum_{i=1}^n r_i(k), \quad (4.110)$$

unde r_i se calculează cu relația:

$$r_i[k] = (z - p_i) F_0(z) \Big|_{z=p_i}. \quad (4.111)$$

Exemplul 13

Să se determine transformata Z inversă pentru funcția complexă:

$$F(z) = \frac{z(3z-1)}{(z-1)(z-0,5)}. \quad (4.112)$$

$$F_0(z) = z^{k-1} F(z) = \frac{z^k (3z-1)}{(z-1)(z-0,5)}. \quad (4.113)$$

Funcția semnal este $f[k] = r_1 + r_2$, unde reziduurile vor fi:

– la $z = 1$:

$$r_1 = \left. \frac{z^k(3z-1)}{z-0,5} \right|_{z=1} = \frac{2}{0,5} = 4; \quad (4.114)$$

– la $z = 0,5$:

$$r_2 = \left. \frac{z^k(3z-1)}{z-1} \right|_{z=0,5} = \frac{(0,5)^k \cdot 0,5}{-0,5} = -(0,5)^k. \quad (4.115)$$

În final se obține:

$$f[k] = 4 - (0,5)^k, \quad k \geq 0. \quad (4.116)$$

Observație. Deoarece $F(z)$ nu conține explicit perioada de eantionare T_e , această mrimă nu apare nici în expresia funcției de timp eantionate ideal, $f[k]$.

Exemplul 14

Să se calculeze transformata Z inversă pentru funcția complexă:

$$F(z) = \frac{z(1 - e^{-aT_e})}{(z-1)(z - e^{-aT_e})}. \quad (4.117)$$

Se determină reziduurile funcției:

$$F_0(z) = \frac{z^{k-1}z(1 - e^{-aT_e})}{(z-1)(z - e^{-aT_e})} = \frac{z^k(1 - e^{-aT_e})}{(z-1)(z - e^{-aT_e})}, \quad (4.118)$$

pentru polii $z = +1$ și $z = e^{-aT_e}$. Se obține astfel semnalul eantionat:

$$f[k] = r_1 + r_2 = \left. \frac{z^k(1 - e^{-aT_e})}{z - e^{-aT_e}} \right|_{z=1} + \left. \frac{z^k(1 - e^{-aT_e})}{z-1} \right|_{z=e^{-aT_e}} = 1 - e^{-akT_e}. \quad (4.119)$$

4.4.6.2 Metoda dezvoltării în fracții simple

Se consideră din nou funcția complexă $F(z)$ este o funcție rațională scrisă conform relației (4.107). Asemănător transformatei Laplace inverse, funcțiile de timp eantionate se pot obține prin dezvoltarea în fracții simple a funcției $F(z)$. Apare însă o mică modificare față de metoda utilizată la calculul transformatei Laplace inverse. După cum se cunoaște, la calculul transformatei Laplace inverse, în cazul polilor simpli, dezvoltarea în fracții simple are expresia:

$$F(s) = \frac{c_1}{s + p_1} + \dots + \frac{c_i}{s + p_i} + \dots + \frac{c_n}{s + p_n}, \quad (4.120)$$

de unde rezultă funcția de timp:

$$f(t) = c_1 e^{-p_1 t} + \dots + c_i e^{-p_i t} + \dots + c_n e^{-p_n t}. \quad (4.121)$$

Considerându-se acum transformata Z a expresiei (4.121), se obține:

$$F(z) = \frac{c_1 z}{z - e^{-p_1 T_e}} + \dots + \frac{c_i z}{z - e^{-p_i T_e}} + \dots + \frac{c_n z}{z - e^{-p_n T_e}}. \quad (4.122)$$

De aici se vede că la calculul transformatei Z inverse cu metoda dezvoltării în fracții simple este necesar să se considere de fapt funcția $F(z)/z$. Dezvoltarea astfel obținută este apoi multiplicată cu z în ambii membri.

Concret, la aplicarea metodei descompunerii în fracții simple pentru calculul transformatei Z inverse se parcurg următoarele etape:

1. Se calculează :

$$F_1(z) = \frac{F(z)}{z} = \frac{B(z)}{zA(z)}. \quad (4.123)$$

Observație. De obicei $B(z)$ conține pe z ca factor, deci z de la numitorul funcției $F_1(z)$ se va simplifica și aceasta va avea expresia:

$$F_1(z) = \frac{B_1(z)}{A(z)}. \quad (4.124)$$

2. Presupunând că $A(z)$ are poli distincți, p_{d_i} , avem dezvoltarea în fracții simple:

$$F_1(z) = \frac{c_1}{z - p_{d_1}} + \dots + \frac{c_i}{z - p_{d_i}} + \dots + \frac{c_n}{z - p_{d_n}}, \quad (4.125)$$

unde

$$c_i = (z - p_{d_i}) \left. \frac{B(z)}{zA(z)} \right|_{z=p_{d_i}}. \quad (4.126)$$

3. Aplicând transformata Z inversă fracțiilor simple multiplicată cu z , rezultă :

$$f[k] = f(kT_e) = c_1(p_{d_1})^k + \dots + c_i(p_{d_i})^k + \dots + c_n(p_{d_n})^k. \quad (4.127)$$

Exemplul 15

Să se calculeze cu metoda descompunerii în fracții simple, funcțiile de timp pentru funcțiile complexe din exemplele 13 și 14 (v. rel. (4.112), (4.117)):

$$a) F(z) = \frac{z(3z-1)}{(z-1)(z-0,5)},$$

$$b) F(z) = \frac{z(1-e^{-aT_e})}{(z-1)(z-e^{-aT_e})}.$$

a) Se calculează mai întâi:

$$F_1(z) = \frac{F(z)}{z} = \frac{3z-1}{(z-1)(z-0,5)}, \quad (4.128)$$

iar apoi, presupunând că polinomul de la numitor are poli distincți, se obține:

$$F_1(z) = \frac{c_1}{z-1} + \frac{c_2}{z-0,5}, \quad (4.129)$$

unde:

$$c_1 = \frac{3z-1}{z-0,5} \Big|_{z=1} = \frac{2}{0,5} = 4, \quad c_2 = \frac{3z-1}{z-1} \Big|_{z=0,5} = \frac{0,5}{-0,5} = -1. \quad (4.130)$$

Rezult astfel dezvoltarea în fracții simple:

$$F_1(z) = \frac{4}{z-1} - \frac{1}{z-0,5}, \quad (4.131)$$

deci:

$$F(z) = \frac{4z}{z-1} - \frac{z}{z-0,5}, \quad (4.132)$$

de unde, prin aplicarea transformatei Z inverse, se obține:

$$f[k] = 4 - (0,5)^k, \quad k \geq 0. \quad (4.133)$$

b) Urmărindu-se etapele algoritmului metodei descompunerii în fracții simple rezultă succesiv:

$$F_1(z) = \frac{F(z)}{z} = \frac{1 - e^{-aT_e}}{(z-1)(z - e^{-aT_e})}, \quad (4.134)$$

$$F_1(z) = \frac{c_1}{z-1} + \frac{c_2}{z - e^{-aT_e}}, \quad (4.135)$$

unde:

$$c_1 = \frac{1 - e^{-aT_e}}{z - e^{-aT_e}} \Big|_{z=1} = 1, \quad c_2 = \frac{1 - e^{-aT_e}}{z-1} \Big|_{z=e^{-aT_e}} = -1. \quad (4.136)$$

Astfel, se obține:

$$F(z) = \frac{z}{z-1} - \frac{z}{z - e^{-aT_e}}, \quad (4.137)$$

de unde, prin aplicarea transformatei Z inverse, rezultă :

$$f(kT_e) = 1 - (e^{-aT_e})^k, \quad k \geq 0. \quad (4.138)$$

4.4.6.3 Metoda seriilor infinite de puteri ale lui z^{-1}

La această metodă $F(z)$ se scrie sub forma unei serii infinite de puteri ale lui z^{-1} . Considerându-se din nou forma rațională a funcției complexe (v. rel. (4.107)):

$$F(z) = \frac{B(z)}{A(z)} = \frac{b_m z^m + b_{m-1} z^{m-1} + \dots + b_1 z + b_0}{z^n + a_{n-1} z^{n-1} + \dots + a_1 z + a_0}, \quad n \geq m,$$

după împărțirea realizată după regula împărțirii infinite a polinoamelor rezultă :

$$F(z) = f_0 + f_1 z^{-1} + f_2 z^{-2} + \dots \quad (4.139)$$

Comparând rezultatul obținut cu relația de definiție a transformatei Z (v. rel. (4.49)) se constată că :

$$f(0) = f_0, f(T_e) = f_1, f(2T_e) = f_2, \dots, f(kT_e) = f_k, \dots, \quad (4.140)$$

Pentru aplicarea metodei seriilor infinite de puteri ale lui z^{-1} este indicat ca înainte de împărțirea polinoamelor, funcția complexă să fie scrisă în forma cu variabilă z^{-1} ca în următoarea relație:

$$F(z^{-1}) = \frac{c_0 + c_1 z^{-1} + c_2 z^{-2} \dots}{1 + d_1 z^{-1} + d_2 z^{-2} \dots}. \quad (4.141)$$

Exemplul 16

Folosind metoda seriilor infinite de puteri ale lui z^{-1} , să se determine funcția de timp pentru transformata Z următoare:

$$F(z) = \frac{z}{z - 0,8}. \quad (4.142)$$

Funcția complexă în forma cu z^{-1} are următoarea expresie:

$$F(z) = \frac{1}{1 - 0,8z^{-1}}. \quad (4.143)$$

Împărțirea infinit realizată conform schemei prezentate în continuare furnizează soluția:

$$\begin{array}{r}
 1 + 0,8z^{-1} + 0,64z^{-2} + 0,512z^{-3} + \dots \\
 1 - 0,8z^{-1} \overline{) \phantom{1 + 0,8z^{-1} + 0,64z^{-2} + 0,512z^{-3} + \dots}} \\
 \underline{1} \phantom{+ 0,8z^{-1} + 0,64z^{-2} + 0,512z^{-3} + \dots} \\
 0,8z^{-1} \\
 \underline{0,8z^{-1} - 0,64z^{-2}} \\
 0,64z^{-2} \\
 \underline{0,64z^{-2} - 0,512z^{-3}} \\
 0,512z^{-3} - \dots
 \end{array}$$

$$F(z^{-1}) = 1 + 0,8z^{-1} + 0,64z^{-2} + 0,512z^{-3} + 0,41z^{-4} + \dots, \quad (4.144)$$

de unde, prin comparație cu:

$$F(z) = \sum_{k=0}^{+\infty} f(kT_e) z^{-k},$$

se obține secvența temporală $\{f(kT_e)\} = \{1; 0,8; 0,64; 0,512; 0,41; \dots\}$.

Exemplul 17

Să se determine secvența temporală a semnalului $f(kT_e)$ cu metoda seriilor infinite de puteri, pentru funcția complexă :

4.5 TRANSFORMATĂ Z MODIFICATĂ

Transformata Z ordinară prezintă dezavantajul că specifică valorile funcției de timp numai din momentele de eantionare, $f(kT_e)$. Prin urmare $F(z)$ nu conține nici o informație referitoare la valoarea lui $f(t)$ între momentele de eantionare. Pentru a se evalua valorile semnalului $f(t)$ între momentele de eantionare s-a dezvoltat *metoda transformatei Z modificate (întârziate)*. Această metodă este utilă pentru modelarea sistemelor cu timp mort (cu valori mai mici decât perioada de eantionare T_e) și, de asemenea, pentru descrierea semnalelor eantionate cu timp mort.

Metoda este în esență o modificare a metodei transformatei Z ordinare, care se obține prin introducerea unui timp mort fictiv. Modificând, prin variația unui parametru, acest timp mort se poate reconstitui virtual toată informația conținută în semnalul continuu între momentele de eantionare.

Se presupune că timpul mort poate fi exprimat prin următoarea relație:

$$\tau = \lambda T_e + \lambda T_e, \text{ unde } \lambda \in \mathbf{Z} \text{ și } 0 \leq \lambda < 1. \quad (4.147)$$

Dacă $\lambda = 0$, deci timpul mort este multiplu întreg al perioadei de eantionare, transformata Z a semnalului de argument întârziat se determină folosind teorema deplasării în real cu relația:

$$F_i(z) = \mathcal{Z}\{f(t - \lambda T_e)\}_{t \geq \lambda T_e} = z^{-\lambda} F(z). \quad (4.148)$$

4.5.1 Definiția și calculul transformatei Z modificate

Transformata Z modificată se introduce pentru semnalele întârziate cu timp mort mai mic decât perioada de eantionare.

Pentru definirea transformatei Z modificate se consideră semnalul original $f(t)$ și versiunea întârziată a acestuia:

$$f_i(t) = f(t - \lambda T_e), \text{ cu } 0 \leq \lambda < 1, \quad (4.149)$$

care se prezintă grafic în figura 4.24.

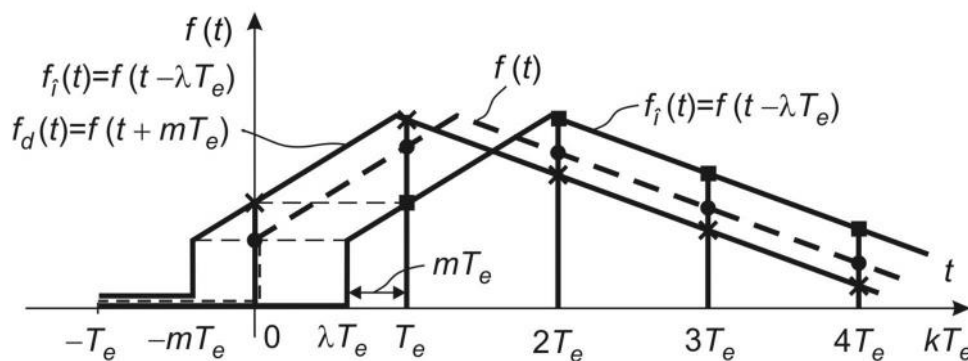


Fig. 4.24

Se remarcă faptul că $f(t)$ este definit numai pentru $t \geq 0$, fiind nul pentru $t < 0$. De asemenea $f_f(t) = f(t - \lambda T_e)$ va fi diferit de zero numai pentru $t \geq \lambda T_e$, având valoarea zero pentru $t < \lambda T_e$.

Se reaminte-te că un semnal e antionat este scris conform expresiei (v. §4.4.1):

$$f^*(t) = f(t)|_{t=0} \delta(t) + f(t)|_{t=T_e} \delta(t - T_e) + \dots + f(t)|_{t=kT_e} \delta(t - kT_e) + \dots$$

Prin urmare semnalul întârziat e antionat va fi descris conform relației:

$$\begin{aligned} f_f^*(t) &= f(t - \lambda T_e)|_{t=0} \delta(t) + f(t - \lambda T_e)|_{t=T_e} \delta(t - T_e) + \dots \\ &+ f(t - \lambda T_e)|_{t=kT_e} \delta(t - kT_e) + \dots \end{aligned} \quad (4.150)$$

Având însă în vedere că $f(t - \lambda T_e)$ există numai pentru $t > \lambda T_e$ vom avea deci $f(t - \lambda T_e)|_{t=0} = 0$, și după înlocuirea timpului cu multiplul întreg al perioadei de e antionare, se obține:

$$\begin{aligned} f_f^*(t) &= f[(1 - \lambda)T_e] \delta(t - T_e) + f[T_e + (1 - \lambda)T_e] \delta(t - 2T_e) + \dots \\ &+ f[(k - 1)T_e + (1 - \lambda)T_e] \delta(t - kT_e) + \dots, \end{aligned} \quad (4.151)$$

respectiv, dacă se notează $1 - \lambda = m$, rezultă expresia:

$$\begin{aligned} f_f^*(t) &= f(mT_e) \delta(t - T_e) + \dots + f[mT_e + (k - 1)T_e] \delta(t - kT_e) + \dots = \\ &= \sum_{k=1}^{+\infty} f[mT_e + (k - 1)T_e] \delta(t - kT_e). \end{aligned} \quad (4.152)$$

Pentru definirea corectă a transformatei Z este însă necesar ca în suma din ultima relație să apară și un e antion (diferit de zero) pentru $k = 0$. Astfel este posibil să se coreleze transformata Z a semnalului întârziat cu transformata Z a semnalului original. În acest scop semnalul întârziat se consideră ca fiind un semnal decalat înainte cu mT_e și apoi întârziat cu o perioadă de e antionare. Versiunea e antionată a semnalului decalat înainte (v. fig. 4.24) este descrisă de relația:

$$\begin{aligned} f_d^*(t) &= f(t + mT_e)|_{t=0} \delta(t) + f(t + mT_e)|_{t=T_e} \delta(t - T_e) + \dots \\ &+ f(t + mT_e)|_{t=kT_e} \delta(t - kT_e) + \dots = \sum_{k=0}^{+\infty} f(kT_e + mT_e) \delta(t - kT_e), \end{aligned} \quad (4.153)$$

de unde, având în vedere definiția transformatei Z , rezultă :

$$F_d(z) = \sum_{k=0}^{+\infty} f(kT_e + mT_e) z^{-k} = Z\{f(t + mT_e)\}. \quad (4.154)$$

În continuare, deoarece semnalul studiat $f(t - \lambda T_e)$ este identic cu semnalul fictiv $f(t + mT_e)$ întârziat cu o perioadă de e antionare, rezultă imediat:

$$F_f(z) = z^{-1}F_d(z) = z^{-1}\mathcal{Z}\{f(t + mT_e)\}. \quad (4.155)$$

Din analiza făcută mai înainte rezultă că transformata Z a semnalului întârziat:

$$f_f(t) = f(t - \lambda T_e) = f[t - (1 - m)T_e] \text{ cu } \lambda, m \in (0, 1), \quad (4.156)$$

numit în continuare *transformata Z modificată*, notat $F(z, m)$ sau $\mathcal{Z}_m\{f(t)\}$, se calculează cu relația:

$$F(z, m) = \mathcal{Z}_m\{f(t)\} = \mathcal{Z}\{f(t - \lambda T_e)\} = z^{-1}\mathcal{Z}\{f[(t + mT_e)]\}, m = 1 - \lambda. \quad (4.157)$$

Exemplul 18

Să se calculeze transformata Z modificată pentru semnalul treaptă unitară. Avându-se în vedere definiția se poate scrie:

$$1_+(t - \lambda T_e) = 1_+[t - (1 - m)T_e] = 1_+[(t + mT_e) - T_e]. \quad (4.158)$$

Reprezentările grafice ale semnalelor $1_+(t - \lambda T_e) = 1_+[(t + mT_e) - T_e]$ și $1_+(t + mT_e)$ sunt ilustrate în figura 4.25.

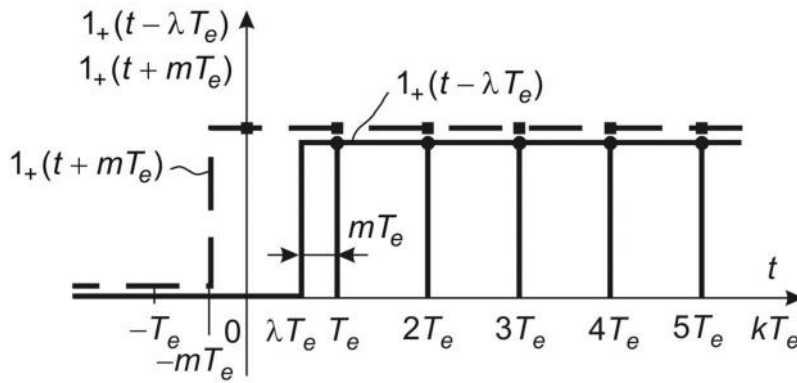


Fig. 4.25

Din grafic se constată că versiunea întârziată a semnalului $1_+(t + mT_e)$ este identică cu cea a semnalului $1_+(t)$ deci transformatele Z sunt și ele identice, adică:

$$\mathcal{Z}\{1_+(t + mT_e)\} = \frac{z}{z-1}, \quad (4.159)$$

și prin urmare:

$$\mathcal{Z}_m\{1_+(t)\} = z^{-1} \frac{z}{z-1} = \frac{1}{z-1}. \quad (4.160)$$

Exemplul 19

Să se determine transformata Z modificată pentru semnalul rampă unitară.

În figura 4.26 sunt schițate semnalele rampă unitară întârziată și respectiv decalată înainte. Aplicându-se formula de definiție se obține succesiv:

$$\mathcal{Z}_m\{t\}_{t \geq 0} = z^{-1}\mathcal{Z}\{t + mT_e\} = z^{-1}[\mathcal{Z}\{t\} + mT_e\mathcal{Z}\{1_+(t)\}]$$

$$= z^{-1} \left[\frac{zT_e}{(z-1)^2} + mT_e \frac{z}{z-1} \right] = \frac{mT_e}{z-1} + \frac{T_e}{(z-1)^2}. \quad (4.161)$$

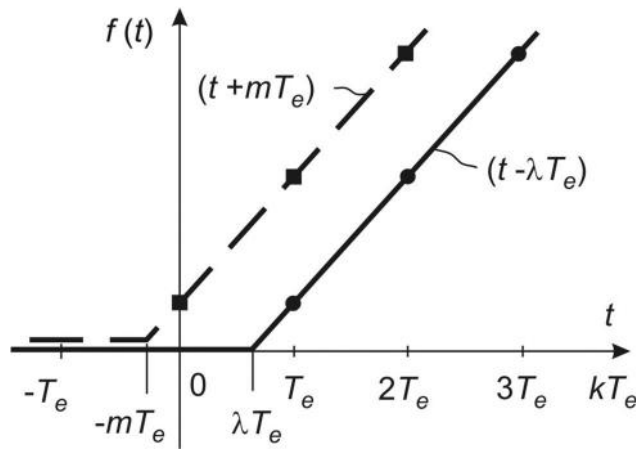


Fig. 4.26

Exemplul 20

Să se determine transformata Z modificată pentru funcția $f(t) = e^{-at}$, $t \geq 0$.

Schimbarea semnalelor întârziat și a celui fictiv decalat în avans este prezentată în figura 4.27.

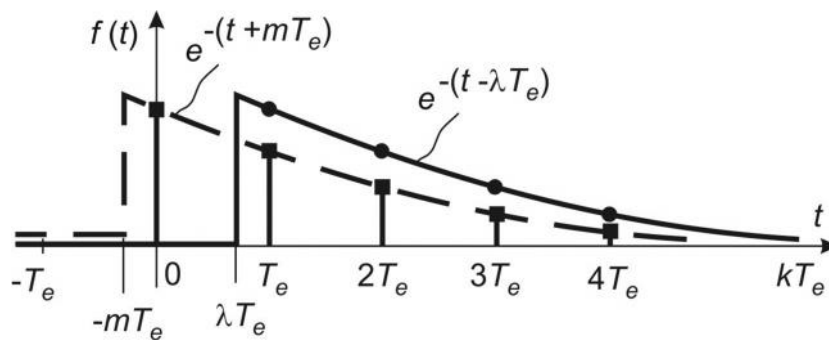


Fig. 4.27

Transformata Z modificată se calculează cu formula de definiție:

$$\mathcal{Z}_m\{e^{-at}\} = z^{-1} \mathcal{Z}\{e^{-a(t+mT_e)}\} = z^{-1} e^{-amT_e} \frac{z}{z - e^{-aT_e}} = \frac{e^{-amT_e}}{z - e^{-aT_e}}. \quad (4.162)$$

Exemplul 21

Să se calculeze transformata Z modificată pentru semnalul parabolă definit prin relația $f(t) = t^2$.

Se cunoaște că (v. exemplele 8 și 9):

$$\mathcal{Z}\{t^2\}_{t \geq 0} = \frac{T_e^2 z(z+1)}{(z-1)^3} \quad \text{și} \quad \mathcal{Z}\{t\}_{t \geq 0} = \frac{zT_e}{(z-1)^2}.$$

Se aplică în continuare relația de definiție. Se obține astfel:

$$\begin{aligned} \mathcal{Z}_m[t^2] &= z^{-1} \mathcal{Z}[(t + mT_e)^2] = z^{-1} [\mathcal{Z}\{t^2\} + 2mT_e \mathcal{Z}\{t\} + m^2 T_e^2 \mathcal{Z}\{1_+(t)\}] = \\ &= z^{-1} \left[\frac{T_e^2 z(z+1)}{(z-1)^3} + 2mT_e \frac{zT_e}{(z-1)^2} + m^2 T_e^2 \frac{z}{z-1} \right] = T_e^2 \left[\frac{m^2}{z-1} + \frac{2m}{(z-1)^2} + \frac{z+1}{(z-1)^3} \right]. \end{aligned} \quad (4.163)$$

Tabelul 4.3 prezintă sintetic proprietățile teoremele transformatei \mathcal{Z} modificate.

Tabelul 4.3

Nr. crt.	Denumire, proprietate sau teoremă	Relații Notații generale: $F(z) = \mathcal{Z}\{f(t)\}$, $F(z, m) = z^{-1} \mathcal{Z}\{f(t + mT_e)\}$, $0 < m < 1$
1	Cazuri particulare pentru valorile lui $m=0$ și $m=1$	$F(z, 0) = z^{-1} F(z)$ $F(z, 1) \neq F(z)$
2	Deplasare (întârziere) în timp	$\mathcal{Z}_m\{f(t \pm \lambda T_e)\} = z^{\pm \lambda} F(z, m)$
3	Deplasare în complex	$\mathcal{Z}_m\{e^{\pm at} f(t)\} = \mathcal{Z}_m\{F(s \mp a)\} = e^{\pm aT_e(m-1)} F(ze^{\mp aT_e}, m)$
4	Teorema valorii inițiale	$\lim_{t \rightarrow 0^+} f(t) = \lim_{\substack{k \rightarrow 0 \\ m \rightarrow 0}} f(kT_e, m) = \lim_{\substack{z \rightarrow \infty \\ m \rightarrow 0}} zF(z, m)$
5	Teorema valorii finale	$\lim_{t \rightarrow \infty} f(t) = \lim_{\substack{k \rightarrow \infty \\ 0 \leq m < 1}} f(kT_e, m) = \lim_{\substack{z \rightarrow 1 \\ 0 \leq m < 1}} (1 - z^{-1})F(z, m)$ Condiție de aplicare: funcția $(1 - z^{-1})F(z, m)$ posedă poli în interiorul cercului de rază unitară.

Exemplul 22

Fiind date $f(t)$ și $F(s)$ cu $f(t) = t|_{t \geq 0}$ și respectiv $F(s) = 1/s^2$, să se calculeze transformata \mathcal{Z} modificată a funcției $f_1(t) = f(t)e^{-at} = te^{-at}$.

Din exemplul 21 se cunoaște că:

$$\mathcal{Z}_m\{t\}_{t \geq 0} = \frac{mT_e}{z-1} + \frac{T_e}{(z-1)^2},$$

iar din proprietatea de deplasare în complex avem:

$$\mathcal{Z}_m\{te^{-at}\}_{t \geq 0} = \mathcal{Z}_m\{1/(s+a)^2\} = e^{-aT_e(m-1)} \mathcal{Z}\{ze^{aT_e}, m\}, \quad (4.164)$$

deci:

$$\mathcal{Z}_m\{te^{-at}\}_{t \geq 0} = e^{-aT_e(m-1)} \left[\frac{mT_e}{z-1} + \frac{T_e}{(z-1)^2} \right]. \quad (4.165)$$

4.5.2 Transformata Z modificat invers

Transformata Z modificat $F(z, m)$, are drept scop principal de a furniza valorile semnalului $f(t)$ între momentele de eantionare. Aceste valori se pot calcula cu transformata Z modificat invers notat conform relației:

$$f(kT_e, m) = \mathcal{Z}_m^{-1}\{F(z, m)\}. \quad (4.166)$$

Transformata Z modificat invers se poate determina cu următoarele procedee:

– metoda formulei de inversiune;

– metoda seriilor infinite de puteri ale lui z^{-1} .

Se remarcă faptul că metoda descompunerii în fracții simple nu poate fi aplicată, în general, transformatelor Z modificate. Aplicarea celor două metode se face în același mod ca la transformata Z ordinară.

Coeficienții corespunzător funcției de timp $f(kT_e, m)$ sunt dependenți de parametrul m .

Valorile semnalului $f(t)$ în momentele de eantionare se deduc conform schemei:

– pentru k oarecare și $m = 0$ avem:

$$f(kT_e, 0) = f((k-1)T_e^+); \quad (4.167)$$

– pentru k oarecare și $m = 1$ rezultă:

$$f(kT_e, 1) = f(kT_e^-). \quad (4.168)$$

Valorile semnalului între momentele de eantionare se obțin modificând m între 0 și 1.

Exemplul 23

Se dă transformata Z modificat:

$$F(z, m) = \frac{e^{-mT_e}}{z - e^{-T_e}}. \quad (4.169)$$

Se cere să se reconstituie semnalul original folosind metoda seriilor infinite de puteri ale lui z^{-1} .

Din exemplul 20 se cunoaște că această transformată Z modificat se obține pentru semnalul $f(t) = e^{-t}$. Mai întâi se determină funcția:

$$F(z^{-1}, m) = \frac{e^{-mT_e} z^{-1}}{1 - z^{-1} e^{-T_e}}, \quad (4.170)$$

și apoi se calculează, cu regula de împărțire a polinoamelor, seria de puteri ale lui z^{-1} :

$$\begin{aligned}
 & \frac{e^{-mT_e} z^{-1} + e^{-(m+1)T_e} z^{-2} + e^{-(m+2)T_e} z^{-3} + \dots + e^{-(m+k)T_e} z^{-(k+1)}}{1 - z^{-1} e^{-T_e}} \\
 &= \frac{e^{-mT_e} z^{-1}}{e^{-mT_e} z^{-1} - z^{-2} e^{-(m+1)T_e}} \\
 &= \frac{z^{-2} e^{-(m+1)T_e}}{z^{-2} e^{-(m+1)T_e} - z^{-3} e^{-(m+2)T_e}} \\
 &= \frac{z^{-3} e^{-(m+2)T_e}}{z^{-3} e^{-(m+2)T_e} - z^{-4} e^{-(m+3)T_e}}
 \end{aligned}$$

Se obține astfel:

$$F(z, m) = e^{-mT_e} z^{-1} + e^{-(m+1)T_e} z^{-2} + \dots + e^{-(m+k)T_e} z^{-(k+1)} + \dots \quad (4.171)$$

Funcția de timp în decursul primei perioade de eantionare se determină pentru $k = 1$ și $m \in [0, 1]$. Astfel se obține:

$$\begin{aligned}
 k = 1, \quad m = 0 \quad & f(0^+) = e^{-mT_e} \Big|_{m=0} = 1, \\
 m \in (0, 1) \quad & f(t) = e^{-mT_e} \Big|_{m \in (0, 1)}, \\
 m = 1 \quad & f(T_e^-) = e^{-T_e}. \quad (4.172)
 \end{aligned}$$

În a doua perioadă de eantionare avem:

$$\begin{aligned}
 k = 2, \quad m = 0 \quad & f(T_e^+) = e^{-(m+1)T_e} \Big|_{m=0} = e^{-T_e}, \\
 m \in (0, 1) \quad & f(t) = e^{-(m+1)T_e} \Big|_{m \in (0, 1)}, \\
 m = 1 \quad & f(2T_e^-) = e^{-(m+1)T_e} \Big|_{m=1} = e^{-2T_e}, \quad (4.173)
 \end{aligned}$$

iar în perioada k de eantionare semnalul reconstituit va fi:

$$\begin{aligned}
 k = k, \quad m = 0 \quad & f[(k-1)T_e^+] = e^{-(m+k-1)T_e} \Big|_{m=0} = e^{-(k-1)T_e}, \\
 m \in (0, 1) \quad & f(t) = e^{-(m+k-1)T_e} \Big|_{m \in (0, 1)}, \\
 m = 1 \quad & f(kT_e^-) = e^{-(m+k-1)T_e} \Big|_{m=1} = e^{-kT_e}. \quad (4.174)
 \end{aligned}$$

Semnalul reconstituit este reprezentat grafic în figura 4.28.

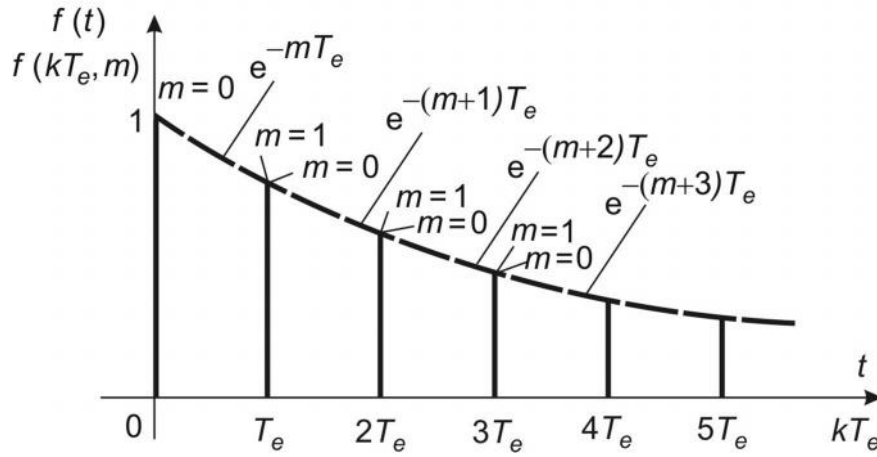


Fig. 4.28

Exemplul 24

S se reconstituie semnalul continuu care are transformata Z modificat exprimat conform rela iei:

$$F(z, m) = \frac{ze^{-mT_e}}{(z-1)(z-e^{-T_e})}. \quad (4.175)$$

Se aplic metoda formulei de inversiune. Mai întâi se scrie func ia complex :

$$F_0(z, m) = z^{k-1}F(z, m) = \frac{z^k e^{-mT_e}}{(z-1)(z-e^{-T_e})}, \quad (4.176)$$

iar apoi se calculeaz reziduurile conform rela iei:

$$\begin{aligned} f(kT_e, m) &= c_1 + c_2 = \left. \frac{z^k e^{-mT_e}}{z-e^{-T_e}} \right|_{z=1} + \left. \frac{z^k e^{-mT_e}}{z-1} \right|_{z=e^{-T_e}} = \frac{e^{-mT_e}}{1-e^{-T_e}} - \frac{e^{-(k+m)T_e}}{1-e^{-T_e}} = \\ &= \frac{e^{-mT_e}}{1-e^{-T_e}} (1-e^{-kT_e}). \end{aligned} \quad (4.177)$$

În continuare se calculeaz func ia de timp $f(t)$ reconstituit din transformata Z modificat .

Pentru $k=1$ avem:

$$f(T_e, m) = \frac{e^{-mT_e}}{1-e^{-T_e}} (1-e^{-T_e}) = e^{-mT_e}, \quad (4.178)$$

de unde rezult , pentru $m=0$:

$$f(0^+) = 1, \quad (4.179)$$

iar pentru $m=1$:

$$f(T_e^-) = e^{-T_e}. \quad (4.180)$$

În intervalul $(0, T_e)$, $f(t) = e^{-mT_e}$, cu $m \in (0, 1)$.

Pentru $k = 2$, avem:

$$f(2T_e, m) = \frac{e^{-mT_e}}{1 - e^{-T_e}} (1 - e^{-2T_e}) = e^{-mT_e} (1 + e^{-T_e}), \quad (4.181)$$

de unde rezultă, pentru $m = 0$:

$$f(T_e^+) = \frac{1 - e^{-2T_e}}{1 - e^{-T_e}} = 1 + e^{-T_e}, \quad (4.182)$$

iar pentru $m = 1$ vom avea:

$$f(2T_e^-) = e^{-T_e} (1 + e^{-T_e}). \quad (4.183)$$

Considerând o valoare oarecare pentru k se obține, pentru $m = 0$:

$$f[(k-1)T_e^+] = \frac{1 - e^{-kT_e}}{1 - e^{-T_e}} = 1 + e^{-T_e} + \dots + e^{-(k-1)T_e}, \quad (4.184)$$

iar pentru $m = 1$ rezultă:

$$f(kT_e^-) = e^{-T_e} \frac{1 - e^{-kT_e}}{1 - e^{-T_e}} = e^{-T_e} [1 + e^{-T_e} + \dots + e^{-(k-1)T_e}]. \quad (4.185)$$

Se constată că $f(kT_e^-) \neq f(kT_e^+)$ deci în momentele care sunt multiplu întreg al perioadei de eantionare, semnalul $f(t)$ are o discontinuitate. Forma de variație a semnalului reconstituit după aplicarea transformatei Z modificate este prezentat în graficul din figura 4.29.

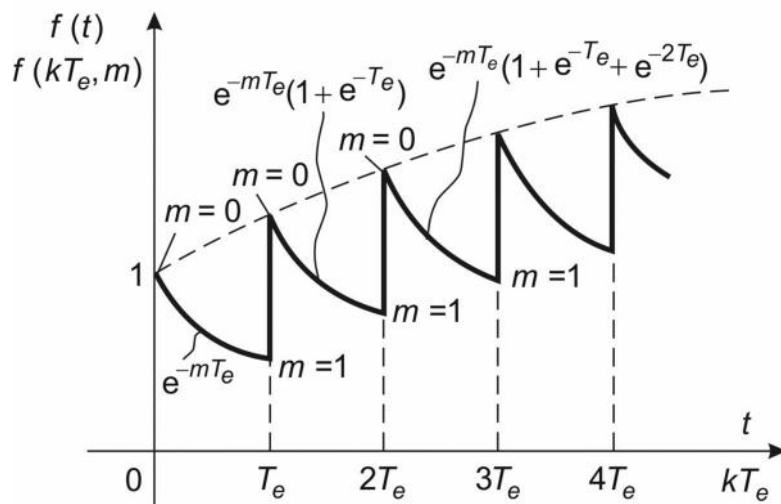


Fig. 4.29

4.6 MODELE DINAMICE ALE SISTEMELOR DISCRETE

Modelul dinamic al unui sistem (continuu sau discret) ilustrează modul în care se obține semnalul de ieșire din semnalul de intrare. În cazul sistemelor liniare și continue

modelul dinamic de bază este ecuația diferențială cu coeficienți constanți cu forma generală :

$$\begin{aligned} \frac{d^n y(t)}{dt^n} + \alpha_{n-1} \frac{d^{n-1} y(t)}{dt^{n-1}} + \dots + \alpha_1 \frac{dy(t)}{dt} + \alpha_0 y(t) = \\ = \beta_m \frac{d^m u(t)}{dt^m} + \beta_{m-1} \frac{d^{m-1} u(t)}{dt^{m-1}} + \dots + \beta_1 \frac{du(t)}{dt} + \beta_0 u(t), \end{aligned} \quad (4.186)$$

unde $u(t)$ și $y(t)$ sunt funcțiile continue de timp asociate mîrimilor de intrare respectiv de ieșire, iar coeficienții α_i ($i = 0, \dots, n-1$) și β_j ($j = 0, \dots, m$) sunt constante cu valori reale. Echivalentul discret al ecuațiilor diferențiale este *ecuația cu diferențe*.

4.6.1 Ecuații liniare cu diferențe

Se reamintește că semnalele discrete sunt descrise, folosind notațiile specifice, ca secvențe temporale de numere de forma $u(kT_e)$ sau $u[k]$ pentru mîrimea de intrare, respectiv $y(kT_e)$ sau $y[k]$ pentru mîrimea de ieșire.

Avînd în vedere evoluția în timp a acestor semnale, valorile $u[k]$ și $y[k]$ se vor numi *e antioane curente* ale mîrimilor respective iar valorile $y[k-i]$ și $u[k-j]$, cu $i = 1, \dots, n$ și $j = 1, \dots, m$, vor fi *e antioane anterioare* ale mîrimilor considerate.

Ecuațiile liniare cu diferențe, scrise în forma recurentă (care se va prezenta ulterior) determină antionul curent al mîrimii de ieșire în funcție de e antioanele anterioare ale mîrimilor de intrare și ieșire.

Ecuațiile cu diferențe se pot introduce în mai multe moduri. Se va ilustra deducerea ecuațiilor cu diferențe pornind de la ecuația diferențială, prin aproximarea succesivă a derivatelor cu diferența de ordinul unu. Aproximarea se face conform schemei care se prezintă în continuare, pentru mîrimea de ieșire:

$$\frac{dy(t)}{dt} \cong \frac{\Delta y_k}{T_e} = \frac{y[k] - y[k-1]}{T_e}, \quad (4.187)$$

$$\frac{d^2 y(t)}{dt^2} = \frac{d}{dt} \left(\frac{dy(t)}{dt} \right) \cong \frac{\frac{\Delta y_k}{T_e} - \frac{\Delta y_{k-1}}{T_e}}{T_e} = \frac{y[k] - 2y[k-1] + y[k-2]}{T_e^2}, \quad (4.188)$$

$$\frac{d^3 y(t)}{dt^3} \cong \frac{y[k] - 3y[k-1] + 3y[k-2] - y[k-3]}{T_e^3}, \quad (4.189)$$

.....

Forma exactă pentru derivata de ordinul n nu este relevantă, deoarece, de obicei, ecuația cu diferențe se calculează în alt mod. Se remarcă faptul că în relațiile scrise mai înainte pentru aproximarea derivatelor s-a folosit notația $y[k] \equiv y(kT_e)$. De asemenea, la deducerea ecuațiilor cu diferențe funcțiile de timp $y(t)$ și $u(t)$ au fost înlocuite cu e antioanele $y[k]$ și $u[k]$, deci:

$$y(t) \cong y[k] \quad \text{și} \quad u(t) \cong u[k]. \quad (4.190)$$

Aplicând, în ecuația diferențială de mai sus, schema de aproximare a derivatelor se obține forma generală a unei ecuații cu diferențe:

$$y[k] + a_1 y[k-1] + \dots + a_n y[k-n] = b_0 u[k] + b_1 u[k-1] + \dots + b_m u[k-m], \quad (4.191)$$

unde $k \in \mathbf{Z}$ sau \mathbf{N} , $n, m \in \mathbf{N}$ și $a_i, b_j \in \mathbf{R}$.

Ordinul maxim al eșantionului anterior care apare în ecuația cu diferențe este determinat de ordinul sistemului n , fiind $k-n$.

Dacă sistemul liniar conține un timp mort pur, multiplu întreg al perioadei de eșantionare, de forma $\tau = \lambda T_e$, cu $\lambda \in \mathbf{N}$, ecuația cu diferențe se va scrie conform relației:

$$y[k] + a_1 y[k-1] + \dots + a_n y[k-n] = b_0 u[k-\lambda] + b_1 u[k-\lambda-1] + \dots + b_m u[k-\lambda-m]. \quad (4.192)$$

O formă particulară a ecuației cu diferențe (4.192) care permite calculul recurent al eșantionului curent al măririi de ieșire, în funcție de eșantioanele anterioare ale intrării i , este exprimată conform relației:

$$y[k] = -a_1 y[k-1] + \dots - a_n y[k-n] + b_0 u[k] + b_1 u[k-1] + \dots + b_m u[k-m], \lambda = 0, \quad (4.193)$$

Sistemele discrete care au toți coeficienții $a_i, i=1, \dots, n$ egali cu zero se numesc *sisteme cu răspuns finit la impuls* (**F**inite **I**mpulse **R**esponse – FIR).

Dacă cel puțin un coeficient a_i este diferit de zero sistemul discret se numește *auto-regresiv* sau, în mod alternativ, *sistem cu răspuns infinit la impuls* (**I**nfinite **I**mpulse **R**esponse – IIR).

În legătură cu modul în care s-a dedus mai înainte ecuația cu diferențe se poate remarca faptul că rezultatul obținut este aproximativ, fapt reflectat în valorile coeficienților care vor fi diferite de valorile exacte care se obțin când se folosește transformata Z . Aspectele de principiu sunt însă valabile și în acest caz.

Exemplul 25

Să se determine ecuația cu diferențe pentru sistemul de ordinul întâi cu funcția de transfer:

$$G(s) = \frac{K}{sT + 1}.$$

Având în vedere relația de definiție a funcției de transfer, rezultă într-o primă etapă:

$$Y(s) = \frac{K}{sT + 1} U(s),$$

respectiv:

$$sTY(s) + Y(s) = U(s).$$

Ecuația diferențială se obține prin aplicarea transformatei Laplace inverse, folosind proprietatea de derivare a transformatei Laplace, în condiții inițiale nule, pentru mărimea de ieșire $Y(s)$:

$$T \frac{dy(t)}{dt} + y(t) = Ku(t).$$

Aproximând derivata cu diferen a de ordinul unu se ob ine succesiv:

$$T \frac{y[k] - y[k-1]}{T_e} + y[k] = Ku[k], \quad (4.194)$$

$$y[k](1 + \frac{T}{T_e}) - \frac{T}{T_e} y[k-1] = Ku[k], \quad (4.195)$$

$$y[k] - \frac{T}{T_e + T} y[k-1] = \frac{KT_e}{T_e + T} u[k], \quad (4.196)$$

respectiv:

$$y[k] + a_1 y[k-1] = b_0 u[k], \quad (4.197)$$

$$\text{unde } a_1 = -\frac{T}{T_e + T} \quad \text{ i } \quad b_0 = \frac{KT_e}{T_e + T}.$$

Exemplul 26

S se determine ecua ia cu diferen e pentru elementul integrator cu func ia de transfer:

$$G(s) = \frac{1}{s}.$$

Ecua ia integro-diferen ial a elementului integrator este:

$$y(t) = \int_0^t u(\tau) d\tau,$$

sau, în mod echivalent:

$$\frac{dy(t)}{dt} = u(t).$$

Aproximând derivata cu diferen a de ordinul unu se ob ine:

$$\frac{y[k] - y[k-1]}{T_e} = u[k], \quad (4.198)$$

sau:

$$y[k] - y[k-1] = T_e u[k]; \quad (4.199)$$

deci ecua ia cu diferen e va fi:

$$y[k] + a_1 y[k-1] = b_0 u[k], \quad (4.200)$$

cu $a_1 = -1$ i $b_0 = T_e$.

Se poate remarca faptul c forma recurent a ecua iei cu diferen e:

$$y[k] = y[k-1] + T_e u[k], \quad (4.201)$$

este identic cu relația de calcul numeric a integralei cu metoda aproximativ Euler a dreptunghiului înapoi respectiv cu latura din spate pe curbă - (*Backward Rectangular Rule*), prezentat în figura 4.30a.

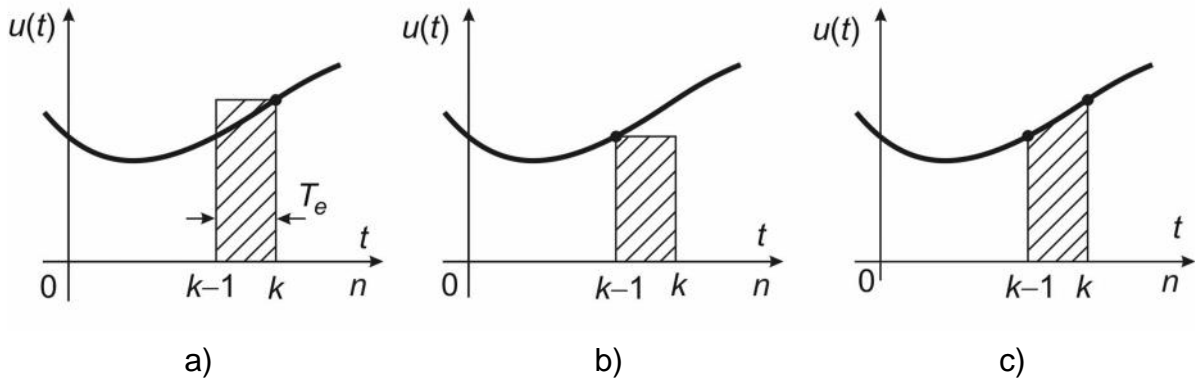


Fig. 4.30

Integrarea numerică aproximativă se poate face, în mod alternativ și cu metodele prezentate grafic în figurile 4.30b și 4.30c.

Integrarea prezentată în figura 4.30b corespunde metodei Euler a dreptunghiului înainte respectiv cu latura din față pe curbă - (*Forward Rectangular Rule*), care evaluează numeric integrala cu forma recurentă a ecuației cu diferențe conform relației:

$$y[k] = y[k-1] + T_e u[k-1]. \quad (4.202)$$

Această formă a ecuației cu diferențe se obține dacă la aproximarea cu diferențe de ordinul unu a ecuației diferențiale, valoarea $u(t)$ se înlocuiește cu valoarea din momentul $(k-1)T_e$, deci $u(t) \cong u[k-1]$.

În figura 4.30c se prezintă metoda de integrare a trapezului (*Trapezoid Rule*) exprimat prin formă recurentă a ecuației cu diferențe:

$$y[k] = y[k-1] + \frac{T_e}{2} (u[k] - u[k-1]). \quad (4.203)$$

4.6.2 Operatorul de întârziere cu un pas. Funcții de transfer operaționale

Un alt tip de model pentru sistemele discrete se poate introduce, pornind de la ecuația cu diferențe, pe baza operatorului de întârziere cu un pas q^{-1} , care este definit cu relații de forma:

$$q^{-1}y[k] = y[k-1], \text{ respectiv } q^{-1}u[k] = u[k-1]. \quad (4.204)$$

Aplicând în mod repetat operatorul de întârziere cu un pas se obțin expresiile formale următoare:

$$y[k-j] = q^{-j}y[k], \text{ respectiv } u[k-j] = q^{-j}u[k]. \quad (4.205)$$

Înlocuind aceste expresii în ecuația cu diferențe (4.191) se obține relația algebrică:

$$(1 + a_1 q^{-1} + \dots + a_n q^{-n})y[k] = q^{-\lambda}(b_0 + b_1 q^{-1} + \dots + b_m q^{-m})u[k], \quad (4.206)$$

de unde, cu nota iile:

$$A(q) \equiv A(q^{-1}) = 1 + a_1 q^{-1} + \dots + a_n q^{-n}, \quad (4.207)$$

$$B(q) \equiv B(q^{-1}) = q^{-\lambda} (b_0 + b_1 q^{-1} + \dots + b_m q^{-m}), \quad (4.208)$$

se obține modelul operațional:

$$y[k] = \frac{B(q)}{A(q)} u[k] = G(q) u[k]. \quad (4.209)$$

Funcția rațională de argument q :

$$G(q) = \frac{B(q)}{A(q)} = \frac{q^{-\lambda} (b_0 + b_1 q^{-1} + \dots + b_m q^{-m})}{1 + a_1 q^{-1} + \dots + a_n q^{-n}}, \quad (4.210)$$

se numește *funcție de transfer operațional*. Se remarcă faptul că argumentul q care apare în această funcție de transfer nu are caracterul unei variabile complexe fiind doar o notație formală care acționează conform definiției din relațiile (4.204).

Exemplul 27

Să se determine funcția de transfer operațional pentru elementul de ordinul unu.

Rezolvare

Ecuația cu diferențe pentru elementul de ordinul unu este (v. rel. (4.197)):

$$y[k] + a_1 y[k-1] = b_0 u[k].$$

Folosind operatorul de întârziere cu un pas:

$$y[t-1] = q^{-1} y[k],$$

în această ecuație, se obține:

$$(1 + a_1 q^{-1}) y[k] = b_0 u[k], \quad (4.211)$$

de unde rezultă într-o prim etapă:

$$y[k] = \frac{b_0}{1 + a_1 q^{-1}} u[k], \quad (4.212)$$

deci funcția de transfer operațional este:

$$G(q) = \frac{b_0}{1 + a_1 q^{-1}}. \quad (4.213)$$

4.6.3 Funcții de transfer z

Modelul cel mai des folosit în cazul sistemelor discrete, echivalentul funcției de transfer s de la sistemele continue, este funcția de transfer z .

Funcția de transfer z se determină considerând procesul discretizat cu schema funcțională din figura 4.31.

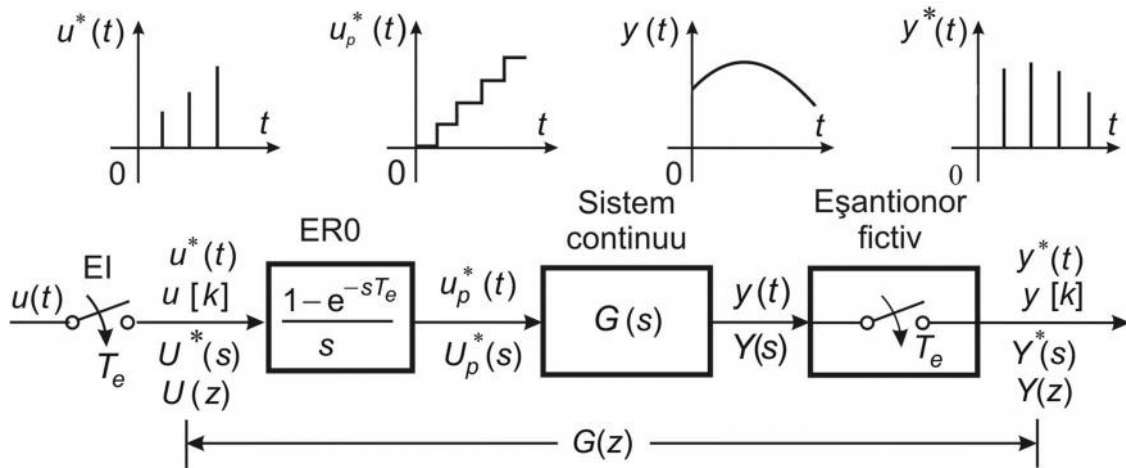


Fig. 4.31

În figură se prezintă, de asemenea, formele tipice de variație ale semnalelor asociate elementelor funcționale din schemă.

Se remarcă faptul că la definirea unei funcții de transfer z este esențialmente necesar ca mărimea de intrare și ieșire să fie eșantionate. De regulă, semnalul de intrare este eșantionat, dar nu același lucru se întâmplă cu semnalul de ieșire. În cazul acesta la ieșire se introduce un eșantionator fictiv. Desigur că se presupune, de asemenea, că eșantioanele ideale de la intrare și ieșire sunt sincronizate și evident au aceleași perioade de eșantionare.

4.6.3.1 Calculul analitic exact al funcțiilor de transfer z

Ca o regulă generală la deducerea funcțiilor de transfer z , pe baza unor scheme-bloc, în prima etapă se scrie relația dintre transformata Laplace eșantionată a ieșirii, $Y^*(s)$ și cea a intrării, $U^*(s)$. Pentru schema din figura 4.31 vom avea succesiv:

$$Y(s) = \frac{1 - e^{-sT_e}}{s} G(s) U^*(s),$$

$$Y^*(s) = \left[\frac{1 - e^{-sT_e}}{s} G(s) \right]^* U^*(s). \quad (4.214)$$

În continuare se aplică, conform definiției (v. rel. (4.49)), transformata Z relației de mai sus și astfel se obține:

$$Y(z) = Z \left\{ \frac{1 - e^{-sT_e}}{s} G(s) \right\} U(z), \quad (4.215)$$

de unde, având în vedere că $e^{sT_e} = z$, rezultă :

$$Y(z) = (1 - z^{-1}) \mathcal{Z} \left\{ \frac{G(s)}{s} \right\} U(z). \quad (4.216)$$

În final se obține relația de calcul exact a funcției de transfer z , pentru un sistem continuu cu funcția de transfer $G(s)$ precedat de un element de reținere de ordinul zero:

$$G(z) = \frac{Y(z)}{U(z)} = (1 - z^{-1}) \mathcal{Z} \left\{ \frac{G(s)}{s} \right\}. \quad (4.217)$$

Observații.

a) Transformata $\mathcal{Z} \left\{ \frac{G(s)}{s} \right\}$ trebuie interpretată conform relației:

$$\mathcal{Z} \left\{ \frac{G(s)}{s} \right\} \equiv \mathcal{Z} \left\{ \mathcal{L}^{-1} \left\{ \frac{G(s)}{s} \right\} \right\}. \quad (4.218)$$

b) Există situații în care elementul de reținere de ordinul zero care precede elementul continuu de sistem, lipsește. În acest caz vom avea:

$$G(z) = \mathcal{Z}\{G(s)\}. \quad (4.219)$$

Se menționează totuși că astfel de situații apar rar, mai ales când elementele de sistem sunt conectate în serie, paralel sau cu reacție.

Funcția de transfer z se poate deduce (metoda este folosită mai rar) din ecuația cu diferențe. Având în vedere teorema de deplasare în timp, dacă se aplică transformata Z ecuației cu diferențe (4.187), se obține:

$$(1 + a_1 z^{-1} + \dots + a_n z^{-n}) Y(z) = z^{-\lambda} (b_0 + b_1 z^{-1} + \dots + b_m z^{-m}) U(z), \quad (4.220)$$

de unde rezultă :

$$G(z) = \frac{Y(z)}{U(z)} = \frac{z^{-\lambda} (b_0 + b_1 z^{-1} + \dots + b_m z^{-m})}{1 + a_1 z^{-1} + \dots + a_n z^{-n}}. \quad (4.221)$$

Comparând funcția de transfer de mai sus (v. rel. (4.217)) cu funcția de transfer operațional (v. rel. (4.210)), se observă că acestea sunt formal asemenea. Prin urmare, funcția de transfer operațional se poate obține din funcția de transfer z , făcând înlocuirea lui z cu q . Invers, funcția de transfer z se poate deduce foarte simplu din funcția de transfer operațional, înlocuind q cu z .

Exemplul 28

Să se determine funcția de transfer z exact pentru ansamblul format dintr-un element integrator și un element de reținere de ordinul zero.

Elementul integrator are funcția de transfer:

$$G(s) = \frac{1}{sT_i}.$$

Aplicând relația de definiție a transformatei Z rezultă :

$$G(z) = (1 - z^{-1}) \mathcal{Z} \left\{ \frac{1}{s^2 T_i} \right\} = \frac{1}{T_i} \frac{z-1}{z} \frac{z T_e}{(z-1)^2} = \frac{T_e}{T_i} \frac{1}{z-1}, \quad (4.222)$$

respectiv:

$$G(z^{-1}) = \frac{T_e}{T_i} \frac{z^{-1}}{1 - z^{-1}}. \quad (4.223)$$

Exemplul 29

S se deduc func ia de transfer z exact pentru ansamblul format din elementul de ordinul unu i elementul de re inere de ordin zero.

Se porne te de la func ia de transfer standard a elementului de ordinul unu:

$$G(s) = \frac{K}{sT + 1} = \frac{K\sigma}{s + \sigma}.$$

Se observ c polul continuu al sistemului este $-p_c = -\sigma$. Pentru deducerea func ia de transfer z se aplic defini ia. Se ob ine:

$$G(z) = (1 - z^{-1}) \mathcal{Z} \left\{ \frac{K\sigma}{s(s + \sigma)} \right\}. \quad (4.224)$$

Pentru a se calcula transformata Z se efectueaz mai întâi descompunerea în frac ii simple a func iei din parantez , care este:

$$\frac{K\sigma}{s(s + \sigma)} = \frac{c_1}{s} + \frac{c_2}{s + \sigma}, \quad (4.225)$$

cu coeficien ii:

$$c_1 = \left. \frac{K\sigma}{s + \sigma} \right|_{s=0} = K, \quad c_2 = \left. \frac{K\sigma}{s} \right|_{s=-\sigma} = -K, \quad (4.226)$$

deci:

$$\frac{K\sigma}{s(s + \sigma)} = \frac{K}{s} - \frac{K}{s + \sigma}. \quad (4.227)$$

În continuare vom avea:

$$G(z) = (1 - z^{-1}) K \left[\frac{z}{z-1} - \frac{z}{z - e^{-\sigma T_e}} \right] = K \frac{z-1}{z} \frac{z(z - e^{-\sigma T_e} - z + 1)}{(z-1)(z - e^{-\sigma T_e})}, \quad (4.228)$$

de unde, în final, se ob ine transformata Z exact a elementului de ordinul unu cu element de re inere de ordinul zero:

$$G(z) = K \frac{1 - e^{-\sigma T_e}}{z - e^{-\sigma T_e}}. \quad (4.229)$$

Exemplul 30

Se determină funcția de transfer exact pentru ansamblul format din sistemul de ordinul doi cu poli reali și elementul de reținer de ordinul zero.

Se presupune că sistemul continuu are funcția de transfer:

$$G(s) = \frac{Kp_1p_2}{(s+p_1)(s+p_2)}. \quad (4.230)$$

Funcția de transfer Z pentru ansamblul menționat se determină cu ajutorul relației de definiție:

$$G(z) = (1-z^{-1})Z\left\{\frac{Kp_1p_2}{s(s+p_1)(s+p_2)}\right\}. \quad (4.231)$$

Pentru evaluarea transformatei Z , se va folosi dezvoltarea în fracții simple:

$$\frac{Kp_1p_2}{s(s+p_1)(s+p_2)} = \frac{c_1}{s} + \frac{c_2}{s+p_1} + \frac{c_3}{s+p_2}, \quad (4.232)$$

unde:

$$\begin{aligned} c_1 &= \left. \frac{Kp_1p_2}{(s+p_1)(s+p_2)} \right|_{s=0} = K, \\ c_2 &= \left. \frac{Kp_1p_2}{s(s+p_2)} \right|_{s=-p_1} = K \frac{p_2}{p_1-p_2}, \\ c_3 &= \left. \frac{Kp_1p_2}{s(s+p_1)} \right|_{s=-p_2} = -K \frac{p_1}{p_1-p_2}. \end{aligned} \quad (4.233)$$

Înlocuind coeficienții în dezvoltarea în fracții simple în relația (4.231) se obține succesiv:

$$\begin{aligned} G(z) &= K \frac{z-1}{z} Z\left\{\frac{1}{s} + \frac{p_2}{p_1-p_2} \frac{1}{s+p_1} - \frac{p_1}{p_1+p_2} \frac{1}{s+p_2}\right\} = \\ &= K \frac{z-1}{z} \left[\frac{z}{z-1} + \frac{1}{p_1-p_2} \left(\frac{p_2 z}{z-e^{-p_1 T_e}} - \frac{p_1 z}{z-e^{-p_2 T_e}} \right) \right] = \\ &= \frac{b_1 z + b_0}{(z-e^{-p_1 T_e})(z-e^{-p_2 T_e})} = \frac{b_1 z + b_0}{(z-p_{d1})(z-p_{d2})} = \frac{b_1 z + b_0}{z^2 + a_1 z + a_0}, \end{aligned} \quad (4.234)$$

unde:

$$\begin{aligned} b_1 &= K[1 - e^{-p_1 T_e} - e^{-p_2 T_e} + \frac{p_1 e^{-p_1 T_e} - p_2 e^{-p_2 T_e}}{p_1 - p_2}], \\ b_0 &= K[e^{-(p_1+p_2)T_e} - \frac{p_1 e^{-p_1 T_e} - p_2 e^{-p_2 T_e}}{p_1 - p_2}], \end{aligned}$$

$$a_1 = -(e^{-\rho_1 T_e} + e^{-\rho_2 T_e}), \quad a_0 = e^{-(\rho_1 + \rho_2) T_e}. \quad (4.235)$$

Analizând rezultatele din exemplele prezentate, se remarcă faptul că funcțiile de transfer z obținute au poli discreți corelați cu poli elementului continuu conform relației:

$$\rho_{di} = e^{-\rho_{ci} T_e}. \quad (4.236)$$

Această corelație se menține oricare ar fi ordinul sistemului, respectiv numărul de poli ai sistemului continuu.

Tabelul 4.4 prezintă transformata Z exact pentru elementele uzuale de sistem cu element de reținere de ordinul zero.

Tabelul 4.4

$G(s)$	$G(z)$
$\frac{1}{sT_i}$	$\frac{b_0}{z-1} = \frac{b_0 z^{-1}}{1-z^{-1}}, \quad b_0 = \frac{T_e}{T_i}$
$\frac{K}{sT+1} = \frac{K\sigma}{s+\sigma}, \quad \sigma = \frac{1}{T_e}$	$\frac{b_0}{z+a_0} = \frac{b_0 z^{-1}}{1+a_0 z^{-1}}, \quad b_0 = K(1-e^{-\sigma T_e}), \quad a_0 = -e^{-\sigma T_e}$
$\frac{K\rho_1\rho_2}{(s+\rho_1)(s+\rho_2)}$	$\frac{b_1 z + b_0}{z^2 + a_1 z + a_0} = \frac{b_1 z^{-1} + b_0 z^{-2}}{1 + a_1 z^{-1} + a_0 z^{-2}},$ $a_1 = -(e^{-\rho_1 T_e} + e^{-\rho_2 T_e}), \quad a_0 = e^{-(\rho_1 + \rho_2) T_e},$ $b_1 = 1 - (e^{-\rho_1 T_e} + e^{-\rho_2 T_e}) + \frac{\rho_1 e^{-\rho_1 T_e} - \rho_2 e^{-\rho_2 T_e}}{\rho_1 - \rho_2},$ $b_0 = e^{-(\rho_1 + \rho_2) T_e} + \frac{\rho_1 e^{-\rho_1 T_e} - \rho_2 e^{-\rho_2 T_e}}{\rho_1 - \rho_2}.$
$\frac{K\omega_n^2}{s^2 + 2\zeta\omega_n s + \omega_n^2}, \quad 0 \leq \zeta < 1$	$\frac{b_1 z + b_0}{z^2 + a_1 z + a_0} = \frac{b_1 z^{-1} + b_0 z^{-2}}{1 + a_1 z^{-1} + a_0 z^{-2}},$ $A = e^{-\zeta\omega_n T_e}, \quad B = \cos(\omega_n T_e \sqrt{1-\zeta^2}),$ $C = \sin(\omega_n T_e \sqrt{1-\zeta^2}), \quad a_1 = -2AB, \quad a_2 = A^2,$ $b_1 = K[1 - A(B + C\zeta/\sqrt{1-\zeta^2})],$ $b_0 = K[A^2 - A(B + C\zeta/\sqrt{1-\zeta^2})].$

Exemplul 31

Să se determine, pe baza ecuațiilor cu diferențe a metodelor numerice de integrare, Euler și trapezului, funcțiile de transfer z pentru elementul integrator.

Ecuațiile recurente cu diferențe care modelează elementul integrator, respectiv operația de integrare numerică sunt:

– pentru metoda Euler a dreptunghiului (înapoi) cu latura din spate pe curbă (backward rectangular rule) MDS:

$$y[k] = y[k-1] + T_e u[k], \quad (4.237)$$

– pentru metoda Euler a dreptunghiului (înainte) cu latura din fa pe curb (forward rectangular rule) MDF:

$$y[k] = y[k-1] + T_e u[k-1], \quad (4.238)$$

– pentru metoda trapezului (trapezoid rule) MT:

$$y[k] = y[k-1] + \frac{T_e}{2} (u[k] + u[k-1]). \quad (4.239)$$

Aplicând în continuare definiția transformatei Z și teorema de deplasare în timp, relațiilor (4.233)÷(4.235) se obțin următoarele expresii:

$$(1 - z^{-1})Y(z) = T_e U(z), \quad (4.240)$$

$$(1 - z^{-1})Y(z) = T_e z^{-1} U(z), \quad (4.241)$$

$$(1 - z^{-1})Y(z) = \frac{T_e}{z} (1 + z^{-1}) U(z), \quad (4.242)$$

de unde rezultă funcțiile de transfer z :

$$G(z) = \frac{Y(z)}{U(z)} = \frac{T_e}{1 - z^{-1}} = \frac{z T_e}{z - 1}, \quad (4.243)$$

$$G(z) = \frac{Y(z)}{U(z)} = \frac{T_e z^{-1}}{1 - z^{-1}} = \frac{T_e}{z - 1}, \quad (4.244)$$

$$G(z) = \frac{Y(z)}{U(z)} = \frac{T_e}{2} \frac{1 + z^{-1}}{1 - z^{-1}} = \frac{T_e}{2} \frac{z + 1}{z - 1}. \quad (4.245)$$

4.6.3.2 Calculul analitic aproximativ al funcțiilor de transfer z

În literatură se prezintă diverse modalități de calcul analitic aproximativ al funcțiilor de transfer z . În cele ce urmează se vor prezenta două metode.

A) Calculul analitic aproximativ bazat pe substituții algebrice de tipul $s = f(z)$

Prima metodă se bazează pe unele substituții algebrice, prin care se înlocuiesc variabila complexă s cu o anumită funcție de variabilă z . Relațiile de schimbare a variabilei s se introduc pornind de la metodele de integrare prezentate în secțiunea 4.6.1 și în exemplul anterior. Având în vedere că funcția de transfer a unui integrator analogic este $1/s$ și funcțiile de transfer z ale integratoarelor numerice prezentate mai înainte, rezultă următoarele relații de schimbare a variabilei s :

$$s \rightarrow \frac{z-1}{z T_e} = \frac{1-z^{-1}}{T_e}, \quad (4.246)$$

$$s \rightarrow \frac{z-1}{T_e} = \frac{1-z^{-1}}{z^{-1} T_e}, \quad (4.247)$$

$$s \rightarrow \frac{2}{T_e} \frac{z-1}{z+1} = \frac{2}{T_e} \frac{1-z^{-1}}{1+z^{-1}}. \quad (4.248)$$

Funcțiile de transfer z se calculează cu relațiile:

$$G_{\text{MDS}}(z) = G(s) \Big|_{s=\frac{z-1}{zT_e}}, \quad (4.249)$$

$$G_{\text{MDF}}(z) = G(s) \Big|_{s=\frac{z-1}{T_e}}, \quad (4.250)$$

$$G_{\text{MT}}(z) = G(s) \Big|_{s=\frac{2}{T_e} \frac{z-1}{z+1}}. \quad (4.251)$$

Se remarcă faptul că substituțiile se fac în funcția de transfer a elementului continuu de sistem $G(s)$, dar procesul discretizat care este astfel modelat conține totuși elementul de reținere de ordin zero. Substituția bazată pe metoda de integrare a trapezului este cunoscută în literatură sub denumirea de *transformat Z biliniară* sau *metoda Tustin*.

Precizia modelelor obținute prin substituții algebrice este puternic influențată de valoarea adoptată a perioadei de eantionare.

Exemplul 32

Pentru sistemul de ordinul doi cu funcția de transfer standard

$$G(s) = \frac{\omega_n^2}{s^2 + 2\zeta\omega_n s + \omega_n^2},$$

având $\omega_n = 10 \text{ rads}^{-1}$ și $\zeta = 0,5$,

să se determine modelele discrete aproximative care rezultă cu metodele de integrare numerică a dreptunghiului înapoi (în spate), a dreptunghiului înainte (în față), și a trapezului și apoi să se analizeze comparativ în MATLAB precizia modelelor astfel obținute.

Se adoptă $T_e = (1/\omega_n)/5 = 0,02 \text{ s}$.

Rezolvare

Se determină funcțiile de transfer z

$$\begin{aligned} \text{a) } G_{\text{MDS}}(s) = G(s) \Big|_{s=\frac{z-1}{zT_e}} &= \frac{\omega_n^2}{\left(\frac{z-1}{zT_e}\right)^2 + 2\zeta\omega_n\left(\frac{z-1}{zT_e}\right) + \omega_n^2} = \\ &= \frac{\omega_n^2 T_e^2 z^2}{z^2(1 + 2\zeta\omega_n T_e + \omega_n^2 T_e^2) - z(2 + 2\zeta\omega_n T_e) + 1} = \frac{b_2 z^2}{z^2 + a_1 z + a_0}, \end{aligned}$$

unde

$$b_2 = \omega_n^2 T_e^2 / A, \quad a_1 = -2(1 + \zeta\omega_n T_e) / A, \quad a_0 = 1 / A, \quad A = 1 + 2\zeta\omega_n T_e + \omega_n^2 T_e^2.$$

$$\begin{aligned}
 \text{b) } G_{\text{MDF}}(s) = G(s) \Big|_{s=\frac{z-1}{T_e}} &= \frac{\omega_n^2}{\left(\frac{z-1}{T_e}\right)^2 + 2\zeta\omega_n\left(\frac{z-1}{T_e}\right) + \omega_n^2} = \\
 &= \frac{\omega_n^2 T_e^2}{z^2 + 2(\zeta\omega_n T_e - 1)z + 1 - 2\zeta\omega_n T_e + \omega_n^2 T_e^2} = \frac{b_0}{z^2 + a_1 z + a_0},
 \end{aligned}$$

unde

$$b_0 = \omega_n^2 T_e^2, \quad a_1 = 2(\zeta\omega_n T_e - 1), \quad a_0 = 1 - 2\zeta\omega_n T_e + \omega_n^2 T_e^2.$$

$$\begin{aligned}
 \text{c) } G_{\text{MT}}(s) = G(s) \Big|_{s=\frac{2}{T_e} \frac{z-1}{z+1}} &= \frac{\omega_n^2}{\frac{(z-1)^2}{\frac{T_e^2}{4}(z+1)^2} + 2\zeta\omega_n \frac{z-1}{\frac{T_e}{2}(z+1)} + \omega_n^2} = \\
 &= \frac{\omega_n^2 \frac{T_e^2}{4} (z+1)^2}{(z-1)^2 - 2\zeta\omega_n (z-1)(z+1) \frac{T_e}{2} + \omega_n^2 \frac{T_e^2}{4} (z+1)^2}, \\
 G_{\text{MT}}(z) &= \frac{\omega_n^2 T_e^2 (z^2 + 2z + 1) / 4}{z^2 (1 + \zeta\omega_n T_e + \omega_n^2 T_e^2 / 4) + z(\omega_n^2 T_e^2 / 2 - 2) + 1 - 2\zeta\omega_n T_e + \omega_n^2 T_e^2 / 4}, \\
 G_{\text{MT}}(z) &= \frac{b_2 z^2 + b_1 z + b_0}{z^2 + a_1 z + a_0},
 \end{aligned}$$

unde

$$b_2 = \omega_n^2 T_e^2 / 4A, \quad b_1 = \omega_n^2 T_e^2 / 2A, \quad b_0 = \omega_n^2 T_e^2 / 4A,$$

$$a_1 = (\omega_n^2 T_e^2 / 2 - 2) / A, \quad a_0 = (1 - 2\zeta\omega_n T_e + \omega_n^2 T_e^2 / 4) / A, \quad A = 1 + 2\zeta\omega_n T_e + \omega_n^2 T_e^2 / 4.$$

Modelele discretizate sunt evaluate comparativ din punctul de vedere al preciziei folosind programul MATLAB prezentat în continuare.

```

om=10;zita=0.5;
num=om^2;%se introduce numaratorul functiei de transfer G(s)
den=[1 2*zita*om om^2]; %se introduce numitorul functiei de transfer G(s)
Te=1/om/5;
sysc=tf(num,den); %se creaza obiectul cu functia de transfer G(s)
sysd0=c2d(sysc,Te,'zoh'); %se creaza obiectul cu functia de transfer GEx(z) exacta
A1=1+2*zita*om*Te+om^2*Te^2;
numd1=[om^2*Te^2/A1 0 0];
dend1=[1 -2*(1+zita*om*Te)/A1 1/A1];
sysd1=tf(numd1,dend1,Te); %se creaza obiectul cu functia de transfer GMDS(z) obtinuta
%cu metoda Euler a dreptunghiului inapoi
numd2=om^2*Te^2;
dend2=[1 2*(zita*om*Te-1) 1-2*zita*om*Te+om^2*Te^2];

```

```

sysd2=tf(numd2,dend2,Te); %se creaza obiectul cu functia de transfer  $G_{MDF}(z)$  obtinuta
%cu metoda Euler a dreptunghiului inainte
A3=1+zita*om*Te+om^2*Te^2/4;
numd3=[om^2*Te^2/4/A3 om^2*Te^2/2/A3 om^2*Te^2/4/A3];
dend3=[1 (om^2*Te^2/2-2)/A3 (1-zita*om*Te+om^2*Te^2/4)/A3]
sysd3=tf(numd3,dend3,Te); %se creaza obiectul cu functia de transfer  $G_{MT}(z)$  obtinuta
%cu metoda trapezului
step (sysc,sysd0,sysd1)% se traseaza raspunsul la treapta pentru sistemele continuu,
%discret cu functia de transfer  $G_{Ex}(z)$  si discret cu functia de transfer  $G_{MDS}(z)$ 
pause
step (sysc,sysd0,sysd2) )% se traseaza raspunsul la treapta pentru sistemele continuu,
%discret cu functia de transfer  $G_{Ex}(z)$  si discret cu functia de transfer  $G_{MDF}(z)$ 
pause
step (sysc,sysd0,sysd3) )% se traseaza raspunsul la treapta pentru sistemele continuu,
%discret cu functia de transfer  $G_{Ex}(z)$  si discret cu functia de transfer  $G_{MT}(z)$ 

```

După rularea programului se obțin următoarele funcții de transfer:

$$G(s) = \frac{100}{s^2 + 10s + 100}, \text{ pentru sistemul continuu,}$$

$$G_{Ex}(z) = \frac{0,01867z + 0,0176}{z^2 - 1,783z + 0,8187}, \text{ pentru sistemul discret modelat exact cu relațiile}$$

prezentate în Tabelul 4.4 rândul 4,

$$G_{MDS}(z) = \frac{0,03226}{z^2 - 1,774z + 0,8065}, \text{ pentru sistemul discret modelat aproximativ cu metoda}$$

dreptunghiului înapoi,

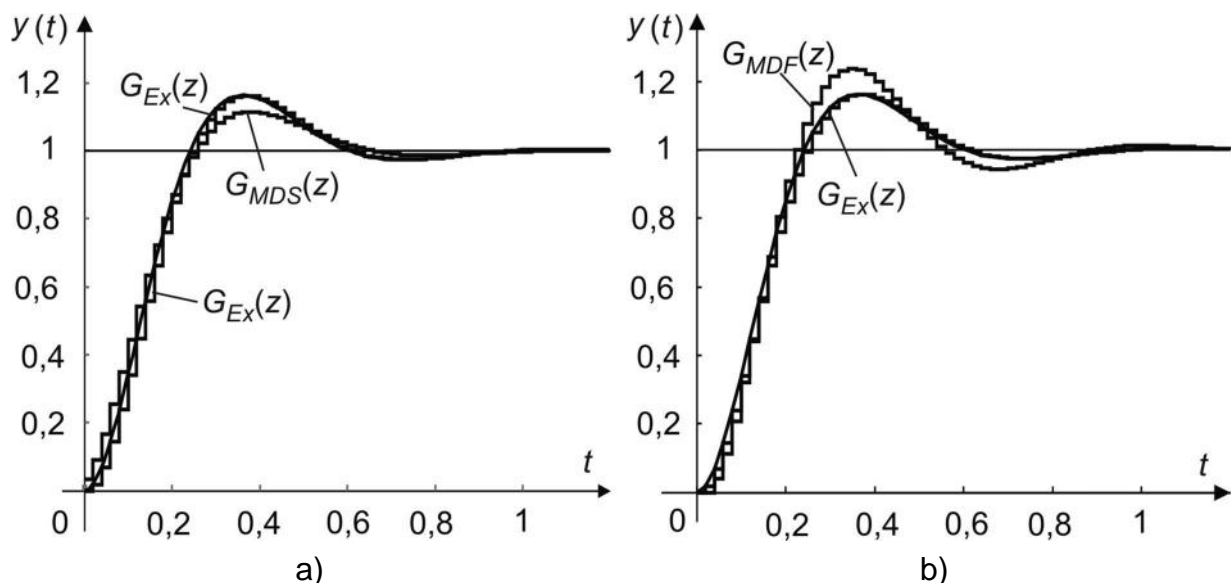
$$G_{MDF}(z) = \frac{0,04}{z^2 - 1,8z + 0,84}, \text{ pentru sistemul discret modelat aproximativ cu metoda}$$

dreptunghiului înainte,

$$G_{MT}(z) = \frac{0,009009z^2 - 0,01802z + 0,009009}{z^2 - 1,78z + 0,8198}, \text{ pentru sistemul discret modelat}$$

aproximativ cu metoda trapezului.

Curbele răspunsurilor la intrare treaptă unitară sunt prezentate în fig. 4.32 a,b,c.



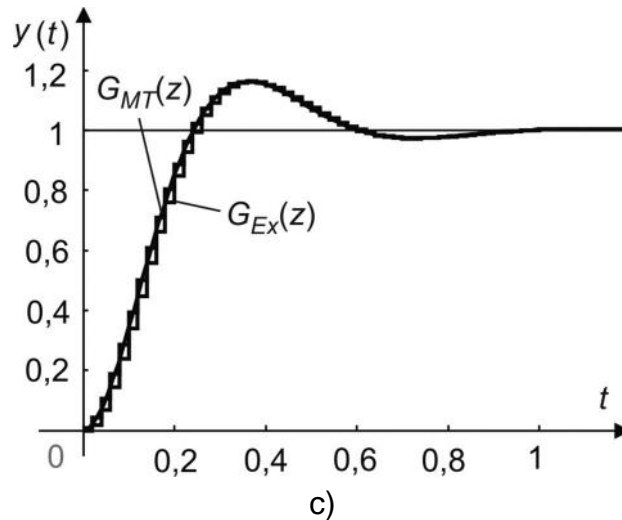


Fig. 4.32

B) Calculul analitic aproximativ cu metoda transformatei z care conservă repartiția poli-zerouri a sistemului continuu

O altă modalitate de calcul aproximativ a transformatei Z este metoda transformatei Z care conservă repartiția poli-zerouri a sistemului continuu (*Pole-zero Matched Z Transform*). La transformata Z exactă s-a remarcat faptul că polii p_d ai funcției de transfer $G(z)$ sunt corelați cu polii sistemului continuu, $-p_c$, conform relației (4.232):

$$p_d = e^{-p_c T_e}.$$

Transformata Z cu conservarea repartiției poli-zerouri a sistemului continuu presupune o relație similară există pentru zerourile finite. Dacă $n > m$, unde n este gradul polinomului de la numitorul lui $G(s)$ iar m este gradul polinomului de la numărător, atunci funcția de transfer $G(z)$ se completează cu $(n-m)$ factori $(z+1)$ la numărător. Factorul de amplificare K_d al funcției de transfer discrete se determină, folosind comportarea în regim staționar a sistemului continuu respectiv discret, cu relația:

$$\lim_{s \rightarrow 0} \{ (s)^\alpha G(s) \} = \lim_{z \rightarrow 1} \left\{ \left(\frac{z-1}{zT_e} \right)^\alpha G(z) \right\}, \quad (4.252)$$

unde $\alpha = 0$ sau 1 , este tipul sistemului determinat de $G(s)$, respectiv de ordinul integratorului care apare în funcția de transfer a sistemului continuu.

Rezumând, pașii de calcul ai transformatei Z matched sunt:

Pasul 1 Se transformă polii și zerourile finite conform relației $p_d = e^{-p_c T_e}$, $z_d = e^{-z_c T_e}$;

Pasul 2 (opțional) Dacă numărătorul funcției de transfer $G(s)$ are gradul mai mic decât cel al numitorului, în funcția de transfer $G(z)$ se adaugă la numărător factori de forma $(z+1)$;

Pasul 3 Se calculează factorul de amplificare K_d , cu relația (4.252).

Exemplul 33

Se dă sistemul continuu cu funcția de transfer

$$G(s) = K_c \frac{s+a}{s+b}, \text{ cu } a=1, b=10, K_c=10.$$

S se determine transformata Z matched.

Rezolvare

Pasul 1 Având în vedere transformarea din s în z a polului și zeroului într-o primă etapă vom avea

$$G(z) = K_d \frac{z - e^{-aT_e}}{z - e^{-bT_e}}.$$

Pasul 2 nu este necesar în acest caz.

Pasul 3 Se calculează factorul de amplificarea al funcției de transfer $G(z)$ folosind relațiile succesive ($\alpha = 0$):

$$\lim_{s \rightarrow 0} \{G(s)\} = \lim_{z \rightarrow 1} \{G(z)\}, \quad \lim_{s \rightarrow 0} \left\{ K_c \frac{s+a}{s+b} \right\} = \lim_{z \rightarrow 1} \left\{ K_d \frac{z - e^{-aT_e}}{z - e^{-bT_e}} \right\},$$

$$K_c \frac{a}{b} = K_d \frac{1 - e^{-aT_e}}{1 - e^{-bT_e}}, \quad K_d = K_c \frac{a}{b} \frac{1 - e^{-bT_e}}{1 - e^{-aT_e}}.$$

În final se obține funcția de transfer z matched cu expresia literală

$$G_{Ma}(z) = K_c \frac{a}{b} \frac{1 - e^{-bT_e}}{1 - e^{-aT_e}} \frac{z - e^{-aT_e}}{z - e^{-bT_e}}.$$

Un program MATLAB simplu care folosește datele numerice din enunț și perioada de eantionare $T_e = (1/b)/2 = T_{\min}/2 = 0,033$ s furnizează funcția de transfer z exact

$$G_{Ex}(z) = 10 \frac{z - 0,9607}{z - 0,6065},$$

respectiv funcția de transfer z matched

$$G_{Ma}(z) = 8,068 \frac{z - 0,9524}{z - 0,6065}.$$

Curbele răspunsurilor la mărime de intrare treaptă unitară a sistemelor discrete modelate cu funcția de transfer exact, $G_{Ex}(z)$ și funcția de transfer z matched, $G_{Ma}(z)$ sunt prezentate comparativ în fig. 4.33.

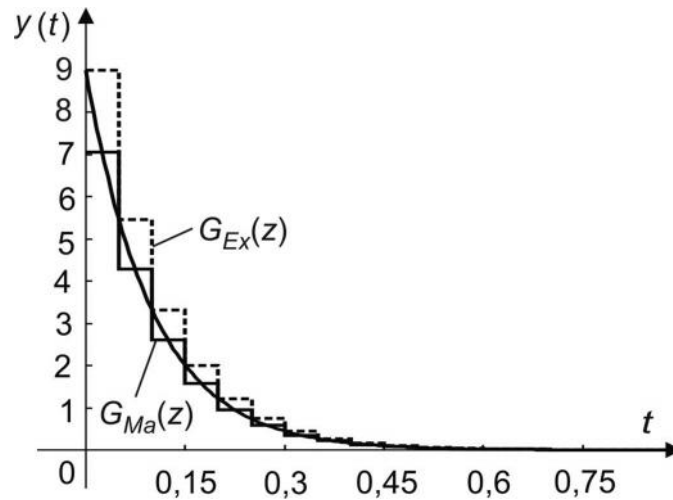


Fig. 4.33

Exemplul 34

Se dă sistemul continuu cu funcția de transfer

$$G(s) = K_c \frac{s+a}{s(s+b)}, \text{ cu } a=1, b=10, K_c=10.$$

Să se determine transformata Z matched.

Rezolvare

Pasii 1 și 2 furnizează funcția de transfer z cu expresia

$$G(z) = K_d \frac{(z - e^{-aT_e})(z+1)}{(z-1)(z - e^{-bT_e})}.$$

Pasul 3 Se calculează factorul de amplificare al funcției de transfer $G(z)$ folosind relațiile succesive ($\alpha=1$):

$$\lim_{s \rightarrow 0} \{sG(s)\} = \lim_{z \rightarrow 1} \left\{ \frac{z-1}{zT_e} G(z) \right\}, \quad \lim_{s \rightarrow 0} \left\{ K_c \frac{s+a}{s+b} \right\} = \lim_{z \rightarrow 1} \left\{ \frac{z-1}{zT_e} K_d \frac{(z - e^{-aT_e})(z+1)}{(z-1)(z - e^{-bT_e})} \right\}$$

$$K_c \frac{a}{b} = K_d \frac{2}{T_e} \frac{1 - e^{-aT_e}}{1 - e^{-bT_e}}, \quad K_d = K_c \frac{T_e}{2} \frac{a}{b} \frac{1 - e^{-bT_e}}{1 - e^{-aT_e}}.$$

Funcția de transfer z matched care se obține are expresia literală

$$G_{Ma}(z) = K_c T_e \frac{a}{2b} \frac{1 - e^{-bT_e}}{1 - e^{-aT_e}} \frac{(z+1)(z - e^{-aT_e})}{(z-1)(z - e^{-bT_e})}.$$

Curbele răspunsurilor la mărime de intrare treaptă unitară a sistemelor discrete modelate cu funcția de transfer exact, $G_{Ex}(z)$ și funcția de transfer z matched, $G_{Ma}(z)$ sunt prezentate comparativ în fig. 4.34.

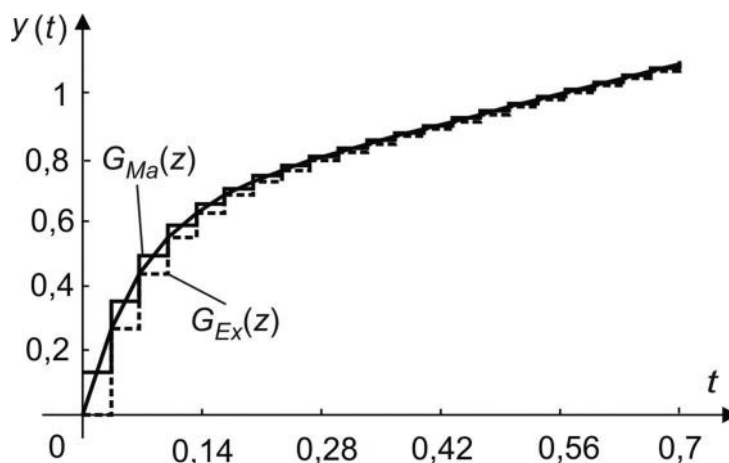


Fig. 4.34

4.6.3.3 Analiza stabilității și a comportării în frecvență a sistemelor discretizate cu metodele aproximative ale dreptunghiului și trapezului

Calculul funcțiilor de transfer z cu schimbările algebrice date de relațiile 4.246 – 4.248 poate fi considerat ca fiind transformări conforme de la planul s la planul z . Pentru a înțelege mai exact efectul acestor transformări se consideră reprezentările grafice ale acestora.

De exemplu, deoarece axa imaginară a planului s ($s = j\omega$, $\omega \in (-\infty, +\infty)$) reprezintă în cazul sistemelor continue linia de separare a polilor stabili de cei instabili, este util să cunoaștem cum este transformată linia $s = j\omega$ de către cele trei metode și unde apare semiplanul s stâng (cel stabil) în planul z .

În acest scop scriem cele 3 relații menționate mai înainte ca funcții $z = f(s)$. Astfel se obține:

$$z = 1 + sT_e, \text{ pentru metoda dreptunghiului înainte, MDF; } \quad (4.253)$$

$$z = \frac{1}{1 - sT_e}, \text{ pentru metoda dreptunghiului înapoi, MDS; } \quad (4.254)$$

$$z = \frac{1 + sT_e/2}{1 - sT_e/2}, \text{ pentru metoda trapezului, Tustin (transformata z biliniară). } \quad (4.255)$$

Dacă înlocuim $s = j\omega$ în relațiile de mai sus obținem limitele regiunilor din planul z care corespund porțiunii stabile din planul s (semiplanul complex s -stâng). Astfel, în cazul metodei MDF, regiunea de stabilitate din planul z este la stânga dreptei verticale cu ecuația (vezi figura 4.35a):

$$z = 1 + j\omega T_e, \quad \omega = (-\infty, +\infty).$$

De aici se remarcă faptul că prin aplicarea metodei dreptunghiului înainte (cu substituția $s = (z-1)/T_e$) un sistem stabil (cu poli cu parte reală negativă) poate fi transformat într-un sistem discret instabil (cu poli plasați în afara cercului de rază unitară).

Substituția corespunzătoare metodei dreptunghiului înapoi transformă semiplanul complex s stâng în planul z în interiorul unui cerc cu centrul $(1/2, 0)$ și rază $R = 1/2$.

(vezi figura 4.35b). Pentru a demonstra acest lucru în relația 4.254 adunăm și scădem $1/2$ în membrul drept și astfel obținem:

$$z = \frac{1}{2} + \left[\frac{1}{1-sT_e} - \frac{1}{2} \right] = \frac{1}{2} + \frac{1}{2} \frac{2-1+sT_e}{1-sT_e} = \frac{1}{2} + \frac{1}{2} \frac{1+sT_e}{1-sT_e},$$

$$z - \frac{1}{2} = \frac{1}{2} \frac{1+sT_e}{1-sT_e}.$$

Înlocuind acum $s = j\omega$ în relația de mai sus, se poate demonstra ușor că :

$$\left| \frac{1+j\omega T_e}{1-j\omega T_e} \right| = 1,$$

oricare ar fi $\omega \in (-\infty, +\infty)$ și prin urmare vom avea relația:

$$\left| z - \frac{1}{2} \right| = \frac{1}{2},$$

care corespunde în planul z unui cerc de rază $R = 1/2$ cu centrul în punctul $(1/2, 0)$.

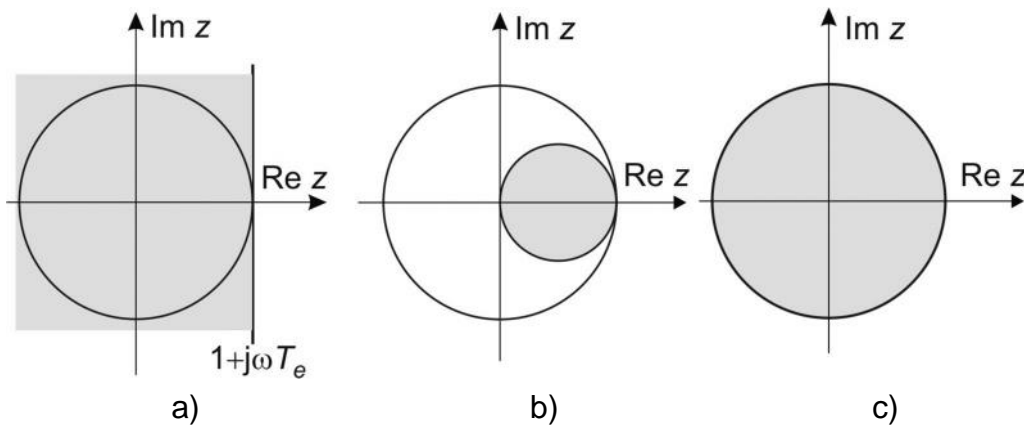


Fig. 4.35

În final reamintim că transformata z biliniară (metoda trapezului) transformă regiunea stabilă din planul s exact în regiunea stabilă din planul z (interiorul cercului de rază unitară), așa cum se prezintă în fig. 4.35c.

O altă cauză care produce modificări ale comportării în frecvență a sistemelor discrete față de cele continue este determinată de comprimarea spectrului de frecvență care se produce la sistemele discretizate cu metoda trapezului (transformatei Z biliniare). Pentru a clarifica acest aspect general considerăm cazul simplu al unui element continuu de ordinul unu, cu funcția de transfer:

$$G_c(s) = \frac{\omega_c}{s + \omega_c}, \quad (4.256)$$

care este practic folosit ca un filtru trece-jos cu pulsația de tăiere ω_c . Conform definiției folosite la filtre, pulsația de tăiere este pulsația pentru care puterea modulului funcției de frecvență (direct proporțională cu puterea) este $1/2$, deci:

$$|G_c(j\omega)| = \frac{1}{2}.$$

Funcția de transfer z a elementului T1, calculat cu metoda transformatei Z biliniare este:

$$G_{MT}(z) = G_c(s) \Big|_{s=\frac{2}{T_e} \frac{z-1}{z+1}} = \frac{\omega_c}{\frac{2}{T_e} \frac{z-1}{z+1} + \omega_c} = \frac{\omega_c T_e (z+1)}{(2 + \omega_c T_e)z + (\omega_c T_e - 2)}. \quad (4.257)$$

Funcția de frecvență a sistemului discretizat cu metoda trapezului este:

$$\begin{aligned} G_{MT}(e^{j\omega_d T_e}) &= G_c \left(\frac{2}{T_e} \frac{e^{j\omega_d T_e} - 1}{e^{j\omega_d T_e} + 1} \right) = G_c \left(\frac{2}{T_e} \frac{e^{\frac{j\omega_d T_e}{2}} - e^{-\frac{j\omega_d T_e}{2}}}{e^{\frac{j\omega_d T_e}{2}} + e^{-\frac{j\omega_d T_e}{2}}} \right) \\ &= G_c \left(j \frac{2}{T_e} \operatorname{tg} \frac{\omega_d T_e}{2} \right) = G_c(j\omega_c), \end{aligned} \quad (4.258)$$

unde

$$\omega_c = \frac{2}{T_e} \operatorname{tg} \frac{\omega_d T_e}{2}. \quad (4.259)$$

Relația de mai sus furnizează în plus o legătură directă între funcțiile de frecvență ale sistemului continuu, $G_c(j\omega_c)$, și a celui discretizat cu metoda transformatei Z biliniare, $G_{MT}(e^{j\omega_d T_e})$.

Din funcțiile de frecvență rezultă, de asemenea, că modulul răspunsului în frecvență al sistemului continuu la pulsația ω_c este egal cu cel al sistemului discretizat de la pulsația

$$\omega_d = \frac{2}{T_e} \operatorname{arctg} \frac{\omega_c T_e}{2}. \quad (4.260)$$

Fenomenul cunoscut în literatura de limbă engleză sub denumirea de „warping” este prezentat în fig. 4.36 a, b, c. Fig. 4.36a prezintă funcția $\omega_d = f(\omega_c)$. De aici se poate vedea că pentru valori mici ale lui ω_c , practic $\omega_d \cong \omega_c$, dar la valori mari ale pulsației sistemului continuu pulsația discretă este limitată la valoarea π/T_e . Din acest motiv caracteristica modulului sistemului discret se va anula la valoarea π/T_e , deci mult mai rapid decât caracteristica modulului sistemului continuu, care tinde asimptotic spre zero când $\omega_c \rightarrow \infty$ (vezi fig. 4.36 b și c). În fig. 4.36 b și c se prezintă caracteristicile modulului pentru sistemul continuu cu funcția de transfer:

a) cu valoarea $\omega_c = 100$,

b) cu $T_e = \frac{\pi}{\omega_c} \frac{1}{10} = \frac{\pi}{1000}$.

În acest fel pulsația maximă a sistemului discretizat cu metoda trapezului va fi:

$$\omega_{d\max} = \frac{\pi}{T_e} = 10\omega_c = 1000 \text{ rad} \cdot \text{s}^{-1}.$$

Ca urmare a comprimării spectrului discret, deoarece $\pi/T_e = \omega_e/2$, rezultă că la sistemele discretizate cu metoda trapezului nu există pericolul de apariție a fenomenului de aliasing.

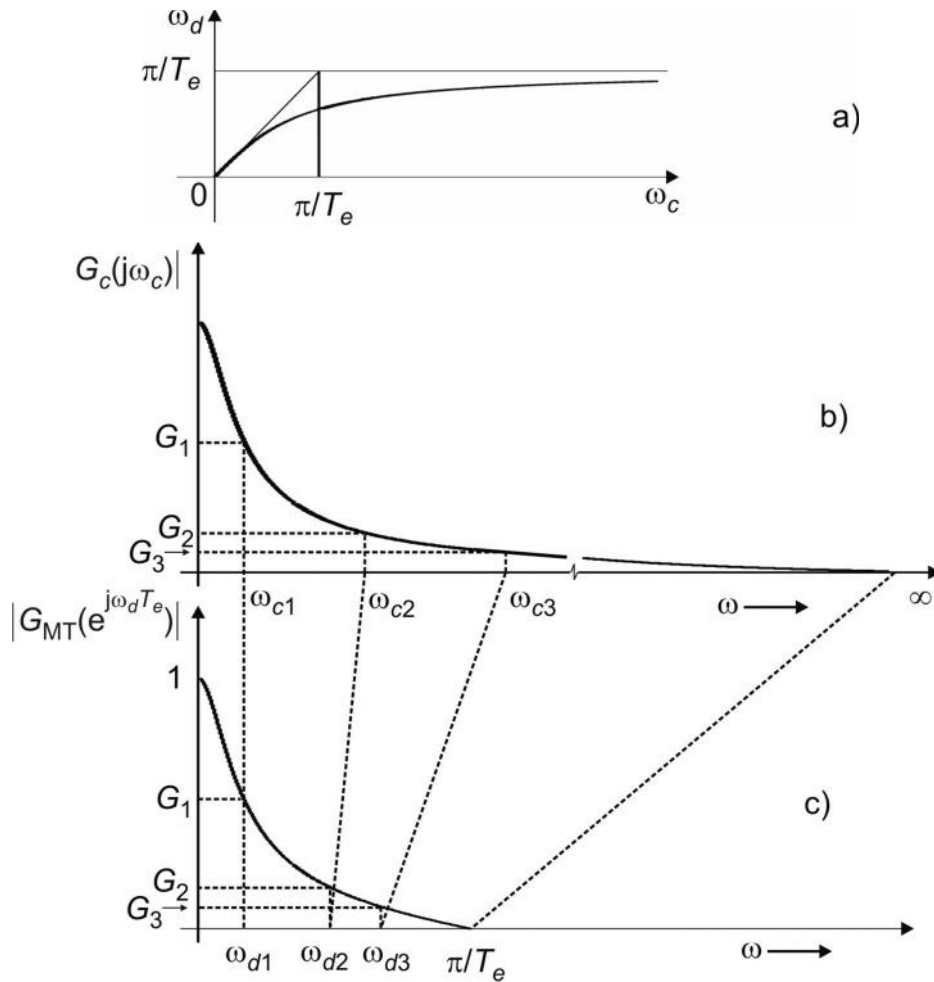


Fig. 4.36

Fenomenul „warping” are însă efecte defavorabile în cazul filtrelor numerice obținute prin discretizare cu metoda TZB din filtrele continue, deoarece în urma discretizării se modifică caracteristicile modului (așa cum se vede din fig. 4.36 b și c). Pentru a evita acest fenomen pentru anumite valori (critice) ale frecvenței se utilizează procedeul numit de „prewarping” în care pulsația critică, de exemplu ω_i , este înlocuită cu pulsația:

$$\omega_i' = \frac{2}{T_e} \operatorname{tg} \frac{\omega_i T_e}{2}.$$

Funcția de transfer z modificată (prewarped) la pulsația critică ω_i se calculează cu relația:

$$G_p(z) = G_c(s) \Big|_{s = \frac{1}{T_e} \frac{z-1}{z+1} \cdot \frac{2}{\operatorname{tg}(\omega_i T_e / 2)}} \quad (4.261)$$

4.6.4 Scheme pentru modelarea sistemelor discrete. Func ii de transfer z echivalente

Ca i la sistemele continue, analiza sistemelor de reglare compuse din mai multe subsisteme se face cu ajutorul unor scheme grafice care pun în eviden conexiunile existente între aceste elemente i sensul de transmitere a semnalelor. Fa de sistemele continue, în cazul sistemelor discrete apare suplimentar unul sau mai multe elemente de e antionare ideal .

Abord rile ob inute, utilizate în reprezentarea grafic a sistemelor discrete cu mai multe elemente sunt:

- schemele bloc-func ionale;
- grafurile de semnal sau de fluen .

4.6.4.1 Func ii de transfer z echivalente

Trebuie remarcat, de la început, c nu exist reguli general valabile, ca la sistemele continue, care s permit reducerea rapid a schemelor-bloc complexe cu func ii de transfer z.

În mod obi nuit pentru reducerea schemelor-bloc complexe se apeleaz la algebra specific acestor scheme, scriind rela ii care exist între semnalele de ie ire i intrare precum i între diverse semnale intermediare. Se poate sublinia faptul c acest mod de abordare se aplic schemelor-bloc cu func ii de transfer s, ob inându-se astfel rela ii în care apar simultan semnale continue i e antionate, fiind posibil ca acela i semnal s apar simultan în formele continu i e antionat .

Modul concret de lucru folosit pentru deducerea unor func ii de transfer z echivalente va fi ilustrat pentru conexiunile serie (cascad) i cu reac ie.

Conexiune în serie (cascad)

Exist dou situa ii posibile de conectare a elementelor continue, cazuri eviden iate de schemele – bloc din figurile 4.37a i 4.37b.

a) *Elementele continue conectate în serie cu e antionor intercalat*

Se men ioneaz c toate e antionoarele au aceea i frecven de comutare, $f_e = 1/T_e$.

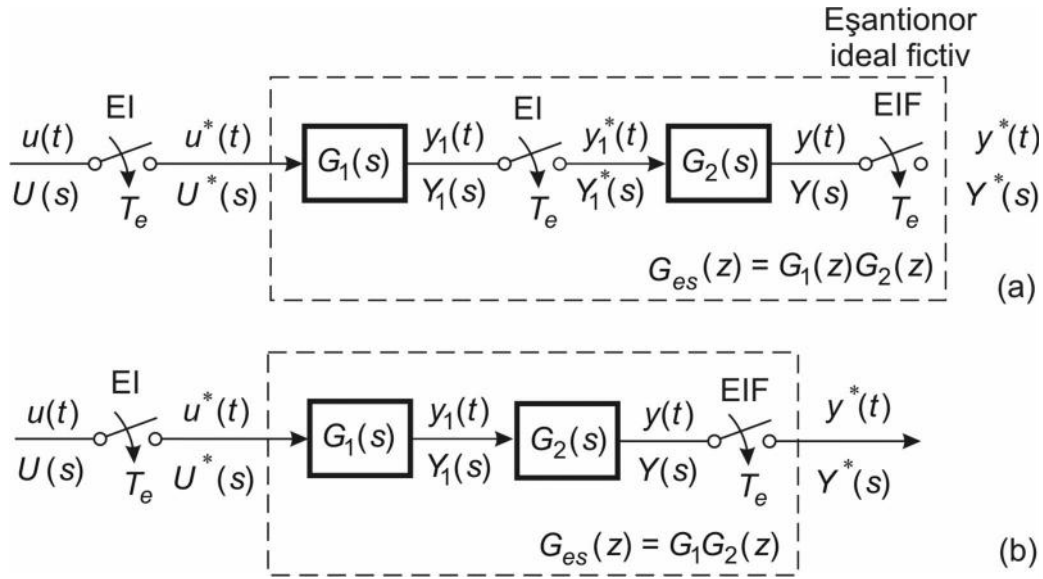


Fig. 4.37

Rela iile algebrice dintre semnale sunt într-o prim etap :

$$Y(s) = G_2(s)Y_1^*(s) \quad \text{și} \quad Y_1(s) = G_1(s)U^*(s). \quad (4.262)$$

Aplicând operatorul de e antionare acestor rela ii se ob ine în continuare:

$$Y^*(s) = G_2^*(s)Y_1^*(s) \quad \text{și} \quad Y_1^*(s) = G_1^*(s)U^*(s), \quad (4.263)$$

respectiv:

$$Y^*(s) = G_2^*(s)G_1^*(s)U^*(s), \quad (4.264)$$

de unde, având în vedere defini ia transformatei Z , rezult :

$$G_{es}(z) = \left. \frac{Y^*(s)}{U^*(s)} \right|_{s=\frac{1}{T_e} \ln z} = \left. G_1^*(s)G_2^*(s) \right|_{s=\frac{1}{T_e} \ln z} = G_1(z)G_2(z).$$

În concluzie func ia de transfer z echivalent a două elemente continue conectate în serie cu e antionor ideal între ele este:

$$G_{es}(z) = G_1(z)G_2(z), \quad (4.265)$$

unde:

$$G_1(z) = \mathcal{Z}\{G_1(s)\} \quad \text{și} \quad G_2(z) = \mathcal{Z}\{G_2(s)\}.$$

b) Elemente continue conectate direct în serie

Din schema bloc prezentat în figura 4.37b se poate scrie mai întâi rela ia:

$$Y(s) = G_1(s)G_2(s)U^*(s), \quad (4.266)$$

care, după aplicarea operatorului de e antionare, devine:

$$Y^*(s) = [G_1(s)G_2(s)]^* U^*(s). \quad (4.267)$$

În final, având în vedere definiția transformatei Z , rezultă :

$$G_{es}(z) = G_1 G_2(z), \quad (4.268)$$

unde:

$$G_1 G_2(z) = \mathcal{Z}\{G_1(s)G_2(s)\}. \quad (4.269)$$

Se poate face următoarea remarcă importantă :

$$G_1(z)G_2(z) \neq G_1 G_2(z), \quad (4.270)$$

respectiv:

$$\mathcal{Z}\{G_1(s)\}\mathcal{Z}\{G_2(s)\} \neq \mathcal{Z}\{G_1(s)G_2(s)\}. \quad (4.271)$$

Proprietățile de bază ale operatorului de eantionare

$$1) [U_1(s) + U_2(s)]^* = U_1^*(s) + U_2^*(s), \quad (4.272)$$

$$2) (U^*(s))^* = U(s), \quad (4.273)$$

$$3) [G(s)U^*(s)]^* = G^*(s)U(s), \quad (4.274)$$

$$4) [G(s)H(s)]^* \neq G^*(s)H^*(s). \quad (4.275)$$

Exemplul 35

Se considerăm funcțiile de transfer $G_1(s) = \frac{1}{s}$ și $G_2(s) = \frac{1}{s+1}$. Să se calculeze $G_1(z)G_2(z)$ și $G_1 G_2(z)$.

Avem:

$$G_1(z) = \mathcal{Z}\{1/s\} = \frac{z}{z-1},$$

$$G_2(z) = \mathcal{Z}\left\{\frac{1}{s+1}\right\} = \frac{z}{z - e^{-T_e}},$$

deci:

$$G_1(z)G_2(z) = \frac{z^2}{(z-1)(z - e^{-T_e})}.$$

Pentru a se calcula funcția de transfer $G_1 G_2(z)$, se determină mai întâi dezvoltarea în fracții simple:

$$G_1(s)G_2(s) = \frac{1}{s(s+1)} = \frac{1}{s} - \frac{1}{s+1},$$

de unde se obține:

$$\mathcal{Z}[G_1(s)G_2(s)] = \frac{z}{z-1} - \frac{z}{z - e^{-T_e}} = \frac{z(1 - e^{-T_e})}{(z-1)(z - e^{-T_e})}.$$

Rezult c :

$$G_1(z)G_2(z) = \frac{z^2}{(z-1)(z-e^{-T_e})} \neq \mathcal{Z}\{G_1(s)G_2(s)\} = \frac{z(1-e^{-T_e})}{(z-1)(z-e^{-T_e})}.$$

Conexiunea cu reac ie

Se consider sistemul discret în circuit închis cu e antionarea erorii, prezentat în figura 4.38a. Remarc m faptul c schema cu e antionare a erorii din figura 4.38a este echivalent func ional în zona sumatorului cu schema cu dou e antionoare ideale plasate ca în figura 4.38b.

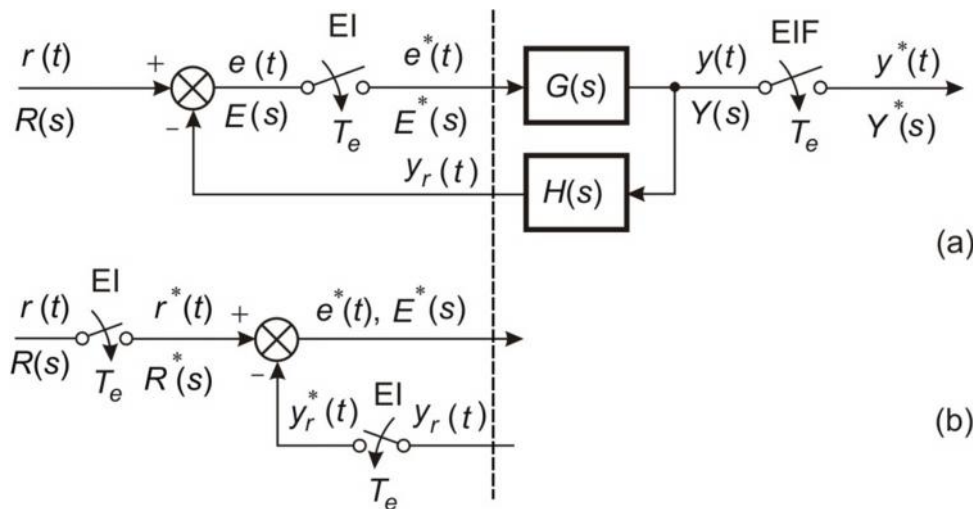


Fig. 4.38

Pentru deducerea func iei de transfer echivalente a conexiunii cu reac ie se scriu mai întâi rela iile algebrice care coreleaz semnalele din schema bloc. Astfel avem:

$$Y(s) = G(s)E^*(s), \quad (4.276)$$

$$E(s) = R(s) - H(s)Y(s). \quad (4.277)$$

Substituind $Y(s)$ din rela ia (4.276) în expresia (4.277) se ob ine rela ia:

$$E(s) = R(s) - G(s)H(s)E^*(s). \quad (4.278)$$

care dup aplicarea operatorului de e antionare devine:

$$E^*(s) = R^*(s) - [G(s)H(s)E^*(s)]^*, \quad (4.279)$$

respectiv:

$$E^*(s) = R^*(s) - [G(s)H(s)]^* E^*(s) = R^*(s) - GH^*(s)E^*(s), \quad (4.280)$$

de unde se ob ine transformata Laplace e antionat a erorii:

$$E^*(s) = \frac{R^*(s)}{1 + GH^*(s)}. \quad (4.281)$$

Substitu ia expresiei (4.281) în rela ia (4.276) furnizeaz transformata Laplace a semnalului de ie ire în raport cu semnalul e antionat de intrare:

$$Y(s) = \frac{G(s)}{1+GH^*(s)} R^*(s), \quad (4.282)$$

din care, după aplicarea operatorului de eantionare, rezultă :

$$Y^*(s) = \frac{G^*(s)}{1+GH^*(s)} R^*(s), \quad (4.283)$$

de unde, cu schimbarea de variabil $s = \frac{1}{T_e} \ln z$, se obține:

$$Y(z) = \frac{G(z)}{1+GH(z)} R(z). \quad (4.284)$$

În final rezultă funcția de transfer z a sistemului cu reacție negativă neunitară, cu eantionarea erorii, exprimată conform relației:

$$G_{er}(z) = \frac{Y(z)}{U(z)} = \frac{G(z)}{1+GH(z)}. \quad (4.285)$$

Sistemele numerice de reglare au regulatorul realizat sub formă numerică (v. fig. 4.1). Schema bloc cu funcții de transfer a unui astfel de sistem discret de reglare, este prezentată în figura 4.39.

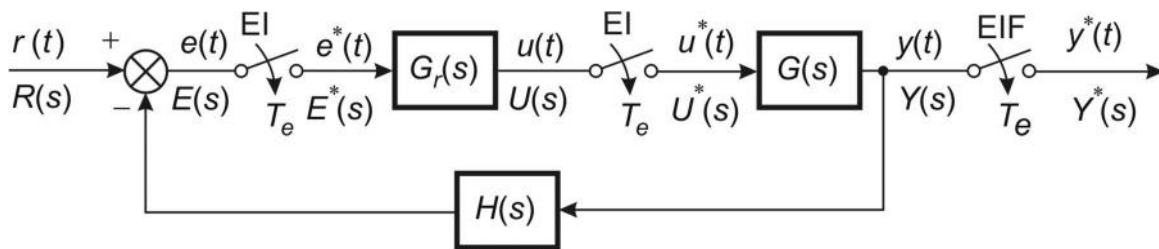


Fig. 4.39

Pentru a se deduce funcția de transfer z echivalentă se scriu, într-o primă etapă, relațiile pentru transformatele Laplace ale semnalelor continue și eantionate din schema bloc:

$$Y(s) = G(s)U^*(s), \quad (4.286)$$

$$E(s) = R(s) - GH(s)U^*(s), \quad (4.287)$$

$$U(s) = G_r(s)E^*(s). \quad (4.288)$$

Se aplică apoi operatorul de eantionare relației (4.288):

$$U^*(s) = G_r^*(s)E^*(s), \quad (4.289)$$

și se înlocuiește rezultatul obținut în relația (4.287). Astfel se obține:

$$E(s) = R(s) - GH(s)G_r^*(s)E^*(s). \quad (4.290)$$

În continuare se aplică operatorul de eantionare relației obținute mai sus:

$$E^*(s) = R^*(s) - GH^*(s)G_r^*(s)E^*(s), \quad (4.291)$$

și se rezolvă ecuația în raport cu $E^*(s)$. Se obține:

$$E^*(s) = \frac{R^*(s)}{1 + G_r^*(s)GH^*(s)}. \quad (4.292)$$

Se înlocuiește acum $E^*(s)$ din expresia (4.292) în ecuația (4.289) și apoi se introduce $U^*(s)$ astfel obținut în relația (4.286) rezultând astfel:

$$Y(s) = G(s)G_r^*(s)E^*(s) = \frac{G(s)G_r^*(s)}{1 + G_r^*(s)GH^*(s)}R^*(s). \quad (4.293)$$

În final, aplicând operatorul de eantionare relației (4.293), rezultă:

$$Y^*(s) = \frac{G_r^*(s)G^*(s)}{1 + G_r^*(s)GH^*(s)}R^*(s), \quad (4.294)$$

de unde, cu substituția $s = \frac{1}{T_e} \ln z$, se obține:

$$Y(z) = \frac{G_r(z)G(z)}{1 + G_r(z)GH(z)}R(z). \quad (4.295)$$

Prin urmare, funcția de transfer z echivalentă pentru sistemul discret cu schema-bloc din figura 4.39 va fi:

$$G_0(z) = \frac{Y(z)}{U(z)} = \frac{G_r(z)G(z)}{1 + G_r(z)GH(z)}. \quad (4.296)$$

Din exemplul rezolvat mai înainte sunt evidente dificultățile care apar la deducerea funcțiilor de transfer z echivalente pentru sistemele discrete cu mai multe eantionări ideale. O abordare sistematică a problemei de reducere a schemelor-bloc ale sistemelor discrete cu mai multe eantionări are la bază grafurile de fluxuri. Metoda este însă complicată și laborioasă și depășește nivelul prezentei de față.

4.7 ANALIZA RĂSPUNSULUI ÎN TIMP AL SISTEMELOR DISCRETE

Analog analizei sistemelor continue, studiul răspunsului tranzitoriu al sistemelor cu eantionare este foarte important atât din punctul de vedere al performanțelor staționare, cât și din cel al performanțelor tranzitorii. Semnalele tipice de test oferă o bază comună pentru compararea performanțelor realizate de sistemele de reglare în situații diverse.

Semnalele tipice de test utilizate în analiza sistemelor discrete de reglare sunt prezentate în tabelul 4.5.

Tabelul .4.5

Nr. crt.	Denumire semnal	Descrierea în timp a semnalului $r(t)$ Transformata Z a semnalului $r(t)$	Forma de variație în timp
1.	Impuls unitar	$r(kT_e) = \delta_1(kT_e) = \begin{cases} 1, & \text{pentru } k = 0, \\ 0, & \text{pentru } k \neq 0, \end{cases}$ $R(z) = 1,$	
2.	Treapt unitar	$r(kT_e) = 1_+(kT_e) = \begin{cases} 1, & \text{pentru } k \geq 0, \\ 0, & \text{pentru } k < 0, \end{cases}$ $R(z) = \frac{z}{z-1},$	
3.	Ramp unitar	$r(kT_e) = \begin{cases} kT_e, & \text{pentru } k \geq 0, \\ 0, & \text{pentru } k < 0, \end{cases}$ $R(z) = \frac{zT_e}{(z-1)^2},$	
4.	Parabol unitar	$r(kT_e) = \begin{cases} \frac{(kT_e)^2}{2}, & \text{pentru } k \geq 0, \\ 0, & \text{pentru } k < 0, \end{cases}$ $R(z) = \frac{T_e^2 z(z+1)}{2(z-1)^3},$	
5.	Funcția sinus	$r(kT_e) = \begin{cases} \sin \omega kT_e, & \text{pentru } k \geq 0, \\ 0, & \text{pentru } k < 0, \end{cases}$ $R(z) = \frac{z \sin \omega T_e}{z^2 - 2z \cos \omega T_e + 1}.$	

Observație. Notația cu $r(kT_e)$ este folosită frecvent în literatura de specialitate pentru semnalele de intrare (de referință) ale sistemelor cu reacție (în circuit închis).

Prin utilizarea semnalelor tipice, care sunt funcții simple de timp, se simplifică considerabil analiza teoretică și experimentală a sistemelor de reglare.

4.7.1 Calculul analitic al răspunsului în timp pe baza funcției de transfer z

Se consideră sistemul de reglare discret cu funcția de transfer $G(z)$, la intrarea căruia se aplică un semnal cu transformata Z , $R(z)$.

Răspunsul în timp al sistemului (mărimea de ieșire), în ipoteza unor condiții inițiale nule, se calculează cu transformata Z invers :

$$y[k] = \mathcal{Z}^{-1}\{G(z)R(z)\} = y_p[k] + y_t[k], \quad (4.297)$$

unde $y_t[k]$ reprezintă răspunsul de regim tranzitoriu, iar $y_p[k]$ constituie răspunsul de regim permanent (staționar) al sistemului. Componenta corespunzătoare răspunsului de regim tranzitoriu este determinat exclusiv de polii funcției de transfer z , iar răspunsul de regim permanent al sistemelor stabile depinde numai de semnalul de intrare.

Calculul analitic al transformatei Z inverse se poate realiza cu metoda formulei de inversiune (metoda reziduurilor) sau cu metoda descompunerii în fracții simple (v. §4.4.6.1 și §4.4.6.2). Se reamintește că dacă transformata Z a mărimii de ieșire este o funcție rațională de forma:

$$Y(z) = G(z)R(z) = \frac{B(z)}{\prod_{i=1}^L (z - p_i)}, \quad (4.298)$$

răspunsul în timp, evaluat cu metoda reziduurilor, se calculează cu relația:

$$y[k] = y(kT_e) = \sum_{i=1}^L r_i[k], \quad (4.299)$$

unde r_i se calculează cu relația:

$$r_i[k] = \left[(z - p_i) \frac{B(z)z^{k-1}}{\prod_{i=1}^L (z - p_i)} \right]_{z=p_i}. \quad (4.300)$$

Ordinul maxim, L , al polinomului de la numitorul funcției $Y(z)$ este egal cu suma ordinelor maxime ale polinoamelor de la numitorul funcțiilor $G(z)$ și $R(z)$.

Răspunsul sistemului discret cu funcția de transfer $G(z)$ la o mărime de intrare impuls Dirac sau impuls unitar este funcția pondere sau răspunsul la impuls:

$$g[k] = g(kT_e) = \mathcal{Z}^{-1}\{G(z)\}. \quad (4.301)$$

Având în vedere produsul de convoluție și proprietățile acestuia, răspunsul pondere poate fi utilizat pentru calculul ieșirii sistemului când la intrare se aplică o mărime de intrare oarecare $r(t)$, folosind relația:

$$y[k] = y_f[k] = \sum_{i=1}^k g[i]r[k-i], \quad (4.302)$$

unde, după cum se cunoaște, $y_f[k]$ reprezintă răspunsul forat al sistemului iar i este o variabilă auxiliară cu valori întregi pozitive.

4.7.2 Răspunsul sistemului discret de ordinul unu

Se consideră sistemul de ordinul unu continuu care are funcția de transfer standard:

$$G(s) = \frac{1}{sT + 1}.$$

Așa cum s-a arătat (v. rel. (4.229)) funcția de transfer z a ansamblului format dintr-un sistem de ordinul unu și un element de reținere de ordinul zero, este:

$$G(z) = \frac{b_0}{z - p_d},$$

unde:

$$p_d = e^{-T_e/T} \quad \text{și} \quad b_0 = 1 - p_d = 1 - e^{-T_e/T}.$$

4.7.2.1 Răspunsul la impuls unitar

Răspunsul la impuls unitar se calculează cu relația:

$$y[k] = g[k] = \mathcal{Z}^{-1} \left\{ \frac{b_0}{z - p_d} \right\} = r,$$

unde reziduul r se determină cu expresia:

$$r = (z - p_d) \frac{b_0 z^{k-1}}{z - p_d} \Big|_{z=p_d} = b_0 p_d^{k-1}.$$

Astfel, se obține:

$$g[k] = g(kT_e) = b_0 p_d^{k-1} = (1 - p_d) p_d^{k-1}, \quad k \geq 1, \quad (4.303)$$

Observație Dacă $\text{grad } B(z) < \text{grad } A(z)$, unde $G(z) = \frac{B(z)}{A(z)}$, răspunsul sistemelor discrete este egal cu zero în decursul primei perioade de eantionare (deci pentru $k = 0$).

Dacă însă $\text{grad } B(z) = \text{grad } A(z)$ atunci este posibil ca răspunsul în timp al sistemului discret, pentru $k = 0$, să fie diferit de zero.

Răspunsul pondere calculat cu relația (4.303), pentru $T = 1\text{s}$ și $T_e = T/5$, este prezentat grafic în figura 4.40a.

4.7.2.2 Răspunsul la treaptă unitară

Având în vedere că transformata Z a semnalului treaptă este:

$$R(z) = \frac{z}{z - 1},$$

rezultă că transformata Z a mrimii de ieșire va fi în acest caz:

$$Y(z) = G(z)R(z) = \frac{b_0 z}{(z-1)(z-p_d)}.$$

R spunsul indicial se determină cu metoda reziduurilor, fiind:

$$y[k] = g_1[k] = \mathcal{Z}^{-1} \left\{ \frac{b_0 z \cdot z^{k-1}}{(z-1)(z-p_d)} \right\} = r_1 + r_2,$$

unde:

$$r_1 = (z-1)Y(z) \Big|_{z=1} = \frac{b_0 z^k}{z-p_d} \Big|_{z=1} = \frac{b_0 \cdot 1}{1-p_d} = \frac{1-p_d}{1-p_d} = 1,$$

$$r_2 = \frac{b_0 z^k}{z-1} \Big|_{z=p_d} = \frac{(1-p_d)p_d^k}{p_d-1} = -p_d^k,$$

deci:

$$y[k] = g_1[k] = 1 - p_d^k = 1 - e^{-kT_e/T}. \quad (4.304)$$

În cadrul r spunsului (v. fig. 4.40b) se pot pune în evidență cele două componente, staionar $y_p[k] = 1$, determinat de mrima de intrare (treapt unitar) și tranzitorie $y_t[k] = -p_d^k = -\exp[kT_e/T]$, determinat de sistemul, respectiv de polul funcției de transfer z . Din relația r spunsului se constată că $y[0] = 0$ și $y[k] = 1$, pentru $k \rightarrow \infty$.

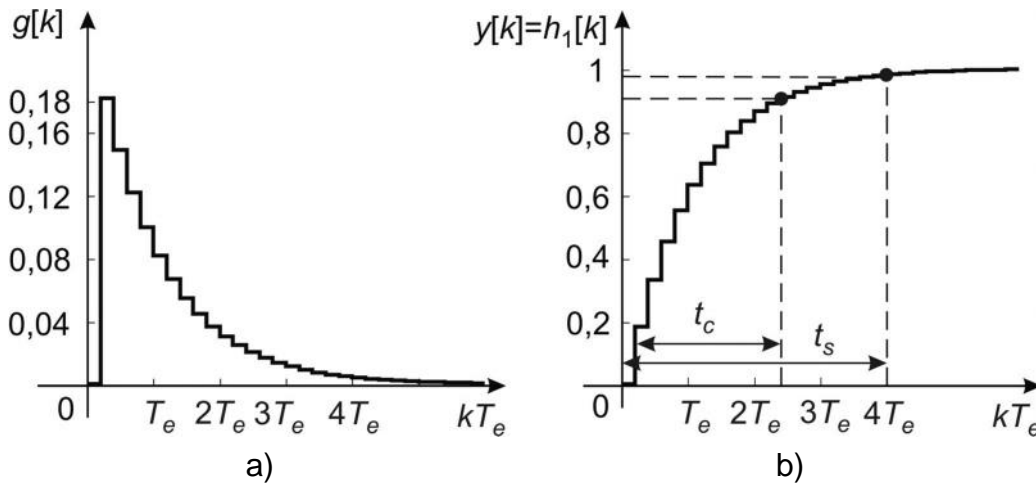


Fig. 4.40

4.7.2.3 R spunsul la ramp unitar

Transformata Z a semnalului ramp unitar este:

$$R(z) = \frac{T_e z}{(z-1)^2},$$

deci transformata Z a ieirii va fi în acest caz:

$$Y(z) = \frac{b_0 T_e z}{(z-1)^2(z-p_d)}.$$

Pentru calculul r spunsului în timp se va utiliza, de această dată, dezvoltarea în frac ii simple a func iei complexe:

$$\frac{Y(z)}{z} = \frac{b_0 T_e}{(z-1)^2(z-p_d)} = \frac{c_1}{(z-1)^2} + \frac{c_2}{z-1} + \frac{c_3}{z-p_d}.$$

Coeficien ii dezvolt rii în frac ii simple vor fi:

$$\begin{aligned} c_1 &= (z-1)^2 \frac{b_0 T_e}{(z-1)^2(z-p_d)} \Big|_{z=1} = \frac{b_0 T_e}{1-p_d} \\ c_2 &= \frac{d}{dz} \left[\frac{b_0 T_e}{z-p_d} \right]_{z=1} = b_0 T_e \frac{-1}{(z-p_d)^2} \Big|_{z=1} = -\frac{b_0 T_e}{(1-p_d)^2}, \\ c_3 &= (z-p_d) \frac{b_0 T_e}{(z-1)^2(z-p_d)} \Big|_{z=p_d} = \frac{b_0 T_e}{(p_d-1)^2}, \end{aligned}$$

deci, dezvoltarea în frac ii simple va fi:

$$Y(z) = \frac{1-p_d}{1-p_d} \left[\frac{z T_e}{(z-1)^2} - \frac{1}{1-p_d} \frac{z T_e}{z-1} - \frac{1}{p_d-1} \frac{z T_e}{z-p_d} \right],$$

de unde, după aplicarea transformatei Z inverse, rezult :

$$y[k] = y(kT_e) = kT_e - \frac{T_e}{1-p_d} + \frac{T_e}{1-p_d} p_d^k = kT_e - \frac{T_e}{1-p_d} (1 - e^{-kT_e/T}). \quad (4.305)$$

4.7.3 R spunsul sistemului discret de ordinul doi

Pentru calculul analitic se va folosi func ia de transfer z cu expresia:

$$G(z) = \frac{K(z-z_1)}{(z-p_1)(z-p_2)}, \quad (4.306)$$

unde $p_{1,2}$ sunt numere complex conjugate. Polii discre i complex conjugati sunt corelati cu polii sistemului continuu de ordinul doi conform rela iei:

$$p_{1,2} = e^{-\zeta \omega_n T_e \pm j \omega_n \sqrt{1-\zeta^2} T_e}, \quad (4.307)$$

unde ζ i ω_n au semnificatiile cunoscute, iar T_e este perioada de e antionare.

Pentru a avea eroare sta ionar nul la referin treapt unitar i totodat pentru simplificarea rela iilor, factorul de amplificare se adopt astfel încât $G(1) = 1$, de unde rezult :

$$K = \frac{(1-p_1)(1-p_2)}{(1-z_1)}.$$

Această func ie de transfer caracterizează un sistem de ordinul doi cu $0 < \zeta < 1$, cu

element de reînere de ordin zero, când $z_1 \neq 0$, respectiv r element de reînere de ordin zero când $z_1 = 0$.

Transformata Z a r spunsului pentru o mărime de intrare treaptă unitară este:

$$Y(z) = \frac{K(z - z_1)}{(z - p_1)(z - p_2)} \frac{z}{z - 1}.$$

Răspunsul în timp se determină aplicând metoda reziduurilor conform relațiilor:

$$y[k] = y(kT_e) = \sum_{i=1}^3 z^{k-1} Y(z) = \sum_{i=1}^3 \frac{Kz^k(z - z_1)}{(z - 1)(z - p_1)(z - p_2)} = r_1 + r_2 + r_3,$$

unde r_i sunt reziduurile funcției $z^{k-1}Y(z)$ care au următoarele expresii:

$$r_1[k] = \left. \frac{K(z - z_1)z^k}{(z - p_1)(z - p_2)} \right|_{z=1} = \frac{K(1 - z_1)}{(1 - p_1)(1 - p_2)} = 1,$$

$$r_2[k] = \left. \frac{K(z - z_1)z^k}{(z - 1)(z - p_2)} \right|_{z=p_1} = \frac{K(p_1 - z_1)}{(p_1 - 1)(p_1 - p_2)} p_1^k,$$

$$r_3[k] = \left. \frac{K(z - z_1)z^k}{(z - 1)(z - p_1)} \right|_{z=p_2} = \frac{K(p_2 - z_1)}{(p_2 - 1)(p_2 - p_1)} p_2^k.$$

Înlocuind în expresiile reziduurilor relația lui K , rezultă răspunsul în timp:

$$y[k] = 1 + \frac{(p_1 - z_1)(p_2 - 1)}{(1 - z_1)(p_1 - p_2)} p_1^k + \frac{(p_2 - z_1)(p_1 - 1)}{(1 - z_1)(p_2 - p_1)} p_2^k.$$

Pentru sistematizarea relației răspunsului polii complecși p_1 și p_2 se scriu sub formă trigonometrică respectiv algebrică:

$$p_1 = |p_1| e^{j\Phi} = \sigma + j\omega \quad \text{și} \quad p_2 = |p_1| e^{-j\Phi} = \sigma - j\omega,$$

unde:

$$|p_1| = e^{-\zeta \omega_n T_e}, \quad (4.308)$$

$$\Phi = \arg p_1 = \omega_n \sqrt{1 - \zeta^2} T_e = \arctg \frac{\omega}{\sigma}. \quad (4.309)$$

Cu aceste notații se vor obține relațiile:

$$p_2 - p_1 = |p_2 - p_1| e^{-j\pi/2} = 2\omega e^{-j\pi/2},$$

respectiv, deoarece avem:

$$p_1 - 1 = (\sigma - 1) + j\omega \quad \text{și} \quad p_2 - 1 = (\sigma - 1) - j\omega,$$

rezultă:

$$|p_1 - 1| = |p_2 - 1| = \sqrt{(\sigma - 1)^2 + \omega^2},$$

i

$$\arg(p_1 - 1) = -\arg(p_2 - 1) = \arctg \frac{\omega}{\sigma - 1} = \lambda_1.$$

De asemenea, având în vedere c $z_1 \in \mathbf{R}$, avem rela iile:

$$1 - z_1 \in \mathbf{R}, \quad p_1 - z_1 = (\sigma - z_1) + j\omega \quad i \quad p_2 - z_1 = (\sigma - z_1) - j\omega,$$

$$\text{de unde rezult } |p_1 - z_1| = |p_2 - z_1| = \sqrt{(\sigma - z_1)^2 + \omega^2} \quad i:$$

$$\arg(p_1 - z_1) = -\arg(p_2 - z_1) = \arctg \frac{\omega}{\sigma - z_1} = \lambda_2.$$

Notând:

$$\theta = \arg \frac{(p_1 - z_1)(p_2 - 1)}{(1 - z_1)(p_1 - p_2)} = \arg(p_1 - z_1) + \arg(p_2 - 1) - \frac{\pi}{2} = \lambda_2 - \lambda_1 - \frac{\pi}{2}, \quad (4.310)$$

în final rezult :

$$y[k] = 1 + \left| \frac{(p_1 - z_1)(p_1 - 1)}{(1 - z_1)(p_1 - p_2)} \right| |p_1|^k [e^{j(k\Phi + \theta)} + e^{-j(k\Phi + \theta)}],$$

respectiv

$$y[k] = 1 + 2 \left| \frac{(p_1 - z_1)(p_1 - 1)}{(1 - z_1)(p_1 - p_2)} \right| |p_1|^k \cos(k\Phi + \theta), \quad (4.311)$$

$$\text{unde } \Phi = \arg p_1 = \omega_n \sqrt{1 - \zeta^2} T_e \quad i \quad \theta = \arg(p_1 - z_1) - \arg(p_1 - 1) - \frac{\pi}{2}.$$

4.7.3.1. Simplificarea expresiei r spunsului elementului discret de ordinul 2, T2

Rela ia r spunsului pentru elementul discret T2 oscilant amortizat se poate simplifica prin adoptarea unui parametru auxiliar introdus pe baza unor considerente geometrice. Pentru definirea acestui parametru, care este un unghi notat α , se folose te repartia poli-zero a elementului discret T2, reprezentat grafic, pentru dou repartii tipice, în figurile 4.41a i b.

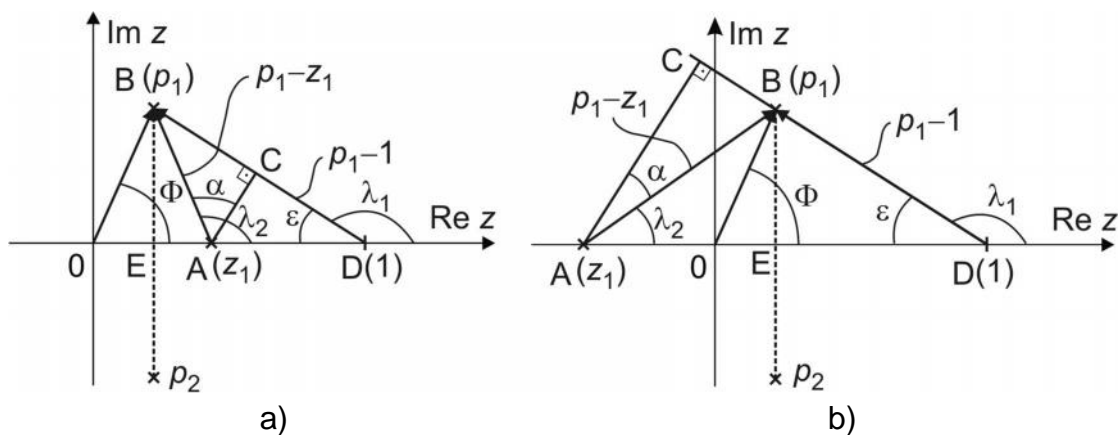


Fig. 4.41

Prin defini ie, α este unghiul dintre vectorul complex $(p_1 - z_1)$ i perpendiculara din z_1 pe direc ia vectorului $(p_1 - 1)$. Din figura 4.41a rezult rela iile:

$$\alpha + \lambda_2 = \frac{\pi}{2} - \varepsilon = \frac{\pi}{2} - (\pi - \lambda_1) = \lambda_1 - \frac{\pi}{2},$$

$$\alpha = \lambda_1 - \lambda_2 - \frac{\pi}{2},$$

de unde, având în vedere (4.310), se ob ine

$$\alpha = -\theta - \pi,$$

respectiv

$$\theta = -\alpha - \pi.$$

În mod asem n tor din figura 4.41b rezult

$$\theta = \alpha - \pi,$$

deci, în general, avem rela ia de leg tur :

$$\theta = \pm \alpha - \pi. \quad (4.312)$$

De asemenea, referindu-ne la figura 4.41a, vom putea scrie rela iile succesive:

$$\cos \alpha = \frac{AC}{AB} = \frac{AC}{|p_1 - z_1|} = \frac{AD \sin \varepsilon}{|p_1 - z_1|} = \frac{|1 - z_1|}{|p_1 - z_1|} \sin \varepsilon,$$

respectiv

$$\sin \varepsilon = \frac{BE}{BD} = \frac{|p_1 - p_2|}{2|1 - p_1|},$$

de unde se ob ine

$$\cos \alpha = \frac{1}{2} \frac{|(1 - z_1)(p_1 - p_2)|}{|(p_1 - z_1)(1 - p_1)|}. \quad (4.313)$$

Cu aceste rezultate, r spunsul sistemului discret de ordinul doi poate fi exprimat conform rela iei

$$y[k] = 1 + |\sec \alpha| |p_1|^k \cos(k\Phi \pm \alpha - \pi), \quad (4.314)$$

unde $\sec \alpha = 1/\cos \alpha$.

În final, înlocuind modulul i argumentul polului discret p_1 din rela iile (4.308) i (4.309) în (4.314) se ob ine expresia:

$$y[kT_e] = 1 + e^{-\zeta \omega_n k T_e} |\sec \alpha| \cos(\omega_n \sqrt{1 - \zeta^2} k T_e + \alpha - \pi), \quad (4.315)$$

unde α poate fi pozitiv sau negativ.

4.7.3.2 Calculul suprareglajului pentru elementul de ordinul doi discret

Pentru evaluarea suprareglajului, în rela ia (4.315) trecem de la timpul discretizat la timpul continuu t . Se ob ine astfel rela ia:

$$y^*(t) = 1 + e^{-\zeta \omega_n t} |\sec \alpha| \cos(\omega_n \sqrt{1-\zeta^2} t + \alpha - \pi), \quad (4.316)$$

unde cu $y^*(t)$ s-a notat semnalul continuu care are valorile $y(kT_e)$ în momentele de e antionare. Derivând expresia (4.316) în raport cu timpul și rezolvând ecuația obținem timpul de vârf.

$$t_v^* = \frac{\frac{\pi}{2} - \alpha + \varphi}{\omega_n \sqrt{1-\zeta^2}}, \text{ cu } \varphi = \arctg \frac{\sqrt{1-\zeta^2}}{\zeta} \quad (4.317)$$

Se înlocuiește t_v^* în relația (4.306) și obținem:

$$\begin{aligned} y_{\max}^* &= 1 + |\sec \alpha| \exp \left(-\zeta \omega_n \frac{\pi/2 - \alpha + \varphi}{\omega_n \sqrt{1-\zeta^2}} \right) \cos \left(\omega_n \sqrt{1-\zeta^2} \frac{\pi/2 - \alpha + \varphi}{\omega_n \sqrt{1-\zeta^2}} + \alpha - \pi \right) \\ &= 1 + |\sec \alpha| \exp \left[-\frac{\zeta}{\sqrt{1-\zeta^2}} \left(\frac{\pi}{2} - \alpha + \varphi \right) \right] \cos \left(\varphi - \frac{\pi}{2} \right), \end{aligned}$$

de unde, având în vedere că $y_{st}^* = 1$ și $\cos(\varphi - \frac{\pi}{2}) = \sin \varphi = \sqrt{1-\zeta^2}$, rezultă:

$$M_v^* = \sqrt{1-\zeta^2} |\sec \alpha| \exp \left[-\frac{\zeta}{\sqrt{1-\zeta^2}} \left(\frac{\pi}{2} - \alpha + \varphi \right) \right]. \quad (4.318)$$

În figurile 4.42a și b se prezintă curbele suprareglajului exprimat în procente funcție de unghiul α pentru diverse valori ale factorului de amortizare.

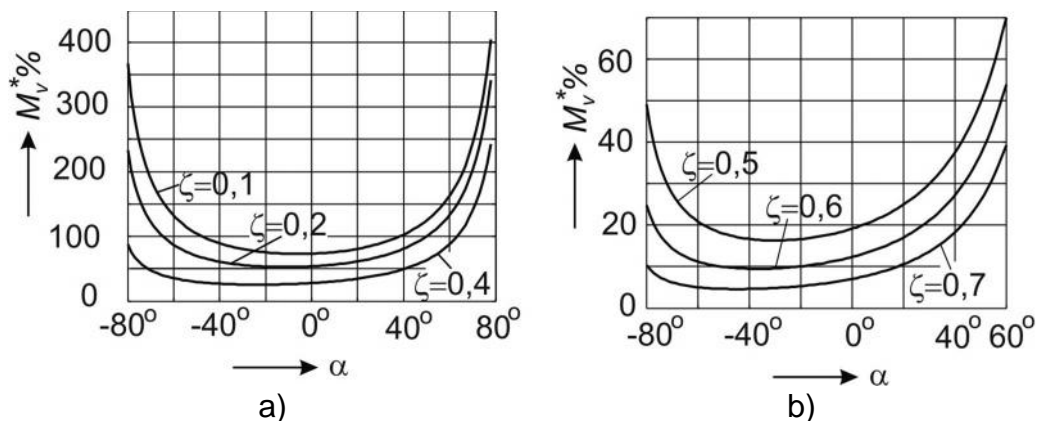


Fig. 4.42

4.7.3.3 Calculul timpului de stabilire pentru elementul discret de ordinul doi

Timpul de stabilire t_s^* pentru elementul de ordinul doi se determină analitic pornind de la relația de definiție a acestuia:

$$|y^*(t_s^*) - y_{st}^*| \leq 0,05 y_{st}^*,$$

rela ie în care înlocuim $y_{st}^* = 1$ i expresia r spunsului (4.316). În acest fel rezult rela iile:

$$\left| 1 + |\sec \alpha| e^{-\zeta \omega_n t_s^*} \cos(\omega_n \sqrt{1 - \zeta^2} t_s^* + \alpha - \pi) - 1 \right| \leq 0,05,$$

$$|\sec \alpha| e^{-\zeta \omega_n t_s^*} \left| \cos(\omega_n \sqrt{1 - \zeta^2} t_s^* + \alpha - \pi) \right| \leq 0,05,$$

respectiv dup majorarea cosinusului cu valoarea 1 se ob ine:

$$|\sec \alpha| e^{-\zeta \omega_n t_s^*} \leq 0,05.$$

În final rezult expresia timpului de stabilire normalizat

$$\omega_n t_s^* = - \frac{\ln(0,05 \cdot |\cos \alpha|)}{\zeta}. \quad (4.319)$$

Analiza grafo-analitic realizat pe baza curbelor trasate în MATLAB, curbe prezentate în fig. 4.43 eviden iaz faptul c pentru $|\alpha| < 70^\circ$, timpul de stabilire poate fi aproximat acoperitor, în cazul unei benzi de toleran de 5%, cu o rela ie similar cu cea folosit la sistemul continuu de ordinul doi, adic :

$$\omega_n t_s^* \cong \frac{4}{\zeta}. \quad (4.320)$$

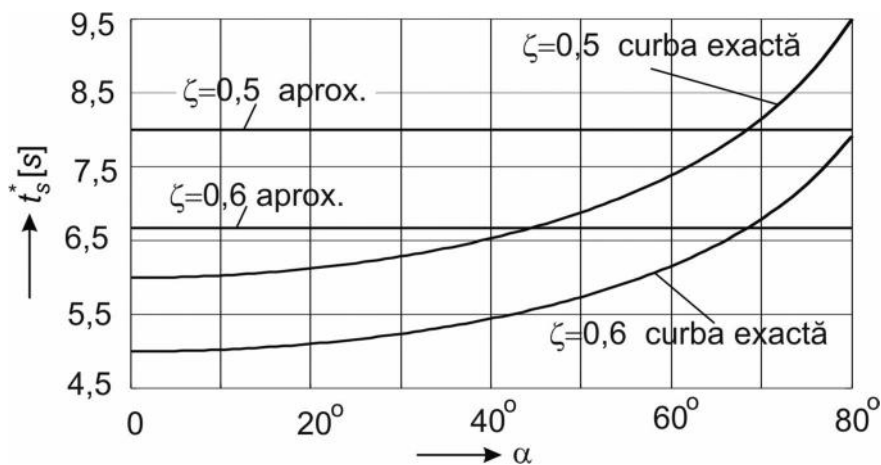


Fig. 4.43

4.7.3.4 Domenii de alocare a polilor pentru elementul discret de ordinul doi

Adoptarea polilor sistemului discret de ordinul doi pe baza valorii suprareglajului este practic imposibil , deoarece expresia (4.308) este extrem de complicat , fiind dependent de doi parametrii. Presupunând cunoscut perioada de e antionare, polii se pot adopta relativ u or dac se utilizeaz curbele loc geometric ale polilor discre i pentru $\zeta = \text{ct.}$, respectiv $\omega_n T_e = \text{ct.}$, curbe trasate în interiorul cercului de raz unitar . Aceste curbe loc geometric desenate pe baza rela iei 4.307 se ob in u or folosind func ia **zgrid** din mediul MATLAB.

Astfel, pentru $\zeta = \text{ct.}$ și $\omega_n T_e$ variabil se obțin curbele (locurile geometrice) ale polului p_1 din figura 4.44, corespunzător valorilor $\zeta = 0; 0,1; 0,2; \dots 1$. Evident din 4.307 pentru $\zeta = 0$ vom avea $|p_{1,2}| = 1$, deci polii se deplasează pe cercul unitar în funcție de valorile $\omega_n T_e$. Sistemul discret este, în acest caz, ca și sistemul continuu corespunzător, la limita de stabilitate.

Pentru $\zeta = 1$, din relația 4.307 rezultă $\arg p_{1,2} = 0$, deci polii se deplasează pe axa reală.

Pentru $\omega_n T_e = \text{ct.}$ și ζ variabil se obțin curbele polului p_1 trasate în fig. 4.44 pentru valorile $\omega_n T_e = 0,05\pi; 0,1\pi; \dots 0,95\pi; \pi$.

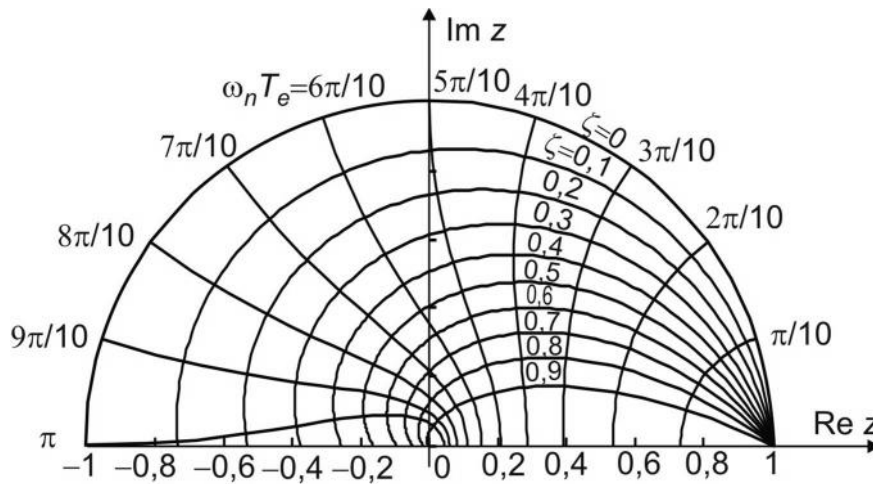


Fig. 4.44

Curbele loc geometric pentru polii elementului T2 discret care asigură timp de stabilire constant

Din relația 4.307 rezultă că modulul polului elementului T2 discret este

$$|p_1| = e^{-\zeta \omega_n T_e}.$$

Considerând $t_s^* = \text{ct.}$, din relația (4.320) vom avea

$$\zeta \omega_n = \frac{4}{t_s^*},$$

deci

$$|p_1| = e^{-4T_e / t_s^*}. \quad (4.321)$$

Prin urmare, pentru t_s^* și T_e cu valori date, modulul polului este constant, deci locul geometric va fi un cerc cu raza egală cu $\exp(-4T_e / t_s^*)$. Evident raza cercurilor loc geometric este subunitară, fiind de regulă mai mare de 0,5 (deoarece în general t_s^* are mai mult de 5 perioade de eantionare).

4.7.4 Analiza comparativ a r spunsurilor tranzitorii ale sistemelor continuu i discret cu ER0 i f r ER0

Consider m pentru început sistemul continuu cu reac ie negativ unitar având schema bloc din figura 4.45.

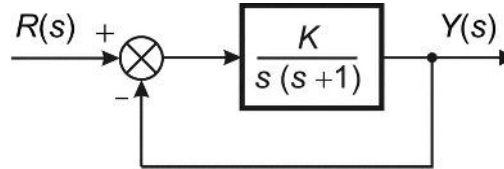


Fig. 4.45

Func ia de transfer a sistemului închis este:

$$\frac{Y(s)}{R(s)} = \frac{K}{s^2 + s + K}.$$

Luând $K=1$, rezult c sistemul continuu în circuit închis este un element de ordinul doi cu $\zeta=0,5$ i $\omega_n=1$. Presupunând condi ii ini iale nule, r spunsul la m rime de intrare treapt unitar va fi:

$$y(t) = 1 - \frac{e^{-\zeta\omega_n t}}{\sqrt{1-\zeta^2}} \sin(\omega_n \sqrt{1-\zeta^2} t + \varphi),$$

respectiv, dup înlocuirea valorilor numerice:

$$y(t) = 1 - 1,157e^{-0,5t} \sin(0,866t + \pi/3)$$

R spunsul descris de expresia de mai sus, prezentat în figura 4.46, pune în eviden un suprareglaj aproximativ de 16,5% i un timp de stabilire de ~8 secunde.

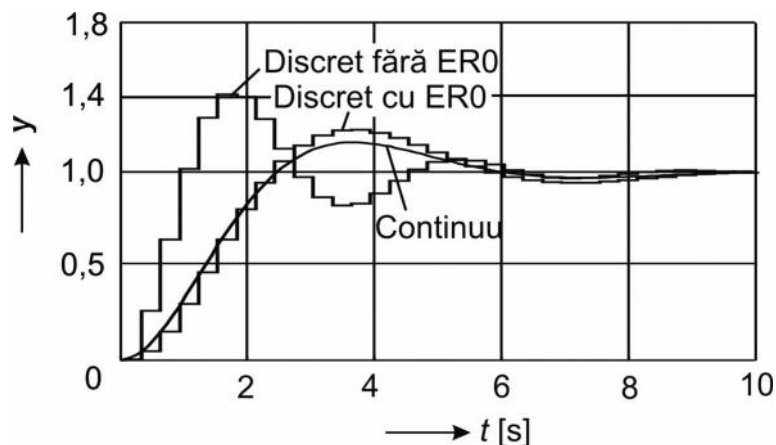


Fig. 4.46

În continuare consider m un e antionor pe m rimea de eroare, ca în figura 4.47.

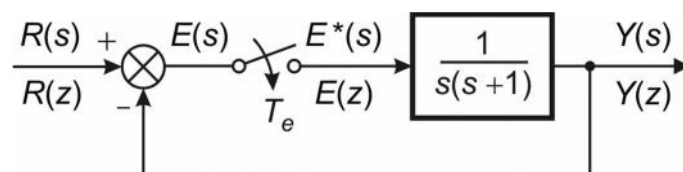


Fig. 4.47

Funcția de transfer în z a sistemului deschis va fi acum

$$G(z) = Z\left\{\frac{1}{s(s+1)}\right\} = \frac{z(1-e^{-T_e})}{(z-1)(z-e^{-T_e})},$$

unde T_e este perioada de eantionare.

Având în vedere c

$$G_0(z) = \frac{Y(z)}{R(z)} = \frac{G(z)}{1+G(z)},$$

în cazul considerat rezult :

$$\frac{Y(z)}{R(z)} = \frac{z(1-e^{-T_e})}{z^2 - 2ze^{-T_e} + e^{-T_e}}.$$

Pentru început alegem valoarea $T_e = 0,3s$, care este suficient de mic fa de constanta de timp dominant a sistemului deschis ($T_f = 1s$). Funcția de transfer za sistemului închis cu eantionare a erorii, f r element de re inere este:

$$\frac{Y(z)}{R(z)} = \frac{0,2592z}{z^2 - 1,482z + 0,741}.$$

R spunsul elementului discret ob inut în MATLAB pentru acest caz este prezentat comparativ cu cel al sistemului continuu în figura 4.46. Se constată c sistemul discret are un suprareglaj mai mare (~42%) i un grad de oscila ie mai accentuat decât al sistemului continuu. Durata regimului tranzitoriu (timpul de stabilire) este aproximativ egal în cele două cazuri (7,5 s la sistemul discret i 8,08 s la sistemul continuu). Prin simul ri repetate în MATLAB se ob ine o valoare a factorului de amplificare $K \cong 13,43$ pentru care sistemul discret ajunge la limita de stabilitate.

În continuare analiz m r spunsul sistemului discret cu element de re inere de ordin zero, cu schema bloc prezentat în figura 4.48.

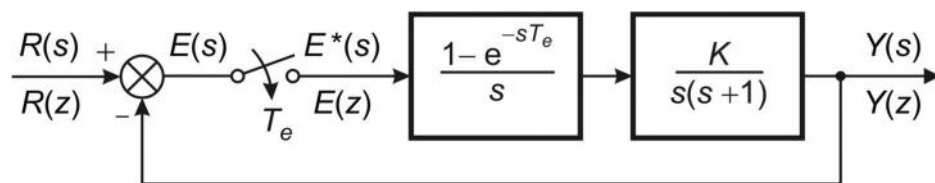


Fig. 4.48

Funcția de transfer a elementului continuu cu ER se determină cu relațiile succesive:

$$G_{ER}G(z) = Z\left\{\frac{1-e^{-sT_e}}{s}G(s)\right\} = (1-z^{-1})Z\left\{\frac{K}{s^2(s+1)}\right\} = K(1-z^{-1})Z\left\{\frac{1}{s^2} - \frac{1}{s} + \frac{1}{s+1}\right\},$$

respectiv

$$G_{ER}G(z) = K(1-z^{-1})\left[\frac{T_e z}{(z-1)^2} - \frac{z}{z-1} + \frac{z}{z-e^{-T_e}}\right],$$

de unde după efectuarea calculelor se obține:

$$G_{ER}G(z) = K \frac{z(e^{-T_e} + T_e - 1) + (1 - e^{-T_e} - T_e e^{-T_e})}{z^2 - (1 + e^{-T_e})z + e^{-T_e}}.$$

Înlocuind $T_e = 0,3\text{ s}$ și $K = 1$ rezultă funcțiile de transfer z ale sistemului discret în circuit deschis:

$$G_{ER}G(z) = \frac{0,04082z + 0,03694}{z^2 - 1,741z + 0,7408},$$

respectiv a sistemului în circuit închis:

$$G_0(z) = \frac{0,04082z + 0,03694}{z^2 - 1,7z + 0,7778}.$$

Sistemul discret cu element de reținere de ordinul zero a fost simulat în MATLAB și rezultatul obținut este prezentat grafic în figura 4.46.

Folosind meniul Characteristic în fereastra grafică MATLAB obținut cu funcția step se constată că în acest caz suprareglajul este de ~23%, deci mult mai mic decât la sistemul eantionat fără ER0, fiind destul de aproape de valoarea suprareglajului sistemului continuu. Acest fapt rezultă ca urmare a valorii mici a perioadei de eantionare.

Din grafic se observă, de asemenea, că timpul de stabilire (cu valoarea de 8,75) este mai mare decât la sistemul continuu și la sistemul eantionat fără ER0.

Cu toate acestea suprareglajul sistemului cu ER0 este sensibil mai mic decât la sistemul eantionat fără ER0, totuși rezerva de stabilitate a primului este mult mai mică. Astfel, valoarea factorului de amplificare K la limita de stabilitate este $K = 7$ la sistemul cu ER0, față de $K = 13,43$ cât este la sistemul eantionat fără ER0.

În cele ce urmează vom analiza influența asupra performanțelor a perioadei de eantionare. În acest scop vom utiliza simulările în MATLAB care sunt realizate folosind programul cu codul prezentat în continuare:

```
K=1; Te=0.1;
numc=K;
denc=[1 1 K];
sysc=tf(numc,denc);
% se determina functia de transfer z a sistemului esantionat fara ER0
denc1=[1 1];
sysc1=tf(numc,denc1);
sysda1=c2d(sysc1,Te,'zoh');
sysda2=tf([1 0], [1 -1], -1);
sysdcd=series(sysda1,sysda2);
sysd1=feedback(sysdcd,1);
% se determina functia de transfer z a sistemului esantionat cu ER0
denc2=[1 1 0];
sysc2=tf(numc,denc2);
sysda3=c2d(sysc2,Te,'zoh');
sysd2=feedback(sysda3,1);
step(sysc,sysd1,sysd2,10), grid;
```

Câteva explicații legate de program. Funcția MATLAB **c2d** oferă posibilitatea de a calcula o funcție de transfer z în următoarele situații:

- cu ER de ordinul zero cu op iunea 'zoh';
- cu ER de ordinul unu cu op iunea 'foh';
- cu ER0 folosind schimbarea de variabil $s = \frac{2}{T_e} \frac{z-1}{z+1}$, cu op iunea 'tustin'.

Aadar în MATLAB nu este posibil să determinăm direct o funcție de transfer z pentru un sistem e antionat fără ER0. Pentru rezolvarea problemei se folosește un artificiu care va fi prezentat în continuare.

Cunoaștem faptul că :

$$Z\{G_{ER0}G(s)\} = Z\left\{\frac{1-e^{-sT_e}}{s}G(s)\right\} = (1-z^{-1})Z\left\{\frac{G(s)}{s}\right\},$$

îi având în vedere că :

$$Z\{G(s)\} = \frac{Z\{G_{ER0}(s)[sG(s)]\}}{1-z^{-1}},$$

rezultă că funcția de transfer z a sistemului e antionat deschis fără ER0 se poate calcula aplicând funcția $c2d$ cu op iunea 'zoh' funcției de transfer $sG(s)$ și apoi înmulțind rezultatul cu $z/(z-1)$. Acest procedeu este folosit în liniile 4-8 din programul listat mai înainte. Funcția de transfer a sistemului închis cu e antionare a erorii dar fără ER0 se determină în linia 9 a programului cu funcția MATLAB `feedback`.

Curbele răspunsurilor sistemelor continuu, discret fără ER0 și discret cu ER0, obținute cu programul MATLAB prezentat mai înainte pentru $K=1$ și $T_e=0,1$ sunt prezentate în figura 4.49.

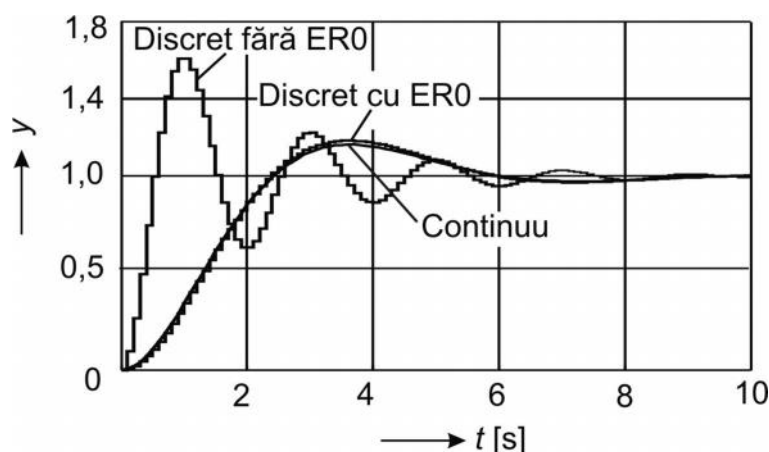


Fig. 4.49

Din examinarea curbelor prezentate se constată că, în cazul unei perioade de e antionare mai mic ($T_e=0,15$ în loc de 0,3 s) la sistemul e antionat fără ER0 suprareglajul crește în mod apreciabil (fiind acum de 60,7% față de 42%). De asemenea, crește gradul de oscilație în intervalul corespunzător regimului tranzitoriu. Cu toate acestea durata timpului de stabilire se modifică puțin (de la 7,5 la 7,3 s) și în mod aparent paradoxal rezerva de stabilitate crește de aproximativ 3 ori (la limita de stabilitate avem $K=40,35$ pentru sistemul cu $T_e=0,1$, respectiv $K=13,43$ la sistemul cu $T_e=0,3$).

În ceea ce privește sistemul discret cu ER0 se constată că la reducerea perioadei de eantionare se reduce și suprareglajul (de la 23% la $T_e = 0,3$ la 18,4% pentru sistemul cu $T_e = 0,1$). De asemenea, se reduce timpul de stabilire, care la $T_e = 0,1$ este de 8,3 s și în general răspunsul sistemului discret se apropie mult de cel al sistemului continuu. Cu toate acestea rezerva de stabilitate, care crește de la 7 pentru $T_e = 0,3$ la 20,7 pentru $T_e = 0,1$, este cu mult mai mică decât cea a sistemului continuu.

Concluzionând, prin eantionare se reduce rezerva de stabilitate și crește suprareglajul, respectiv gradul de oscilație (numai la sistemele fără ER0).

4.8 STABILITATEA SISTEMELOR DISCRETE

Stabilitatea sistemelor discrete cu reacție negativă poate fi evaluată, ca și la sistemele continue, pe baza poziției, în planul z , a polilor funcției de transfer a sistemului în circuit închis. Se reamintește că la sistemele continue stabilitatea absolută este asigurată, dacă toți polii (rădăcinile polinomului de la numitor) funcției de transfer a sistemului în circuit închis sunt plasate în semiplanul complex s , stâng. Altfel spus, polii au partea reală negativă. Se cunoaște de asemenea faptul că schimbarea de variabilă $z = e^{sT_e}$, prin care se obține funcția de transfer z din funcția de transfer s , transformă semiplanul s complex stâng în interiorul cercului de rază unitară din planul complex z . Prin urmare sistemele discrete cu reacție negativă sunt stabile dacă toți polii funcției de transfer z sunt amplasați, în planul complex z , în interiorul cercului de rază unitară. Pentru stabilirea unor notații se consideră sistemul discret în circuit închis cu eantionarea erorii, cu schema bloc din figura 4.50.

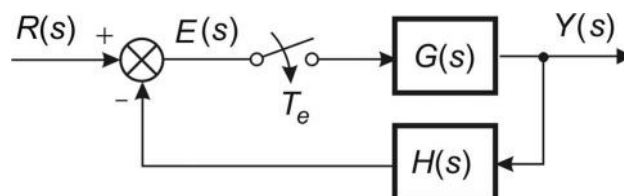


Fig. 4.50

Conform celor prezentate în secțiunea 4.6 funcția de transfer z a sistemului în circuit închis este (v. rel. (4.285)):

$$G_0(z) = \frac{Y(z)}{R(z)} = \frac{G(z)}{1 + GH(z)} = \frac{B(z)}{A(z)},$$

unde polinomul de la numitor are, într-un caz general, expresia:

$$A(z) = a_0 z^n + a_1 z^{n-1} + \dots + a_k z^{n-k} + \dots + a_{n-1} z + a_n. \quad (4.322)$$

De regulă însă $a_0 = 1$.

Notând cu p_j rădăcinile polinomului $A(z)$, avem următoarea condiție de stabilitate a sistemului discret:

dacă toți polii p_j ai funcției de transfer $G_0(z)$ sunt amplasați în planul z în interiorul cercului de rază unitară, atunci toate componentele răspunsului tranzitoriu ajung la starea de echilibru și prin urmare sistemul discret este stabil.

Matematic, condiția de stabilitate se exprimă conform relației următoare:

$$|p_i| < 1, \quad i = 1, \dots, n, \quad (4.323)$$

unde p_i sunt polii funcției de transfer a sistemului în circuit închis.

Stabilitatea unui sistem liniar discret este o proprietate intrinsecă a sistemului care nu depinde de mărimea de intrare a sistemului. Polii transformatei Z a mărimei de intrare nu afectează proprietatea de stabilitate a sistemului, aceștia determinând numai răspunsul staționar. Prin urmare, ca și la sistemele continue, problema stabilității se poate rezolva alegând polii funcției de transfer a sistemului închis astfel încât aceștia să fie amplasați în planul z în interiorul cercului de rază unitară. Polii sistemului închis cu $|p_i| = 1$ vor produce, în cadrul răspunsului, oscilații între inute de amplitudine constantă.

Se remarcă totuși faptul că amplasarea tuturor polilor în interiorul cercului de rază unitară nu garantează valori satisfăcătoare pentru performanțele răspunsului.

Dacă polii complex conjugați dominanți ai sistemului închis au modul ≈ 1 (dar < 1) răspunsul tranzitoriu poate să prezinte oscilații de amplitudine mari sau răspunsul este lent. În sistemele practice, pe lângă semnalele utile, există semnale parazite care pot face ca amplitudinea oscilațiilor să crească cu o viteză determinată de puterea zgomotului, fiind posibil apariția pericolului ca sistemul să devină chiar instabil.

Cu sistemele actuale de calcul, folosind mediul MATLAB, nu este o problemă dificilă să se calculeze polii unui sistem de ordin oarecare. Uneori însă se dorește să se testeze stabilitatea unei clase de sisteme, sau este necesară evaluarea stabilității în termenii unor coeficienți literali.

4.8.1 Criteriul de stabilitate Schur-Cohn

Calculul analitic al rădăcinilor polinomului $A(z)$ este dificil pentru $n \geq 3$. Evaluarea stabilității în aceste situații se poate face cu anumite metode algebrice, care folosesc coeficienții polinomului caracteristic.

Pentru introducerea formei generale a criteriului Schur-Cohn se consideră polinomul caracteristic al funcției de transfer a sistemului închis, scris conform expresiei (4.322) cu $a_k \in \mathbf{R}$.

Criteriul Schur-Cohn are următoarea formulare:

Un sistem cu ecuație diferențială este stabil dacă și numai dacă irul determinanților Schur-Cohn, $-1, \Delta_1, \Delta_2, \dots, \Delta_n$ are n variații ale semnului.

Determinantul Schur-Cohn de ordinul k este definit conform expresiei:

$$\Delta_k = \begin{vmatrix} a_n & 0 & \dots & 0 & 0 & a_0 & a_1 & \dots & a_{k-1} \\ a_{n-1} & a_n & \dots & 0 & 0 & 0 & a_0 & \dots & a_{k-2} \\ \dots & \dots & \dots & \dots & \dots & \dots & \dots & \dots & \dots \\ a_{n-k+1} & a_{n-k+2} & \dots & a_{n-1} & a_n & 0 & 0 & \dots & a_0 \\ a_0 & 0 & \dots & 0 & 0 & a_n & a_{n-1} & \dots & a_{n-k+1} \\ a_1 & a_0 & \dots & 0 & 0 & 0 & a_n & \dots & a_{n-k+2} \\ \dots & \dots & \dots & \dots & \dots & \dots & \dots & \dots & \dots \\ a_{k-1} & a_{k-2} & \dots & a_1 & a_0 & 0 & 0 & \dots & a_n \end{vmatrix}, \quad (4.324)$$

unde $k = 1, 2, \dots, n$.

Criteriul Schur-Cohn prezintă dezavantajul important că nu indică explicit, ca la criteriul Hurwitz de la sistemele continue, câte rădăcini sunt în afara cercului de rază unitară sau pe cercul cu rază egală cu unu.

Exemplul 33

Se dă sistemul cu polinomul caracteristic:

$$A(z) = (2z - 1)(z + 2) = 2z^2 + 3z - 2,$$

și se cere să se evalueze stabilitatea sistemului.

Se evaluează succesiv determinanții Schur-Cohn:

$$\Delta_1 = \begin{vmatrix} a_n & a_0 \\ a_0 & a_n \end{vmatrix} = \begin{vmatrix} -2 & 2 \\ 2 & -2 \end{vmatrix} = 0,$$

$$\Delta_2 = \begin{vmatrix} a_n & 0 & a_0 & a_1 \\ a_{n-1} & a_n & 0 & a_0 \\ a_0 & 0 & a_n & a_{n-1} \\ a_1 & a_0 & 0 & a_n \end{vmatrix} = \begin{vmatrix} -2 & 0 & 2 & 3 \\ 3 & -2 & 0 & 2 \\ 2 & 0 & -2 & 3 \\ 3 & 2 & 0 & -2 \end{vmatrix} = 144.$$

Într-unul din determinanții Schur-Cohn, $-1, 0, 144$, are o singură variație de semn. Prin urmare sistemul este instabil, deoarece pentru a fi stabil erau necesare două variații de semn.

Din exemplul prezentat se poate vedea că aplicarea criteriului Schur-Cohn este laborioasă și în plus că acesta are deficiența că nu specifică numărul rădăcinilor instabile (amplasate în exteriorul cercului de rază unitară).

4.8.2 Criteriul de stabilitate Jury

Criteriul de stabilitate Jury este mai simplu de aplicat decât criteriul Schur-Cohn, fiind într-o oarecare măsură asemănător criteriului Hurwitz de la sistemele continue. Pentru introducerea criteriului se consideră polinomul caracteristic al funcției de transfer a sistemului închis, scris conform expresiei (4.322) cu $a_k \in \mathbf{R}$.

Cu ajutorul coeficienților se formează recurent tabloul Jury conform schemei:

$$\begin{array}{ccccccc} z^n & z^{n-1} & \dots & z^0 & & & \\ a_0 & a_1 & \dots & a_n & & & \\ a_n & a_{n-1} & \dots & a_0 & & & \\ b_0 & b_1 & \dots & & & & \\ b_{n-1} & b_{n-2} & \dots & & & & \\ c_0 & c_1 & \dots & & & & \\ c_{n-2} & c_{n-3} & \dots & & & & \end{array} \quad (4.325)$$

unde

$$b_0 = a_0 - \frac{a_n}{a_0} a_n, \quad b_1 = a_1 - \frac{a_n}{a_0} a_{n-1}, \quad \dots, \quad b_k = a_k - \frac{a_n}{a_0} a_{n-k},$$

$$c_0 = b_0 - \frac{b_{n-1}}{b_0} b_{n-1}, \quad \dots, \quad c_k = b_k - \frac{b_{n-1}}{b_0} b_{n-1-k}. \quad (4.326)$$

Sistemul cu polinomul caracteristic $A(z)$ este stabil dac :

1) sunt verificate condi iile preliminare

$$A(1) > 0 \quad \text{și} \quad A(-1) > 0 \quad \text{pentru } n \text{ par, respectiv } A(-1) < 0 \quad \text{pentru } n \text{ impar} \quad (4.327)$$

i

2) to i termenii din prima coloan , rândurile impare, sunt pozitivi adic dac

$$a_0 > 0, \quad b_0 > 0, \quad c_0 > 0 \dots \quad (4.328)$$

Aceast schem de testare a stabilit ii este u or de implementat într-un program de calcul.

Exemplul 34

Pentru a se ilustra modul de aplicare al criteriului Jury, se consider sistemul de ordinul doi cu polinomul caracteristic:

$$A(z) = z^2 + a_1 z + a_2. \quad (4.329)$$

Se cere s se determine condi iile pe care trebuie s le îndeplineas coeficien ii a_1 i a_2 pentru ca sistemul s fie stabil.

Tabloul Jury al sistemului va avea urm toarea structur :

z^2	z^1	z^0	
1	a_1	a_2	
a_2	a_1	1	
$1 - a_2^2$	$a_1 - a_1 a_2$		
$a_1 - a_1 a_2$	$1 - a_2^2$		
$(1 - a_2^2)^2 - a_1^2 (1 - a_2)^2$			
$\frac{(1 - a_2^2)^2 - a_1^2 (1 - a_2)^2}{1 - a_2^2}$			

(4.330)

Din rândul 3 avem condi ia ca $1 - a_2^2 > 0$, de unde rezult c :

$$-1 < a_2 < 1. \quad (4.331)$$

Din rândul 5, având în vedere c numitorul este pozitiv de la condi ia anterioar , dup ce se scrie $(1 - a_2)^2$ ca factor comun, se ob ine condi ia:

$$(1 + a_2)^2 > a_1^2, \quad (4.332)$$

de unde rezult :

$$a_2 + 1 > a_1 \quad \text{și} \quad a_2 + 1 > -a_1. \quad (4.333)$$

Din cele 3 inegalități (4.331) și (4.333) se poate desena triunghiul de stabilitate prezentat în figura 4.51.

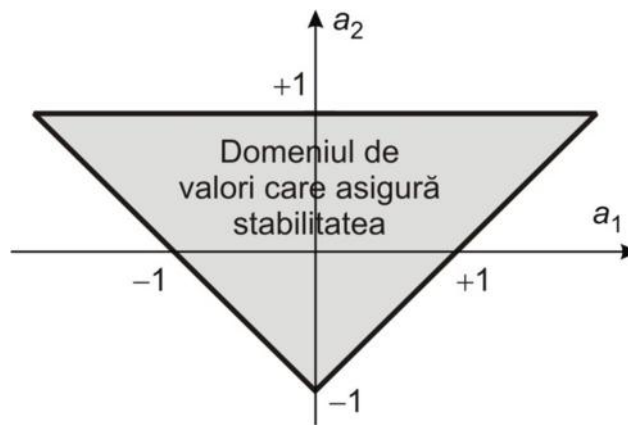


Fig. 4.51

Exemplul 35

Să se evalueze stabilitatea sistemului discret cu polinomul caracteristic:

$$A(z) = z^3 - 2,1z^2 + 1,6z - 0,4.$$

În prima etapă se calculează $A(1) = 0,1$ și $A(-1) = -5,1$. Deoarece $n=3$ este impar sunt verificate condițiile preliminare 4.304.

În continuare se formează tabloul Jury:

1	-2,1	1,6	-0,4
-0,4	1,6	-2,1	1
0,84	-1,46	0,76	
0,76	-1,46	0,84	
0,1524	-0,139		
-0,139	0,1524		

Coeficienții din prima coloană, rândurile impare, sunt: 1; 0,84; 0,1524. Se constată că acești termeni sunt pozitivi, prin urmare sistemul discret cu polinomul caracteristic dat este stabil. Acest lucru se verifică și prin faptul că rădăcinile acestui polinom $z_1 = 0,5$ și $z_{2,3} = 0,8 \pm 0,4j$ au modulul subunitar.

Exemplul 36

Să se aprecieze dacă sistemul discret cu polinomul caracteristic:

$$A(z) = z^3 - 2,6z^2 + 2,4z - 0,8,$$

este stabil, la limita de stabilitate sau instabil.

În prima etapă se calculează $A(1) = 0$ și $A(-1) = -6,8$. Prima condiție preliminară nu este verificată, $A(1)$ fiind egal cu zero, ceea ce înseamnă că polinomul caracteristic are o rădăcină egală cu unu, deci sistemul discret este la limita de stabilitate.

Un rezultat similar rezultă din tabloul Jury:

$$\begin{array}{cccc} 1 & -2,6 & 2,4 & -0,8 \\ 0,36 & -0,68 & 0,32 & \\ 0,0756 & -0,0756 & & \\ 0 & & & \end{array}$$

Examinând termenii din prima coloană se constată că nu toți sunt strict pozitivi. Faptul că termenul din ultimul rând este egal cu zero indică o rădăcină plasată pe cercul de rază unitară.

Rezolvând efectiv ecuația $A(z) = 0$, se obține $z_1 = 1$ și $z_{2,3} = 0,8 \pm 0,4j$.

4.8.3 Criteriul de stabilitate Routh-Hurwitz

Aplicarea directă a criteriului Routh, în forma prezentată la sistemele continue, funcțiilor de transfer z nu este posibilă deoarece domeniul de stabilitate este, în cazul discret, interiorul cercului de rază unitară.

Criteriul se poate totuși aplica, dacă se transformă, printr-o transformare conformă, interiorul cercului de rază unitară în semiplanul complex stâng. Există două tipuri de transformări conforme (omografice):

– transformarea w

$$z = \frac{1+w}{1-w}, \quad (4.334)$$

– transformarea r

$$z = \frac{r+1}{r-1}. \quad (4.335)$$

În figura 4.52 se prezintă modul în care cele două schimbări de variabile transformă interiorul cercului de rază unitară din planul z în semiplanul complex stâng w , respectiv r .

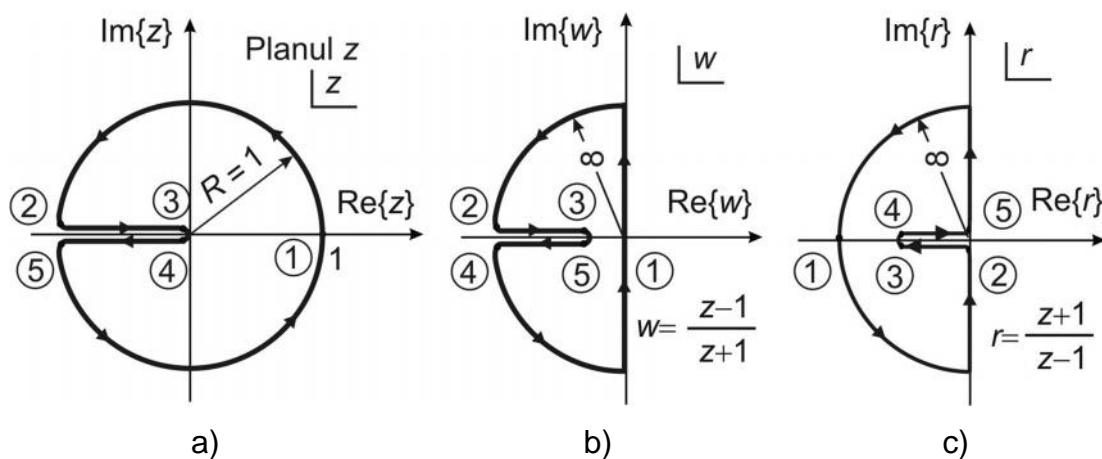


Fig. 4.52

Ambele transformări vor schimba ecuația caracteristică inițială, care este o funcție de z ,

Într-un raport a două polinoame în r sau w de același ordin. Evident noua ecuație caracteristică este polinomul de la numărător. Niciuna dintre cele două transformări nu are un avantaj respectiv dezavantaj față de cealaltă. În continuare vom ilustra cu câteva exemple modul de analiză a stabilității sistemelor discrete cu criteriul Routh care folosește transformata r .

Observație: Înainte de aplicarea efectivă a criteriului Routh se verifică dacă toți coeficienții ecuației caracteristice în w sau r sunt pozitivi. După cum tim de la sistemele continue în cazul în care această condiție nu este îndeplinită sistemul nu este stabil și nu mai este necesară verificarea cu criteriul Routh.

Exemplul 37

Considerăm sistemul cu ecuația caracteristică în z

$$A_z(z) = (z+1)(z+0.5)(z+2) = z^3 + 3.5z^2 + 3.5z + 1.$$

Folosind criteriul Routh să se evalueze stabilitatea sistemului discret.

Din expresia factorizată a ecuației caracteristice se constată că unul din rădăcinile este egal cu 1 (a adăugat pe cercul de rază unitară), iar alta are valoarea -2, deci este în afara cercului de rază unitară.

Pentru a aplica criteriul Routh se aplică schimbarea de variabilă ecuației caracteristice în z . Astfel se obține:

$$P(r) = \left(\frac{r+1}{r-1}\right)^3 + 3.5 \left(\frac{r+1}{r-1}\right)^2 + 3.5 \left(\frac{r+1}{r-1}\right) + 1,$$

$$P(r) = \frac{(r+1)^3 + 3.5(r+1)(r-1)(r+1+r-1) + (r-1)^3}{(r-1)^3} = \frac{9r^3 - r}{(r-1)^3},$$

de unde se obține ecuația caracteristică în r , $A_r(r) = 9r^3 - r$ cu tabloul Routh:

r^3	9	-1
r^2	0; 27	0; -1
r^1	$\frac{-27+9}{27} = -\frac{18}{27} = -\frac{2}{3}$	0
r^0	-1	0

Deoarece coeficienții din rândul doi sunt toți egali cu zero aceștia se înlocuiesc cu valorile obținute după derivarea polinomului format cu coeficienții din rândul anterior adică, $\frac{dA_r(r)}{dr} = 27r^2 - 1$. Examinând termenii din prima coloană se observă că există

o schimbare de semn deci sistemul discret este instabil. Rezultatul obținut (sistem instabil) era previzibil deoarece:

- 1) nu toți coeficienții polinomului caracteristic $A_r(r)$ sunt pozitivi și diferiți de zero;
- 2) rădăcinile ecuației caracteristice $A_r(r) = 9r^3 - r$, care se pot calcula ușor, sunt $r_1 = 0$, $r_{2,3} = \pm 1/3$. Prin urmare avem o rădăcină nulă și una în semiplanul complex drept.

O aplica ie interesant a criteriului Routh este analiza stabilit ii sistemele discrete în func ie de valorile perioadei de e antionare.

Exemplul 38

Se d sistemul discret în circuit închis cu func ia de transfer z

$$G_0(z) = \frac{Y(z)}{R(z)} = \frac{Kz(1-a)}{z^2 + z[K(1-a) - (1+a)] + a},$$

unde $a = e^{-T_e/T}$, cu T având valoare dat (cunoscut). Folosind criteriul Routh cu transformarea de variabil r, s se analizeze stabilitatea sistemului discret în func ie de valorile perioadei de e antionare, respectiv ale parametrului $b = T_e/T$.

Rezolvare

Se aplic schimbarea de variabil

$$z = \frac{r+1}{r-1},$$

ecua iei caracteristice în z , $A_r(z) = z^2 + z[K(1 - e^{-T_e/T}) - (1 + e^{-T_e/T})] + e^{-T_e/T}$. Dup efectuarea calculelor se ob ine ecua ia caracteristic în r

$$A(r) = Kr^2 + 2r + \frac{2(1 + e^{-T_e/T})}{1 - e^{-T_e/T}} - K = Kr^2 + 2r + \frac{2(1 + e^{-b})}{1 - e^{-b}} - K, \text{ cu tabloul Routh}$$

r^2	K	$\frac{2(1 + e^{-b})}{1 - e^{-b}} - K$
r^1	2	0
r^0	$\frac{2(1 + e^{-b})}{1 - e^{-b}} - K$	0

Pentru ca sistemul s fie stabil este necesar ca to i termenii din prima coloan s fie pozitivi, adic este necesar s avem

$$f(b) = \frac{2(1 + e^{-b})}{1 - e^{-b}} = \frac{2(1 + e^{-T_e/T})}{1 - e^{-T_e/T}} > K > 0.$$

În figura 4.53 se prezint curba $f(b)$ i domeniile de valori pentru care sistemul este stabil respectiv instabil.

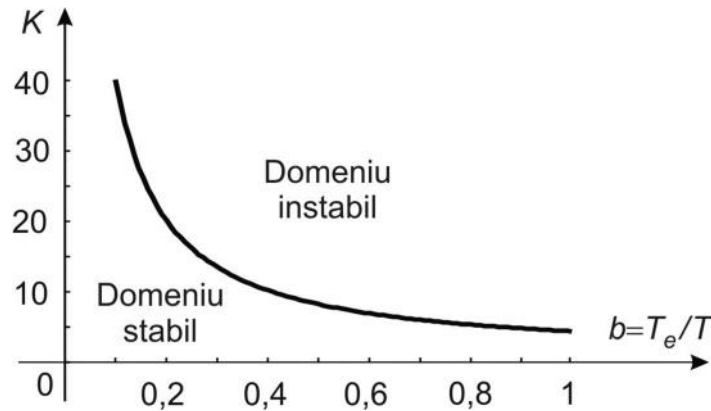


Fig. 4.53

Analiza exemplului anterior permite deducerea unor condiții generale care pot fi utilizate pentru evaluarea stabilității unui element discret de *ordinul doi*. Vom prezenta în continuare demonstrația (pe care o propunem ca exercițiu pentru cititor) condițiilor generale care pot fi utilizate pentru evaluarea stabilității elementului discret de *ordinul doi*; pornind de la ecuația caracteristică z , $A_z(z) = a_0 z^2 + a_1 z + a_2$ condițiile se exprimă conform relațiilor:

$$A_z(1) = a_0 + a_1 + a_2 > 0, \quad (4.336)$$

$$A_z(-1) = a_0 - a_1 + a_2 > 0, \quad (4.337)$$

$$|A_z(0)| = |a_2| < 1. \quad (4.338)$$

Se observă că relațiile (4.336-337) sunt similare cu condițiile preliminare de la criteriul Jury, iar relația (4.338) exprimă condiția ca rădăcinile să fie plasate în interiorul cercului de rază unitară.

Exemplul 39

Considerăm sistemul de reglare numeric, cu eliminarea erorii și element de reținere de ordin zero, care are funcția de transfer în circuit deschis

$$G(s) = \frac{K}{s(sT + 1)}.$$

- Se determine funcția de transfer z a sistemului în circuit închis;
- Se analizeze stabilitatea sistemului discret în funcție de valorile perioadei de eantionare respectiv în funcție de valorile raportului $b = T_e/T$.

Se impune observația că sistemul discret din acest exemplu rezultă pornind de la același sistem continuu ca la exemplul anterior; diferența este dată de faptul că, acum, sistemul în circuit deschis are *element de reținere de ordin zero*.

Rezolvare

Se calculează funcția de transfer z a sistemului deschis cu element de reținere de ordin zero:

$$G(z) = (1 - z^{-1}) \mathcal{Z} \left\{ \frac{K}{s^2(sT + 1)} \right\}.$$

În acest scop se determină mai întâi dezvoltarea în fracții simple a funcției complexe din paranteza acoladă

$$\frac{1}{s^2(sT + 1)} = \frac{1/T}{s^2(s + 1/T)} = \frac{c_1}{s^2} + \frac{c_2}{s} + \frac{c_3}{s + 1/T},$$

unde

$$c_1 = [s^2 Y(s)]_{s=0} = \left[\frac{1/T}{s + 1/T} \right]_{s=0} = 1,$$

$$c_2 = \frac{d}{ds} \left[\frac{1/T}{s + 1/T} \right]_{s=0} = \left[\frac{-1/T}{(s + 1/T)^2} \right]_{s=0} = -T,$$

$$c_3 = \left[\left(s + \frac{1}{T} \right) \frac{1/T}{s^2(s + 1/T)} \right]_{s=-1/T} = \left[\frac{1/T}{s^2} \right]_{s=-1/T} = T,$$

deci

$$\frac{1/T}{s^2(s + 1/T)} = \frac{1}{s^2} - \frac{T}{s} + \frac{T}{s + 1/T}.$$

Aplicând transformata z termenilor din dezvoltare se obține funcția de transfer z a sistemului deschis:

$$G(z) = (1 - z^{-1}) K \left[\frac{zT_e}{(z-1)^2} - \frac{zT}{z-1} + \frac{zT}{z - e^{-T_e/T}} \right] = KT \left[\frac{b}{z-1} - 1 + \frac{z-1}{z - e^{-b}} \right],$$

$$G(z) = KT \frac{(z-1)^2 - (z-1)(z - e^{-b}) + b(z - e^{-b})}{(z-1)(z - e^{-b})} = KT \frac{z(b + e^{-b} - 1) + 1 - e^{-b} - be^{-b}}{(z-1)(z - e^{-b})}.$$

Funcția de transfer z a sistemului închis va fi:

$$G(z) = \frac{z^2 + z[KT(b + e^{-b} - 1) - (1 + e^{-b})] + KT(1 - e^{-b} - be^{-b}) + e^{-b}}{(z-1)(z - e^{-b})},$$

cu ecuația caracteristică

$$A_z(z) = z^2 + z[KT(b + e^{-b} - 1) - (1 + e^{-b})] + KT(1 - e^{-b} - be^{-b}) + e^{-b}.$$

Pentru evaluarea stabilității se aplică relațiile (4.336-338):

$$A_z(1) = KTb(1 - e^{-b}) > 0, \quad (a)$$

$$A_z(-1) = 2(1 + e^{-b}) - KT[b(1 + e^{-b}) + 2(e^{-b} - 1)] > 0, \quad (b)$$

$$|A_z(0)| = |KT(1 - e^{-b} - be^{-b}) + e^{-b}| < 1. \quad (c)$$

Deoarece K, T și $b = T_e / T$ sunt pozitivi, condiția (a) este îndeplinită oricare ar fi b mai mare ca zero. Condiția (b) conduce la relația echivalentă :

$$KT < \frac{2(1+e^{-b})}{b(1+e^{-b})+2(e^{-b}-1)} = f_1(b),$$

iar din (c) se obține, având în vedere că termenii din modul sunt ambii pozitivi, relația:

$$KT < \frac{1-e^{-b}}{1-e^{-b}-be^{-b}} = f_2(b).$$

Cu un program MATLAB se verifică ușor că pentru $b > 0$, $f_2(b) < f_1(b)$, deci condiția finală, este conform relației:

$$KT < \frac{1-e^{-b}}{1-e^{-b}-be^{-b}}.$$

În figura 4.54 se prezintă comparativ graficul funcției $KT = f_2(b)$, cu $T = 1$, și curba factorului de amplificare K al sistemului discret din exemplul precedent. Presupunând $T = 1$ se constată că rezerva de stabilitate a sistemului cu element de reținere de ordin zero este mai mică, deoarece factorul de amplificare care aduce sistemul cu ER0 la limita de stabilitate (de exemplu pentru $b = T_e / T = 0,1$) este mai mic ($K = 20$) decât în cazul sistemului fără ER0 la care avem $K = 40$.

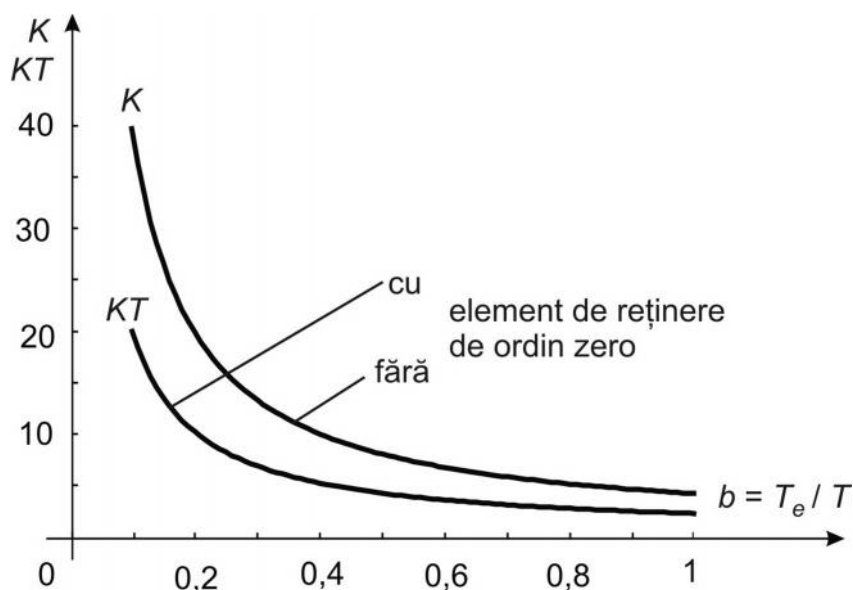


Fig. 4.54

4.9 ANALIZA ERORILOR STAȚIONARE LA SISTEMELE LINIARE DISCRETE

Se consideră sistemul discret de reglare cu reacție unitară cu schema bloc prezentată în figura 4.55, unde $G(z)$ este funcția de transfer a sistemului în circuit deschis.

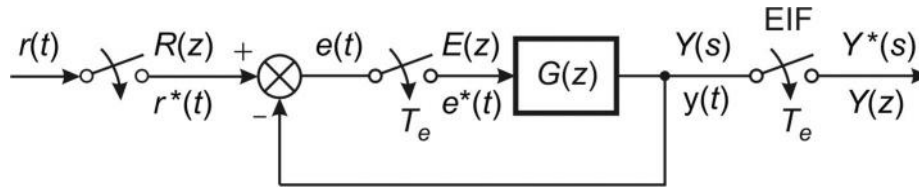


Fig. 4.55

Funcția de transfer a sistemului închis este:

$$G_0(z) = \frac{Y(z)}{R(z)} = \frac{G(z)}{1 + G(z)},$$

unde $R(z) = \mathcal{Z}\{r(t)\}$ este transformata z a rimii de referință $r(t)$.

Mărimea de eroare sau abaterea de reglare a sistemului de reglare, notată $e(t)$, se consideră mărimea de ieșire a sumatorului din schema bloc a sistemului în circuit închis. Mărimea de eroare eantionată este

$$e^*(t) = r^*(t) - y^*(t), \quad (4.339)$$

iar valoarea staționară a acesteia va fi

$$e_{st}^* = \lim_{t \rightarrow \infty} e^*(t) = \lim_{k \rightarrow \infty} e(kT_e). \quad (4.340)$$

Calculul erorii staționare se face presupunând cunoscute funcțiile de transfer ale sistemului deschis $G(z)$ sau închis $G_0(z)$ și mărimea de intrare $r(t)$, respectiv transformata z a acesteia, $R(z)$.

Calculul în cazul general se realizează cu teorema valorii finale care se aplică transformatei z a semnalului eantionat de eroare

$$e_{st}^* = \lim_{z \rightarrow 1} (1 - z^{-1}) E(z). \quad (4.341)$$

Din schema bloc se vede că

$$E(z) = R(z) - Y(z) = R(z) - G(z)E(z),$$

de unde rezultă

$$E(z) = \frac{R(z)}{1 + G(z)},$$

respectiv

$$e_{st}^* = \lim_{z \rightarrow 1} (1 - z^{-1}) \frac{R(z)}{1 + G(z)}. \quad (4.342)$$

Rezultă astfel o relație generală de calcul a erorii staționare care folosește funcția de transfer a sistemului în circuit deschis $G(z)$ și transformata z a semnalului de intrare.

Eroarea staționară se poate calcula de asemenea folosind funcția de transfer a sistemului în circuit închis $G_0(z)$ care se corelează cu funcția de transfer a sistemului deschis cu expresia

$$G_0(z) = \frac{G(z)}{1 + G(z)},$$

de unde rezultă

$$G(z) = \frac{G_0(z)}{1 - G_0(z)}. \quad (4.343)$$

Înlocuind (4.343) în (4.342) rezultă

$$e_{st}^* = \lim_{z \rightarrow 1} (1 - z^{-1}) \frac{R(z)}{1 + \frac{G_0(z)}{1 - G_0(z)}} = \lim_{z \rightarrow 1} (1 - z^{-1}) [1 - G_0(z)] R(z). \quad (4.344)$$

Acest rezultat se poate obține direct observând că

$$E(z) = R(z) - Y(z) = R(z) - G_0(z)R(z) = R(z)[1 - G_0(z)]. \quad (4.345)$$

Recapitulând, rezultă următoarele expresii generale de calcul a erorii staționare a unui sistem liniar discret (SLD) :

$$\text{I) } e_{st}^* = \lim_{z \rightarrow 1} (1 - z^{-1}) \frac{R(z)}{1 + G(z)}, \quad (4.346)$$

$$\text{II) } e_{st}^* = \lim_{z \rightarrow 1} (1 - z^{-1}) [1 - G_0(z)] R(z). \quad (4.347)$$

4.9.1 Calculul erorii staționare a SLD pe baza funcției de transfer a sistemului deschis $G(z)$

Este indicat ca funcția de transfer în circuit deschis să fie scrisă conform expresiei

$$G(z) = \frac{KB(z)}{(z-1)^\alpha A(z)}, \quad (4.348)$$

cu $\alpha = 0, 1$, cel mult 2.

4.9.1.1 Eroarea staționară la mărime de intrare (referință) treaptă

Avem în acest caz

$$r(t) = 1_+(t) \quad \text{și} \quad R(z) = \frac{z}{z-1} = \frac{1}{1-z^{-1}}. \quad (4.349)$$

Înlocuind (4.349) în (4.346) se obține:

$$e_{st}^{*1} = \lim_{z \rightarrow 1} (1 - z^{-1}) \frac{1}{1 - z^{-1}} \frac{1}{1 + G(z)} = \frac{1}{1 + \lim_{z \rightarrow 1} G(z)}.$$

Se introduce notația $K_p^* = \lim_{z \rightarrow 1} G(z)$, unde K_p^* se numește coeficient de eroare de poziție a sistemului discret.

Rezultă astfel relația de calcul a erorii staționare a unui SLD:

$$e_{st}^{*1} = \frac{1}{1 + K_p^*}. \quad (4.350)$$

Valorile coeficientului de eroare de poziție, K_p^* , depind de tipul sistemului, respectiv de valorile lui α din relația (4.348)

$$K_p^* = \lim_{z \rightarrow 1} G(z) = \lim_{z \rightarrow 1} \frac{KB(z)}{(z-1)^\alpha A(z)} = \begin{cases} K_d & \alpha = 0 \\ \infty & \alpha = 1, 2 \end{cases}, \quad (4.351)$$

unde s-a notat $K_d = K \frac{B(1)}{A(1)}$.

Din (4.350) și (4.351) rezultă în final

$$e_{st}^{*1} = \begin{cases} \frac{1}{1 + K_d} & \alpha = 0 \\ 0 & \alpha = 1, 2 \end{cases}, \quad (4.352)$$

unde cu e_{st}^{*1} s-a notat eroarea staționară a sistemului discret la o mărime de intrare treaptă unitară.

Concluzie importantă : Un sistem liniar discret are eroarea staționară nulă la o mărime de intrare treaptă dacă și numai dacă funcția de transfer a sistemului în circuit deschis conține cel puțin un pol egal cu 1.

4.9.1.2 Eroarea staționară la mărime de intrare rampă unitară

În acest caz avem

$$r(t) = \begin{cases} t & t \geq 0 \\ 0 & t < 0 \end{cases}, \quad R(z) = \frac{T_e z}{(z-1)^2} = \frac{T_e z^{-1}}{(1-z^{-1})^2}. \quad (4.353)$$

Înlocuind (4.353) în (4.346) rezultă

$$e_{st}^{*t} = \lim_{z \rightarrow 1} (1 - z^{-1}) \frac{T_e z^{-1}}{(1 - z^{-1})^2} \frac{1}{1 + G(z)},$$

$$e_{st}^{*t} = \lim_{z \rightarrow 1} \frac{1}{\frac{z-1}{T_e} + \frac{z-1}{T_e} G(z)} = \frac{1}{\lim_{z \rightarrow 1} \frac{z-1}{T_e} G(z)}. \quad (4.354)$$

Se introduce notația

$$K_v^* = \lim_{z \rightarrow 1} \frac{z-1}{T_e} G(z), \quad (4.355)$$

K_v^* fiind numit coeficient de eroare de viteză.

Cu această notație rezultă expresia

$$e_{st}^{*t} = \frac{1}{K_v^*}. \quad (4.356)$$

Valorile coeficientului de eroare de viteză depind de tipul sistemului, respectiv de valoarea lui α . Înlocuind (4.348) în relația de definiție a coeficientului de eroare de viteză rezultă

$$K_v^* = \lim_{z \rightarrow 1} \frac{z-1}{T_e} \frac{KB(z)}{(z-1)^\alpha A(z)} = \lim_{z \rightarrow 1} \frac{1}{T_e} \frac{KB(z)}{(z-1)^{\alpha-1} A(z)} = \begin{cases} 0 & \alpha = 0 \\ K_d / T_e & \alpha = 1 \\ \infty & \alpha = 2 \end{cases} \quad (4.357)$$

În concluzie, eroarea staționară la mărime de intrare ramp unitară va fi

$$e_{st}^* = \begin{cases} \infty & \alpha = 0 \\ T_e / K_d & \alpha = 1 \\ 0 & \alpha = 2 \end{cases} \quad (4.358)$$

Concluzii:

- i. Un SLD are eroarea staționară la mărime de intrare rampă cu valoare finită dacă și numai dacă funcția de transfer a sistemului în circuit deschis conține cel puțin un pol unitar (egal cu 1).
- ii. Un SLD are eroare staționară la mărime de intrare rampă finită numai dacă eroarea staționară la treaptă este nulă.

4.9.2 Calculul erorii staționare a SLD pe baza funcției de transfer a sistemului în circuit închis $G_0(z)$

Acum este indicat ca funcția de transfer a sistemului în circuit închis să fie scrisă în formă factorizată conform expresiei:

$$G_0(z) = \frac{K_{d0} \prod_{i=1}^m (z - z_i)}{\prod_{j=1}^n (z - p_j)}, \quad (4.359)$$

unde K_{d0} este factorul de amplificare a sistemului discret în circuit închis, z_i cu $i = \overline{1, m}$ sunt zerourile funcției de transfer, iar p_j cu $j = \overline{1, n}$ sunt polii funcției de transfer.

Eroarea staționară se calculează cu relația generală

$$e_{st}^* = \lim_{z \rightarrow 1} (1 - z^{-1}) R(z) [1 - G_0(z)].$$

4.9.2.1 Eroarea staționară la treaptă

Deoarece în acest caz $r(t) = 1_+(t)$, respectiv $R(z) = \frac{z}{z-1}$, rezultă

$$e_{st}^{*1} = \lim_{z \rightarrow 1} \frac{z-1}{z} \frac{z}{z-1} [1 - G_0(z)] = 1 - \lim_{z \rightarrow 1} G_0(z) = 1 - \frac{K_{d0} \prod_{i=1}^m (1 - z_i)}{\prod_{j=1}^n (1 - p_j)}. \quad (4.360)$$

De aici se obține că eroarea staționară la treaptă este nulă, adică $e_{st}^{*1} = 0$ dacă $\lim_{z \rightarrow 1} G_0(z) = 1$, deci dacă

$$K_{d0} = \frac{\prod_{j=1}^n (1 - p_j)}{\prod_{i=1}^m (1 - z_i)}. \quad (4.361)$$

4.9.2.2 Eroarea staționară la rampă

Referința este $r(t) = t, t \geq 0$ cu transformata z , $R(z) = \frac{T_e z}{(z-1)^2}$, deci

$$e_{st}^{*t} = \lim_{z \rightarrow 1} (1 - z^{-1}) \frac{T_e z}{(z-1)^2} [1 - G_0(z)] = \lim_{z \rightarrow 1} \frac{z-1}{z} \frac{T_e z}{(z-1)^2} [1 - G_0(z)] = T_e \lim_{z \rightarrow 1} \frac{1 - G_0(z)}{z-1}.$$

Se observă că $e_{st}^{*t} \rightarrow \infty$ dacă $1 - \lim_{z \rightarrow 1} G_0(z) \neq 0$, deci dacă $\lim_{z \rightarrow 1} G_0(z) \neq 1$. Prin urmare eroarea staționară la rampă este finită numai în cazul în care $\lim_{z \rightarrow 1} G_0(z) = 1$, deci când eroarea la treaptă este nulă, situație în care

$$e_{st}^{*t} = \lim_{z \rightarrow 1} \frac{1 - G_0(z)}{z-1} = \frac{0}{0}, \text{ adică avem o nedeterminare.}$$

Pentru eliminarea acestei nedeterminări se poate folosi teorema lui l'Hospital dar rezultatul care se obține, în acest caz, nu este util din punct de vedere practic. Din acest motiv se va calcula eroarea la rampă apelând la coeficientul de eroare de viteză definit mai înainte

$$e_{st}^{*t} = \frac{1}{K_v^*}, \quad K_v^* = \lim_{z \rightarrow 1} \frac{z-1}{T_e} G(z). \quad (4.362)$$

Înlocuind $G(z)$ cu $\frac{G_0(z)}{1 - G_0(z)}$, în cazul $\lim_{z \rightarrow 1} G_0(z) = 1$, rezultă

$$K_v^* = \lim_{z \rightarrow 1} \frac{z-1}{T_e} \frac{G_0(z)}{1 - G_0(z)} = \frac{0}{0}.$$

Aplicând acum teorema lui l'Hospital avem

$$K_v^* = \frac{1}{T_e} \lim_{z \rightarrow 1} \frac{G_0(z) + (z-1)G_0'(z)}{-G_0'(z)} = \frac{1}{T_e} \lim_{z \rightarrow 1} \left[(1-z) - \frac{G_0(z)}{G_0'(z)} \right],$$

$$K_v^* = -\frac{1}{T_e} \lim_{z \rightarrow 1} \frac{G_0(z)}{G_0'(z)}. \quad (4.363)$$

Dar

$$\begin{aligned}\frac{G'_0(z)}{G_0(z)} &= \frac{d}{dz} [\ln G_0(z)] = \frac{d}{dz} \left[\ln \frac{K_{d0} \prod (z - z_i)}{\prod (z - p_j)} \right] = \\ &= \frac{d}{dz} \left[\ln K_{d0} + \sum_{i=1}^m \ln(z - z_i) - \sum_{j=1}^n \ln(z - p_j) \right] = \sum_{i=1}^m \frac{1}{z - z_i} - \sum_{j=1}^n \frac{1}{z - p_j},\end{aligned}$$

de unde obținem în final

$$K_v^* = -\frac{1}{T_e} \lim_{z \rightarrow 1} \frac{1}{\sum_{i=1}^m \frac{1}{z - z_i} - \sum_{j=1}^n \frac{1}{z - p_j}} = -\frac{1}{T_e} \frac{1}{\sum_{i=1}^m \frac{1}{1 - z_i} - \sum_{j=1}^n \frac{1}{1 - p_j}},$$

respectiv

$$e_{st}^{*t} = \frac{1}{K_v^*} = T_e \left[\sum_{j=1}^n \frac{1}{1 - p_j} - \sum_{i=1}^m \frac{1}{1 - z_i} \right]. \quad (4.364)$$

4.10 ANALIZA SISTEMELOR DISCRETE CU METODA LOCULUI R D CINILOR

Metoda locului r d cinilor poate fi aplicat cu u urin i în cazul sistemelor cu e antionare. În aplicarea metodei pornim de la func ia de transfer z a sistemului deschis. În acest scop consider m sistemul cu e antionare a erorii cu schema bloc prezentat în figura 4.56.

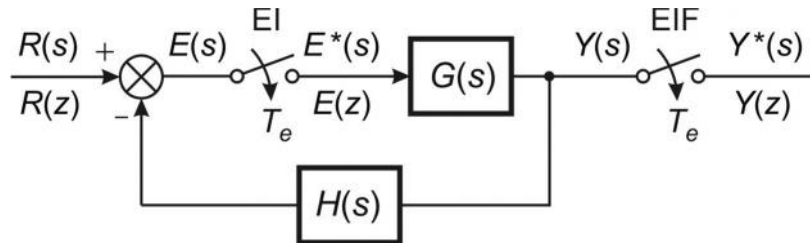


Fig. 4.56

Dup cum tim, func ia de transfer z a sistemului închis este

$$\frac{Y(z)}{R(z)} = \frac{G(z)}{1 + GH(z)},$$

unde $G(z)$ include de regul i func ia de transfer a elementului de re inere

$$GH(z) = \mathcal{Z}\{G(s)H(s)\}.$$

R d cinile sistemului închis, care ofer informa ia necesar pentru evaluarea stabilit ii sistemului discret de reglare, sunt determinate exclusiv de ecua ia caracteristic a sistemului:

$$1 + GH(z) = 0. \quad (4.365)$$

Deoarece $GH(z)$ este o funcție cu valori complexe, ecuația caracteristică poate fi scrisă sub forma echivalentă :

$$GH(z) = |GH(z)|e^{j\varphi} = 1 \cdot e^{j(2k+1)\pi}, \quad (4.366)$$

de unde, din egalarea modulului și argumentului din ambii membrii, rezultă condiția modulului:

$$|GH(z)| = 1, \quad (4.367)$$

și condiția argumentului:

$$\varphi = \angle GH(z) = \pm 180(2k+1), \quad k = 0, 1, \dots \quad (4.368)$$

Valorile lui z care îndeplinesc condițiile modulului și argumentului sunt rădăcinile ecuației caracteristice sau polii sistemului în circuit închis.

Pentru ca un punct să apară în locul rădăcinilor, este înșis suficient îndeplinirea uneia dintre cele două condiții. Prin urmare, reprezentarea grafică a punctelor din planul complex, care satisfac, de exemplu, numai condiția fazei este de fapt locul rădăcinilor pentru sistemul în circuit închis. Valorile rădăcinilor ecuației caracteristice (polii sistemului în circuit închis) care corespund unei valori date a factorului de amplificare se pot determina din condiția modulului. În cele mai multe cazuri, factorul de amplificare K reprezintă un parametru al funcției de transfer a sistemului deschis, $GH(z)$, și ecuația caracteristică se poate scrie conform expresiei:

$$1 + \frac{K(z-z_1)(z-z_2)\cdots(z-z_m)}{(z-p_1)(z-p_2)\cdots(z-p_n)} = 0, \quad (4.369)$$

prin urmare locul rădăcinilor este locul geometric al polilor sistemului închis când amplificarea K se modifică de la zero la infinit.

Remarcăm faptul că, pentru a începe desenarea locului rădăcinilor a unui sistem, trebuie să cunoaștem valorile polilor și zerourilor funcției $GH(z)$.

Reguli generale de trasare a locului rădăcinilor

Pentru sisteme complexe, cu mai multe singularități (poli și zerouri), trasarea locului rădăcinilor este aparent complicat, dar, dacă se aplică sistematic o serie de reguli, construcția grafică a locului rădăcinilor se simplifică mult. Astfel, prin amplasarea punctelor particulare și a asimptotelor, după evaluarea unghiurilor de plecare (sosire) a ramurilor locului din polii complexi (în zerourile complexe) se poate schia fără dificultate forma de variație a locului rădăcinilor pentru un caz dat. Avantajele cel mai însemnate ale metodei locului rădăcinilor apar, de fapt, în cazul sistemelor de ordin ridicat pentru care găsirea polilor funcției de transfer în circuit închis cu alte metode este extrem de laborioasă.

Având în vedere că trasarea locului rădăcinilor are același regim de construcție ca în cazul sistemelor continue, în continuare se vor prezenta, în rezumat, fără prea multe justificări, regulile generale de trasare a locului rădăcinilor pentru un sistem cu reacție închisă cu reacție negativă neunitară.

Pasul 1. Se determină ecuația caracteristică

$$1 + GH(z) = 0,$$

care se aranjează astfel încât să se pună în evidență, parametrul care ne interesează, ca un factor multiplicativ, conform expresiei

$$1 + \frac{KB(z)}{A(z)} = 1 + \frac{K(z-z_1)(z-z_2)\cdots(z-z_m)}{(z-p_1)(z-p_2)\cdots(z-p_n)} = 0.$$

În discuția de față, vom presupune că parametrul considerat este factorul de amplificare K , unde $K > 0$. Dacă se acceptă valori negative ale factorului de amplificare ($K < 0$), caz în care avem de fapt o reacție pozitivă, va fi necesar să se modifice condiția fazei (a argumentului).

Pasul 2. Se determină numărul ramurilor locului rădăcinilor care este egal cu n (numărul polilor funcției de transfer a sistemului deschis). Se plasează, în planul complex, polii și zerourile funcției $GH(z)$. Polii se marchează cu un \mid iar zerourile cu un o . Locul rădăcinilor începe în polii sistemului deschis și se termină în zerouri (cu valoare finită sau la infinit).

Pasul 3. La stânga unui număr impar de poli reali plus zerouri reale, se desenează locul rădăcinilor de pe axa reală.

Pasul 4. Se desenează asimptotele ramurilor locului rădăcinilor.

– Numărul asimptotelor este egal cu $n-m$;

– Unghiurile asimptotelor,

$$\varphi_k = \frac{\pm 180^\circ(2k+1)}{n-m}, \quad (k = 0, 1, 2, \dots); \quad (4.370)$$

– Abscisa punctului de intersecție a asimptotelor,

$$\sigma_a = \frac{\sum p_i - \sum z_j}{n-m}. \quad (4.371)$$

Pasul 5. Se găsesc punctele de ramificație (de sosire și de plecare). În acest scop scriem ecuația caracteristică conform expresiei

$$1 + \frac{KB(z)}{A(z)} = 0, \text{ sau } K = -\frac{A(z)}{B(z)}. \quad (4.372)$$

Punctele de ramificație ale locului rădăcinilor se determină prin rezolvarea ecuației

$$\frac{dK}{dz} = \frac{B'(z)A(z) - B(z)A'(z)}{B^2(z)} = 0, \quad (4.373)$$

unde caracterul prim indică operația de derivare în raport cu variabila z . Este important să remarcăm însă că punctele de ramificație vor fi numai acele rădăcini reale ale ecuației (7) care se află pe porțiunea considerată a locului rădăcinilor de pe axa reală.

Pasul 6. Se determină unghiul de plecare (unghiul de sosire) al locului rădăcinilor dintr-un pol complex (într-un zero complex).

– Unghiul de plecare dintr-un pol complex $= \varphi_p = 180^\circ - \sum \theta_j + \sum \Phi_i$; (4.374)

– Unghiul de sosire într-un zero complex $= \varphi_s = 180^\circ - \sum \Phi_i + \sum \theta_j$; (4.375)

Φ sunt unghiurile vectorilor care încep în zerouri, iar θ sunt unghiurile vectorilor complexi care pleacă din poli.

Pasul 7. Se determină punctele în care locul rădăcinilor intersectează cercul de rază unitară.

Aceste puncte se determină folosindu-se criteriul de stabilitate Routh-Hurwitz modificat, sau rezolvând pentru ω în ecuația complexă,

$$1 + \frac{KB(e^{j\omega T_e})}{A(e^{j\omega T_e})} = 1 + \frac{K(e^{j\omega T_e} - z_1)(e^{j\omega T_e} - z_2) \dots (e^{j\omega T_e} - z_m)}{(e^{j\omega T_e} - p_1)(e^{j\omega T_e} - p_2) \dots (e^{j\omega T_e} - p_n)} = 0. \quad (4.376)$$

Pasul 8. Se gradează, dacă este necesar, locul rădăcinilor. Valoarea lui K corespunde toare fiecărui punct de pe locul rădăcinilor din planul z se determină cu relația:

$$K = \frac{1}{|GH(z_1)|} = \left| \frac{A(z_1)}{B(z_1)} \right|. \quad (4.377)$$

Exemplul 1

Să se schițeze locul rădăcinilor pentru sistemul discret de reglare cu reacție negativ unitară ($H(s)=1$) prezentat în figura 4.1. Funcția de transfer z a sistemului în circuit deschis este:

$$G(z) = \frac{K(1 - e^{-T_e})z}{(z-1)(z - e^{-T_e})}.$$

Soluție

Pasul 1. Deoarece sistemul are reacție negativ unitară, $H(s)=1$, ecuația caracteristică este:

$$1 + GH(z) = 1 + \frac{Kz(1 - e^{-T_e})}{(z-1)(z - e^{-T_e})}.$$

Factorul de amplificare K se presupune pozitiv și variabil de la 0 la ∞ .

Pasul 2. Deoarece gradul polinomului sistemului deschis este $n=2$, rezultă că locul rădăcinilor are două ramuri. Funcția de transfer a sistemului deschis are doi poli:

$$p_1 = 1, \quad p_2 = e^{-T_e}, \quad \text{cu } 0 < p_2 < 1,$$

și un zero:

$$z_1 = 0.$$

Repartiția poli-zerouri pentru funcția de transfer considerată în exemplu poate fi vizualizată în figura 4.57 care prezintă și schițul locului rădăcinilor.

Pasul 3. Locul rădăcinilor pe axa reală are două porțiuni care respect condiția generală :

- între polii p_1 și p_2 ;
- între zeroul $z_1 = 0$ și ∞ .

Pasul 4. Numărul asimptotelor este:

$$n - m = 2 - 1 = 1$$

Singura asimptotă este suprapusă axei reale (deoarece $\varphi_1 = 180^\circ(2k+1) = 180^\circ$) și corespunde locului rădăcinilor cuprins între $z_1 = 0$ și ∞ .

Pasul 5. Deoarece avem porțiuni ale locului pe axa reală între doi poli, respectiv zerouri (unul finit, celălalt la infinit), există 2 puncte de ramificație. Scriind ecuația caracteristică conform expresiei:

$$K = \frac{(z-1)(z-e^{-T_e})}{z(1-e^{-T_e})} = \frac{z^2 - (1+e^{-T_e})z + e^{-T_e}}{z(1-e^{-T_e})} = \frac{A(z)}{B(z)},$$

punctele de ramificație sunt soluțiile ecuației

$$\frac{dK}{dz} = \frac{z(1-e^{-T_e})(2z-1-e^{-T_e}) - (1-e^{-T_e})[z^2 - (1+e^{-T_e})z + e^{-T_e}]}{z^2(1-e^{-T_e})^2} = 0,$$

respectiv

$$z^2(1-e^{-T_e}) - e^{-T_e}(1-e^{-T_e}) = 0,$$

$$z_{r1,2} = \pm \sqrt{e^{-T_e}}.$$

Se verifică ușor că, deoarece $e^{-T_e} < 1$, $\sqrt{e^{-T_e}} > e^{-T_e}$, deci $z_{r1} \in (p_2, p_1) \equiv (e^{-T_e}, 1)$.

Pasul 6. Funcția de transfer z a sistemului deschis nu are poli complecși sau zerouri complexe.

Pentru o schiță mai exactă vom arăta că forma locului rădăcinilor pentru cazul rădăcinilor complexe ale sistemului închis este un cerc. În acest scop se înlocuiește $z = x + jy$ în funcția de transfer z a sistemului deschis:

$$G(x + jy) = \frac{(1-e^{-T_e})(x + jy)}{[(x-1) + jy][(x-e^{-T_e}) + jy]},$$

și se scrie condiția argumentului, de unde rezultă :

$$\angle G(z) = \arctg \frac{y}{x} - \arctg \frac{y(2x-1-e^{-T_e})}{(x-1)(x-e^{-T_e})-y^2} = (2k+1)180^\circ$$

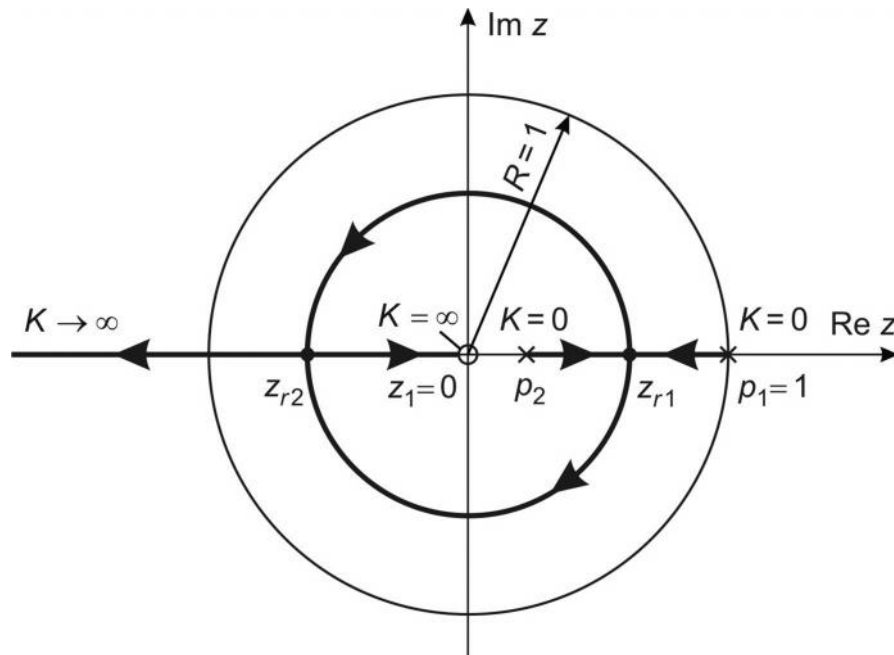


Fig 4.57

Se aplică apoi funcția tangent relației de mai sus în ambii membrii și se obține:

$$\operatorname{tg} \angle G(z) = \frac{\frac{y}{x} - \frac{y(2x-1-e^{-T_e})}{(x-1)(x-e^{-T_e})-y^2}}{1 + \frac{y}{x} \frac{y(2x-1-e^{-T_e})}{(x-1)(x-e^{-T_e})-y^2}} = \operatorname{tg}(2k+1)180^\circ = 0.$$

De aici avem

$$\frac{y}{x} - \frac{y(2x-1-e^{-T_e})}{(x-1)(x-e^{-T_e})-y^2} = 0,$$

de unde, după simplificare, rezultă :

$$x^2 + y^2 = e^{-T_e},$$

deci locul geometric al rădăcinilor este un cerc cu centrul în origine și raza $R = \sqrt{e^{-T_e}}$.

Pasul 7. Cercul de rază unitar este intersectat o singură dată de locul rădăcinilor. Acest punct se obține pentru $z_i = -1$. Factorul de amplificare pentru care sistemul discret este la limita de stabilitate se determină cu relația:

$$K_1 = \frac{1}{|GH(z_i)|} = \left| \frac{A(z_i)}{B(z_i)} \right| = \left| \frac{-2(-1-e^{-T_e})}{-1(1-e^{-T_e})} \right| = 2 \frac{1+e^{-T_e}}{1-e^{-T_e}}.$$

Pasul 8. Vom calcula factorul de amplificare pentru valorile variabilei z pentru care locul rădăcinilor intersectează axele reală și imaginar :

$$K_2 = \frac{1}{|G(\sqrt{e^{-T_e}})|} = \left| \frac{(\sqrt{e^{-T_e}}-1)(\sqrt{e^{-T_e}}-e^{-T_e})}{\sqrt{e^{-T_e}}(1-e^{-T_e})} \right| = \frac{(1-\sqrt{e^{-T_e}})^2}{1-e^{-T_e}},$$

$$K_3 = \frac{1}{|G(-\sqrt{e^{-T_e}})|} = \left| \frac{(-\sqrt{e^{-T_e}} - 1)(-\sqrt{e^{-T_e}} - e^{-T_e})}{-\sqrt{e^{-T_e}}(1 - e^{-T_e})} \right| = \frac{(1 + \sqrt{e^{-T_e}})^2}{1 - e^{-T_e}},$$

$$K_4 = \frac{1}{|G(j\sqrt{e^{-T_e}})|} = \left| \frac{(j\sqrt{e^{-T_e}} - 1)(j\sqrt{e^{-T_e}} - e^{-T_e})}{j\sqrt{e^{-T_e}}(1 - e^{-T_e})} \right| = \frac{1 + e^{-T_e}}{1 - e^{-T_e}},$$

$$K_5 = \frac{1}{|G(-j\sqrt{e^{-T_e}})|} = \left| \frac{(-j\sqrt{e^{-T_e}} - 1)(-j\sqrt{e^{-T_e}} - e^{-T_e})}{-j\sqrt{e^{-T_e}}(1 - e^{-T_e})} \right| = \frac{1 + e^{-T_e}}{1 - e^{-T_e}}.$$

Particularizând pentru $T_e = 0.3$ s, vom avea următoarele valori pentru parametrii locului rădăcinilor:

- raza $R = 0,8607$
- factorul de amplificare la limita de stabilitate $K_1 = 13,4332$
- factorul de amplificare pentru $z = z_{1r}$, $K_2 = 0,0749$
- factorul de amplificare pentru $z = -z_{1r}$, $K_3 = 13,3583$
- factorul de amplificare pentru $z = \pm jz_{1r}$, $K_{4,5} = 6,7166$.

Interesant este analiza valorilor obținute în cazul locului rădăcinilor când se modifică perioada de eantionare. Astfel dacă T_e scade la valoarea $T_e = 0.1$, se constată că raza corespunde locului pentru rădăcini complexe crește la valoarea $R = 0,9512$, deci se apropie periculos de mult de limita de instabilitate, dar, aparent paradoxal, valoarea factorului de amplificare la limita de stabilitate crește la $K_1 = 40,033$.

O explicație pentru aceste valori contradictorii este în faptul că, deși sistemul este stabil chiar la valori mari ale factorului de amplificare, în cazul rădăcinilor complexe, gradul de oscilație este extrem de pronunțat, deoarece sistemul discret este foarte aproape de limita de stabilitate.

Exemplul 2

Se consideră sistemul din exemplul anterior care se completează cu un element de ordinul zero. Funcția de transfer a sistemului deschis va fi acum (avem în vedere că $H(s) = 1$):

$$G(z) = K \frac{(T_e + e^{-T_e} - 1)z + 1 - e^{-T_e} - T_e e^{-T_e}}{(z - 1)(z - e^{-T_e})} = K \frac{zb_1 + b_0}{(z - 1)(z - e^{-T_e})},$$

unde $b_1 = T_e + e^{-T_e} - 1$, $b_0 = 1 - e^{-T_e} - T_e e^{-T_e}$.

Soluție.

Pasul 1. Ecuația caracteristică a sistemului de reglare este

$$1 + GH(z) = 1 + Kb_1 \frac{z + b}{z^2 - (1 + e^{-T_e})z + e^{-T_e}},$$

unde

$$b = \frac{b_0}{b_1} = \frac{1 - e^{-T_e} - T_e e^{-T_e}}{T_e + e^{-T_e} - 1}.$$

Cu un program simplu în MATLAB se poate vedea că pentru $T_e \in (0;2)$ sec, $b_1 \in (0;1,17)$ și $b_1 \in (1;0,524)$. Factorul de amplificare K se presupune pozitiv și variabil de la 0 la ∞ .

Pasul 2. Deoarece gradul polinomului de la numitor este $n=2$, locul rădăcinilor are 2 ramuri. Funcția de transfer a sistemului deschis are 2 poli:

$$p_1 = 1, \quad p_2 = e^{-T_e}, \quad \text{cu } 0 < p_2 < 1,$$

și un zero:

$$z_1 = -b, \quad \text{cu } z_1 \in (-1; -0,524) \text{ când } T_e \in (0;2) \text{ sec.}$$

În figura 4.58 se prezintă repartiția poli-zero pentru sistemul cu funcția de transfer dată în cazul $T_e = 0,3$ s. În această situație $p_2 = 0,7408$ și $z_1 = -0,9049$.

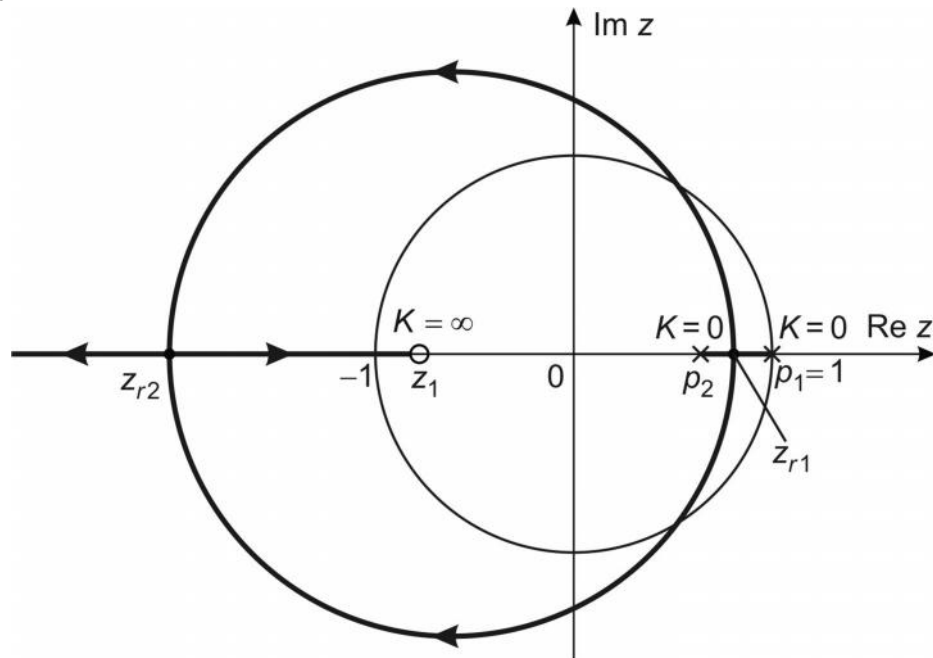


Fig. 4.58

Pasul 3. Locul rădăcinilor pe axa reală are două porțiuni și anume:

- între poli p_1 și p_2 ;
- între zero $z_1 = -b = -0,9049$ și $-\infty$.

Pasul 4. Numărul asimptotelor este $n-m=1$. Ca și în exemplul precedent, singura asimptotă este pe axa reală și corespunde locului rădăcinilor cuprins între z_1 și $-\infty$.

Pasul 5. Deoarece există porțiuni ale locului pe axa reală între doi poli respectiv zerouri (unul finit, altul la infinit) vom avea puncte de ramificație. Aceste puncte se determină rezolvând ecuația

$$\frac{dK}{dz} = 0, \quad \text{unde } K = \frac{(z-1)(z-e^{-T_e})}{b_1(z+b)}.$$

Se obține succesiv:

$$\frac{b_1(z+b)(2z-1-e^{-T_e})-b_1[z^2-(1+e^{-T_e})z+e^{-T_e}]}{[b_1(z+b)]^2}=0,$$

respectiv

$$z^2 + 2bz - (b + e^{-T_e} + be^{-T_e}) = 0,$$

cu soluțiile

$$z_{r1,2} = -b \pm \sqrt{b^2 + b + (b+1)e^{-T_e}}.$$

Pentru $T_e = 0,3 \text{ sec}$, valorile celor două rădăcini sunt $z_{r1} = 0,8657$ și $z_{r2} = -2,6755$. Se poate vedea că aceste puncte de pe axa reală sunt într-adevăr puncte de ramificație fiind amplasate între cei doi poli $(0,7405 \pm j1)$, respectiv între zerouri $(-0,9049 \pm j\infty)$. Ca și în exemplul precedent, între cele două puncte de ramificație locul rădăcinilor are forma unui cerc. Procedând ca mai înainte se obține ecuația:

$$(x+b)^2 + y^2 = b^2 + b + (b+1)e^{-T_e},$$

deci cercul are centrul în punctul $(-b, 0)$ și raza $R = \sqrt{b^2 + b + (b+1)e^{-T_e}}$. Pentru $T_e = 0,3$, centrul cercului va fi în punctul $(-0,9049, 0)$ și are raza $R = 1,77$.

Pasul 6. Funcția de transfer z a sistemului deschis nu are poli sau zerouri cu valori complexe.

Pasul 7. Locul rădăcinilor prezintă 3 puncte în care sistemul închis este la limita de stabilitate. Două din aceste puncte corespund unor rădăcini complex conjugate și prin urmare în aceste puncte avem aceeași valoare a factorului de amplificare K_1 . Pentru a determina valoarea lui K_1 corespunzătoare rădăcinilor complexe, folosim criteriul Routh bazat pe transformarea omografică r . În acest scop se folosește relația:

$$1 + GH(z) = 1 + K_1 b_1 \frac{z+b}{z^2 - (1+e^{-T_e})z + e^{-T_e}} = \frac{z^2 + (K_1 b_1 - 1 - e^{-T_e})z + K_1 b_1 b + e^{-T_e}}{z^2 - (1+e^{-T_e})z + e^{-T_e}},$$

de unde rezultă ecuația caracteristică în z :

$$z^2 + (K_1 b_1 - 1 - e^{-T_e})z + K_1 b_1 b + e^{-T_e} = z^2 + a_1 z + a_0 = 0,$$

în care $b_1 b = b_0 = 1 - e^{-T_e} - T_e e^{-T_e}$ și $b_1 = T_e + e^{-T_e} - 1$.

În continuare, cu substituția

$$z = \frac{r+1}{r-1},$$

se determină ecuația caracteristică în r :

$$\left(\frac{r+1}{r-1}\right)^2 + a_1 \left(\frac{r+1}{r-1}\right) + a_0 = 0,$$

respectiv:

$$(1 + a_1 + a_0)r^2 + 2(1 - a_0)r + 1 - a_1 + a_0 = 0.$$

Tabelul Routh asociat acestei ecuații este:

r^2	$1 + a_1 + a_0$	$1 - a_1 + a_0$
r^1	$2(1 - a_0)$	0
r^0	$1 - a_1 + a_0$	0

La limita de stabilitate ecuația caracteristică în r are rădăcinile imaginare $\pm j\omega_r$, deci în tabloul Routh trebuie să avem un rând de zerouri. Acest lucru este realizat dacă termenul din rândul 2 (r^1) coloana 1 este egal cu zero, deci dacă :

$$1 - a_0 = 0, \text{ respectiv } a_0 = 1,$$

de unde, având în vedere că

$$a_0 = K_1 b_0 + e^{-T_e},$$

rezultă

$$K_1 = \frac{1 - e^{-T_e}}{b_0} = \frac{1 - e^{-T_e}}{1 - e^{-T_e} - T_e e^{-T_e}}.$$

Pentru $T_e = 0,3 \text{ sec}$ rezultă că factorul de amplificare pentru care sistemul discret analizat este la limita de stabilitate are valoarea $K_1 = 7,02$.

Al treilea punct în care sistemul este la limita de stabilitate este $z = -1$, iar factorul de amplificare corespunzător K_2 se calculează cu relația:

$$K_2 = \left| \frac{1}{GH(-1)} \right| = \left| \frac{z^2 - (1 + e^{-T_e})z + e^{-T_e}}{zb_1 + b_0} \right|_{z=-1} = \left| \frac{2(1 + e^{-T_e})}{b_0 - b_1} \right|,$$

$$K_2 = \left| \frac{2(1 + e^{-T_e})}{2(1 - e^{-T_e}) - T_e(1 + e^{-T_e})} \right|.$$

Pentru $T_e = 0,3 \text{ sec}$ rezultă $K_2 = 448,44$, valoare care nu prezintă interes deoarece este mult mai mare decât $K_1 = 7,02$ obținut la limita de stabilitate pentru rădăcinile complexe.

Locul rădăcinilor pentru o perioadă de eantionare cu valoarea $T_e = 0,1 \text{ sec}$ are următoarele date numerice:

- $p_1 = 1$, $p_2 = 0,9048$, $z_1 = -0,9672$;
- $z_{r1} = 0,9518$, $z_{r2} = -2,8863$;
- $R = 1,919$, centrul $(-0,9672, 0)$;
- $K_1 = 20,34$.

4.11 MODELE ALE SISTEMELOR DISCRETE CU VARIABLE DE STARE

Considerăm sistemul continuu monovariabil la intrare și la ieșire, $\Sigma(A, B, C)$, descris la stare de ecuațiile matriciale:

$$\dot{\mathbf{x}}(t) = \mathbf{A}\mathbf{x}(t) + \mathbf{B}u(t), \quad (4.378a)$$

$$y(t) = \mathbf{C}\mathbf{x}(t), \quad (4.378b)$$

unde \mathbf{x} este vectorul de stare.

Observație. În modelul matricial se presupune, așa cum se întâmplă de obicei în practică, că matricea de transfer direct, \mathbf{D} este nulă.

Sistemul discret cu variabile de stare poate fi reprezentat grafic ca în fig. 4.59, în care EI constituie elementul de reținer ideal, EIF este un element de reținer ideal fictiv, iar ER0 este elementul de reținer de ordinul zero.

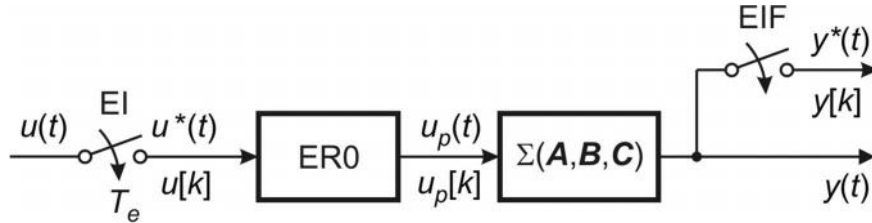


Fig. 4.59

Pentru deducerea relațiilor care leagă matricele sistemului discret cu cele ale sistemului continuu se folosește expresia stării sistemului continuu modelat la stare exprimat conform relației:

$$\mathbf{x}(t) = e^{\mathbf{A}(t-t_0)} \mathbf{x}(t_0) + \int_{t_0}^t e^{\mathbf{A}(t-\tau)} \mathbf{B}u(\tau) d\tau. \quad (4.379)$$

Pentru discretizare în ecuația expresiei stării considerăm $t_0 = kT_e$ și $t = (k+1)T_e$, deci $t - t_0 = T_e$ și prin urmare expresia expresiei stării devine:

$$\mathbf{x}(kT_e + T_e) = e^{\mathbf{A}T_e} \mathbf{x}(kT_e) + \int_{kT_e}^{kT_e + T_e} e^{\mathbf{A}(kT_e + T_e - \tau)} \mathbf{B}u(\tau) d\tau. \quad (4.380)$$

Acest rezultat nu depinde de tipul elementului de reținer deoarece u este specificat prin evoluția sa în intervalul de eantionare. Pentru obținerea unui model discretizat cât mai simplu se consideră că mărimea de intrare se aplică, după eantionare, prin intermediul unui element de reținer de ordin zero, deci:

$$u(\tau) = u(kT_e), \text{ pentru } \tau \in [kT_e, kT_e + T_e). \quad (4.381)$$

De asemenea, se face schimbarea de variabil :

$$v = kT_e + T_e - \tau, \quad (4.382)$$

și astfel se obține:

$$\mathbf{x}(kT_e + T_e) = e^{\mathbf{A}T_e} \mathbf{x}(kT_e) + \left[\int_0^{T_e} e^{\mathbf{A}v} dv \right] \mathbf{B}u(kT_e). \quad (4.383)$$

Dacă se definesc matricele

$$\mathbf{W} = e^{\mathbf{A}T_e} \quad \text{și} \quad \mathbf{X} = \left[\int_0^{T_e} e^{\mathbf{A}v} dv \right] \mathbf{B}, \quad (4.384)$$

și se neglijează T_e în relația (4.383), se obține ecuația discretizată de stare în forma unei ecuații cu diferențe:

$$\mathbf{x}[k+1] = \mathbf{W}\mathbf{x}[k] + \mathbf{X}u[k], \quad (4.385)$$

care împreună cu ecuația matriceală a ieșirii

$$y[k] = \mathbf{C}\mathbf{x}[k], \quad (4.386)$$

formează modelul cu variabile de stare a sistemului discret.

Matricea de stare a sistemului discret egală cu exponențiala matriceală $e^{\mathbf{A}T_e}$ se determină cu ajutorul dezvoltării în serie Taylor folosind relația:

$$\mathbf{W} = \mathbf{I} + \mathbf{A}T_e + \frac{\mathbf{A}^2 T_e^2}{2!} + \frac{\mathbf{A}^3 T_e^3}{3!} + \dots, \quad (4.387)$$

care se poate scrie conform expresiei:

$$\mathbf{W} = \mathbf{I} + \mathbf{A}T_e \mathbf{j}, \quad (4.388)$$

$$\text{unde } \mathbf{j} = \mathbf{I} + \frac{\mathbf{A}T_e}{2!} + \frac{\mathbf{A}^2 T_e^2}{3!} + \dots \quad (4.389)$$

Cu aceste notații, matricea integrală \mathbf{X} poate fi evaluată termen cu termen, fiind:

$$\mathbf{X} = \sum_{k=0}^{\infty} \frac{\mathbf{A}^k T_e^{k+1}}{(k+1)!} \mathbf{B} = \sum_{k=0}^{\infty} \frac{\mathbf{A}^k T_e^k}{(k+1)!} T_e \mathbf{B} = \mathbf{j} T_e \mathbf{B}, \quad (4.390)$$

unde matricea \mathbf{j} este calculată scriind dezvoltarea în serie conform expresiei:

$$\mathbf{j} = \mathbf{I} + \frac{\mathbf{A}T_e}{2} \left(\mathbf{I} + \frac{\mathbf{A}T_e}{3} \left(\dots \mathbf{I} + \frac{\mathbf{A}T_e}{N-1} \left(\mathbf{I} + \frac{\mathbf{A}T_e}{N} \right) \dots \right) \right), \quad (4.391)$$

evaluare care oferă proprietăți numerice mult mai bune decât evaluarea directă.

În continuare prezentăm un program simplu de calcul pentru matricele de stare \mathbf{W} și de intrare \mathbf{X} :

1. Se introduc matricele sistemului continuu \mathbf{A} și \mathbf{B} și se adoptă valoarea perioadei de eantionare T_e .
2. Se adoptă valoarea inițială a matricei \mathbf{j} , $\mathbf{j} = \mathbf{I}$, unde \mathbf{I} este matricea unitate a sistemului (cu dimensiunea egală cu dimensiunea matricei \mathbf{A}).
3. Se adoptă numărul de termeni ai dezvoltării în serie, N , și se inițializează contorul pailor dezvoltării, $k \leftarrow N$.
4. Dacă $k = 1$, se trece la pasul 8.
5. Se actualizează valoarea matricei \mathbf{j} :

$$j \leftarrow j + \frac{e}{k}.$$

6. Se decrementează contorul: $k \leftarrow k - 1$.

7. Se merge la pasul 4.

8. Se calculează matricea $X \leftarrow j T_e \mathbf{B}$.

9. Se evaluează matricea $W = \mathbf{I} + \mathbf{A} T_e j$.

În practică de obicei se alege $N = 1$ sau 2 .

Pentru $N = 1$, $j = 1$ și matricele sistemului discret vor fi:

$$W = \mathbf{I} + \mathbf{A} T_e j = \mathbf{I} + \mathbf{A} T_e, \quad (4.392)$$

respectiv

$$X = j T_e \mathbf{B} = T_e \mathbf{B}, \quad (4.393)$$

iar dacă $N = 2$, $j = 2$ și matricele sistemului sunt:

$$W = \mathbf{I} + \mathbf{A} T_e + \frac{\mathbf{A}^2 T_e^2}{2}, \quad (4.394)$$

$$X = \mathbf{B} T_e + \frac{\mathbf{A} \mathbf{B}}{2} T_e^2. \quad (4.395)$$

Exemplul 1

Se dă sistemul cu funcția de transfer

$$G(s) = \frac{1}{s^2} = \frac{\theta}{u},$$

care constituie modelul prezentat în literatură pentru procesul reglat al unui satelit orbital. Să se determine modelele cu variabile de stare pentru procesele continue și discrete.

Rezolvare

Schema bloc din fig. 4.60 cu două integratoare înseriate oferă imediat modelul cu variabile de stare în cazul continuu.

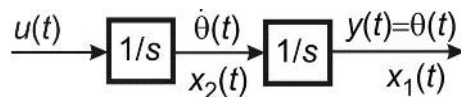


Fig. 4.60

De aici se pot scrie ecuațiile

$$y = \theta = x_1,$$

$$\dot{x}_1 = \dot{\theta} = x_2,$$

$$\dot{x}_2 = \ddot{\theta} = u,$$

respectiv în formă matriceală

$$\begin{bmatrix} \dot{x}_1 \\ \dot{x}_2 \end{bmatrix} = \begin{bmatrix} 0 & 1 \\ 0 & 0 \end{bmatrix} \begin{bmatrix} x_1 \\ x_2 \end{bmatrix} + \begin{bmatrix} 0 \\ 1 \end{bmatrix} u,$$

$$y = \begin{bmatrix} 1 & 0 \end{bmatrix} \begin{bmatrix} x_1 \\ x_2 \end{bmatrix},$$

deci matricele sistemului continuu modelat cu variabile de stare vor fi:

$$\mathbf{A} = \begin{bmatrix} 0 & 1 \\ 0 & 0 \end{bmatrix}, \mathbf{B} = \begin{bmatrix} 0 \\ 1 \end{bmatrix}, \mathbf{C} = \begin{bmatrix} 1 & 0 \end{bmatrix}.$$

Adoptând o dezvoltare în serie cu trei termeni pentru exponențiala matriceală $e^{\mathbf{A}T_e}$ rezultă modelul discret cu matricele

$$\mathbf{W} = \mathbf{I} + \mathbf{A}T_e + \frac{\mathbf{A}^2 T_e^2}{2} = \begin{bmatrix} 1 & 0 \\ 0 & 1 \end{bmatrix} + \begin{bmatrix} 0 & 1 \\ 0 & 0 \end{bmatrix} T_e + \begin{bmatrix} 0 & 0 \\ 0 & 0 \end{bmatrix} T_e^2 = \begin{bmatrix} 1 & T_e \\ 0 & 1 \end{bmatrix},$$

$$\mathbf{X} = \mathbf{B}T_e + \frac{\mathbf{A}\mathbf{B}}{2} T_e^2 = \begin{bmatrix} 0 \\ 1 \end{bmatrix} T_e + \begin{bmatrix} 1 \\ 0 \end{bmatrix} \frac{T_e^2}{2} = \begin{bmatrix} T_e^2/2 \\ T_e \end{bmatrix}, \mathbf{C} = \begin{bmatrix} 1 & 0 \end{bmatrix}.$$

4.11.1 Conversia modelului cu variabile de stare în funcții de transfer z

Relația generală de conversie a unui model discret din spațiul stărilor într-o funcție de transfer se determină pornind de la ecuațiile de stare și ieșire scrise sub formă matriceală:

$$\mathbf{x}[k+1] = \mathbf{W}\mathbf{x}[k] + \mathbf{X}u[k],$$

$$y[k] = \mathbf{C}\mathbf{x}[k].$$

Prin aplicarea transformatei z în ipoteza condițiilor inițiale nule se obține:

$$z\mathbf{X}(z) - \underbrace{\mathbf{x}(0)}_0 = \mathbf{W}\mathbf{X}(z) + \mathbf{X}U(z), \quad (4.396)$$

$$Y(z) = \mathbf{C}\mathbf{X}(z), \quad (4.397)$$

unde $U(z)$ și $Y(z)$ sunt transformatele Z ale mărیمilor de intrare și ieșire, iar $\mathbf{X}(z)$ este vectorul transformatelor Z ale variabilelor de stare.

Rezolvând în raport cu $\mathbf{X}(z)$ prima ecuație se obține

$$(z\mathbf{I} - \mathbf{W})\mathbf{X}(z) = \mathbf{X}U(z), \quad (4.398)$$

respectiv

$$\mathbf{X}(z) = (z\mathbf{I} - \mathbf{W})^{-1} \mathbf{X}U(z), \quad (4.399)$$

unde

$$(\mathbf{zI} - \mathbf{W})^{-1} = \frac{\text{adj}(\mathbf{zI} - \mathbf{W})}{\det(\mathbf{zI} - \mathbf{W})}, \quad (4.400)$$

este matricea fundamentală a sistemului discret.

În continuare se înlocuiește $\mathbf{X}(z)$ din relația (4.399) în relația (4.397) și astfel se obține:

$$\mathbf{Y}(z) = \mathbf{C}(\mathbf{zI} - \mathbf{W})^{-1} \mathbf{X} U(z), \quad (4.401)$$

de unde rezultă

$$G(z) = \frac{Y(z)}{U(z)} = \mathbf{C}(\mathbf{zI} - \mathbf{W})^{-1} \mathbf{X}, \quad (4.402)$$

care este tocmai funcția de transfer z exprimată în funcție de matricele sistemului discret modelat la stare.

Exemplul 2

Să se determine funcția de transfer z pentru sistemul discret care modelează procesul reglat al altitudinii unui satelit.

Rezolvare.

Din exemplul 1 cunoaștem modelul discret cu variabile de stare:

$$\mathbf{W} = \begin{bmatrix} 1 & T_e \\ 0 & 1 \end{bmatrix}, \quad \mathbf{X} = \begin{bmatrix} T_e^2/2 \\ T_e \end{bmatrix}, \quad \mathbf{C} = [1 \quad 0].$$

Calculăm mai întâi matricea fundamentală :

$$(\mathbf{zI} - \mathbf{W})^{-1} = \left(\begin{bmatrix} z & 0 \\ 0 & z \end{bmatrix} - \begin{bmatrix} 1 & T_e \\ 0 & 1 \end{bmatrix} \right)^{-1} = \begin{bmatrix} z-1 & -T_e \\ 0 & z-1 \end{bmatrix}^{-1} = \frac{\begin{vmatrix} z-1 & -T_e \\ 0 & z-1 \end{vmatrix}}{(z-1)^2}.$$

Aplicând formula de definiție obținem succesiv:

$$\begin{aligned} G(z) &= \mathbf{C}(\mathbf{zI} - \mathbf{W})^{-1} \mathbf{X} = [1 \quad 0] \frac{\begin{vmatrix} z-1 & -T_e \\ 0 & z-1 \end{vmatrix}}{(z-1)^2} \begin{bmatrix} T_e^2/2 \\ T_e \end{bmatrix} = \\ &= \frac{1}{(z-1)^2} [z-1 \quad -T_e] \begin{bmatrix} T_e^2/2 \\ T_e \end{bmatrix} = \frac{(z-1) \frac{T_e^2}{2} + T_e^2}{(z-1)^2}, \end{aligned}$$

respectiv

$$G(z) = \frac{T_e^2}{2} \frac{z+1}{(z-1)^2}.$$

4.12 PROBLEME PROPUSE

1. Antena unui radar pentru controlul traficului aerian pe un aeroport se rotește cu 6 rot/min. Datele care corespund poziției unui avion sunt afișate ca puncte pe ecranul din turnul de control, o dată la fiecare rotație a antenei. Se presupune că avionul urmărit prin radar se deplasează cu 600 km/h. Un sistem de control cu reacție este realizat prin intermediul controlorului de zbor care transmite corecțiile de curs către pilot, comunicând cu pilotul la fiecare 6 km parcurși.

a) Care este perioada de eantionare, în secunde, a semnalului afișat pe ecran?

b) Care este perioada de eantionare, în secunde, a instrucțiunilor transmise de controlorul de zbor?

c) Arată că este posibil ca avionul să zboare după un curs în formă de zig-zag care să apară pe ecranul controlorului de zbor ca un traseu în linie dreaptă. Care este cea mai joasă frecvență a cursului în zig-zag care poate ascunde traseul real al avionului?

2. Considerăm un semnal continuu care are valori în domeniul 0-10V. Se cere ca semnalul să fie reprezentat într-un sistem de calcul astfel încât rezoluția să fie de ~5mV. Determinați numărul necesar de biți pe care trebuie să îl aibă convertorul A/N.

3. Folosind transformata Z exact, să se calculeze funcția de transfer $G(z)$ pentru ansamblul ER0 + sistem continuu cu funcția de transfer:

a) $G(s) = \frac{K}{s}$;

b) $G(s) = \frac{3}{s(s+3)}$;

c) $G(s) = \frac{s+3}{s(s+1)(s+2)}$;

d) $G(s) = \frac{3}{(s+1)(s+3)}$;

e) $G(s) = \frac{(s+1)(s+2)}{(s+3)(s+4)}$;

f) $G(s) = \frac{1}{s(s^2+1)}$;

g) $G(s) = \frac{s+1}{s^2}$;

h) $G(s) = \frac{e^{-sT_e/2}}{s^2}$;

i) $G(s) = \frac{1-s}{s^2}$;

j) $G(s) = \frac{3e^{-1,5sT_e}}{(s+1)(s+3)}$.

4. Să se determine valoarea inițială și valoarea finală pentru semnalul discret $g[k]$ asociat următoarelor funcții:

$$a) G(z) = \frac{2}{(1 - z^{-1})(1 - 0.2z^{-1})};$$

$$b) G(z) = \frac{1}{(1 - z^{-1})(1 - 0.5z^{-1})}.$$

5. Să se determine, folosind metoda reziduurilor sau metoda descompunerii în fracții simple, funcția de timp $f[k] = f(kT_e)$ pentru următoarele transformate z :

$$a) F(z) = \frac{z(z+1)(z+2)}{(z-0,5)(z-0,7)(z-0,9)};$$

$$b) F(z) = \frac{(z+0,3)(z+0,5)}{(z-0,4)(z-0,6)(z-0,8)};$$

$$c) F(z) = \frac{(z+1)(z+0,2)}{z(z-0,5)(z-0,6)}.$$

6. Să se obțin transformata Z inversă a expresiei:

$$G(z) = \frac{0.5z}{(z-1)(z-0.5)}.$$

cu ajutorul următoarelor metode:

- a) reziduurilor;
- b) descompunerea în fracții simple;
- c) dezvoltarea în serie de puteri ale lui z^{-1} .

7. Să se calculeze transformata Z inversă a funcției complexe:

$$G(z) = \frac{z(z^2 + 2z + 1)}{(z^2 - z + 1)(z^2 + z + 2)},$$

cu ajutorul următoarelor metode:

- c) reziduurilor;
- d) descompunerea în fracții simple;
- e) dezvoltarea în serie de puteri ale lui z^{-1} .

8. Să se găsească transformata Z modificată a următoarelor funcții:

$$a) \frac{1}{s^2};$$

$$b) \frac{1}{s^2(s+a)};$$

$$c) \frac{1}{s(s+a)(s+b)}.$$

Să se verifice dacă transformatele Z modificate ale acestor funcții coincid, când $m = 1$, cu transformatele Z ordinare.

9. Fie sistemul discret deschis f r ER0 cu func ia de transfer a elementului continuu:

$$G(s) = \frac{s+4}{(s+1)(s+10)}.$$

- Presupunând o m rime de intrare $u[k]=1_+[k]$ (treapt unitar) i $T_e=1$ s se determine transformata Z a m rimii de ie ire, $y[k]$;
- S se determine valoarea ini ial i valoarea final a m rimii de ie ire $y(t)$.

10. Fie sistemul discret deschis f r ER0 cu func ia de transfer a elementului continuu:

$$G(s) = \frac{100}{s(s+100)}.$$

- Presupunând o m rime de intrare $u[k]=1_+[k]$ (treapt unitar) i $T_e=1$ s se determine transformata Z a m rimii de ie ire, $y[k]$;
- S se determine valoarea ini ial i valoarea final a m rimii de ie ire $y(t)$.

11. Un filtru trece jos discret (FTJ) de tip Butterworth ob inut din filtrul continuu prin discretizare cu metoda transformatei Z biliniare (Tustin) prewarped are func ia de transfer

$$G(z) = \frac{0,1036(z^2 + 2z + 1)}{z^2 - 0,9045z + 0,3201}.$$

S se determine ecua ia cu diferen e în forma recurent care este utilizat pentru implementarea practic intrun sistem de calcul al acestui filtru.

12. Un filtru trece sus discret (FTJ) de tip Cebâ ev ob inut din filtrul continuu prin discretizare cu metoda transformatei Z biliniare (Tustin) prewarped are func ia de transfer

$$G(z) = \frac{0,6902(z^2 - 2z + 1)}{z^2 - 1,4678z + 0,6298}.$$

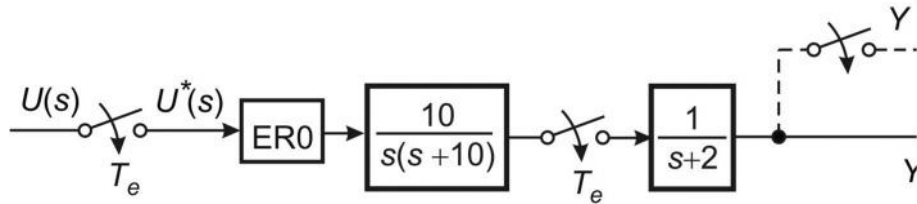
S se determine ecua ia cu diferen e în forma recurent care este utilizat pentru implementarea practic intrun sistem de calcul al acestui filtru.

13. S se determine func ia de transfer $G(z) = Y(z)/U(z)$ pentru sistemul deschis cu schema bloc din figur .



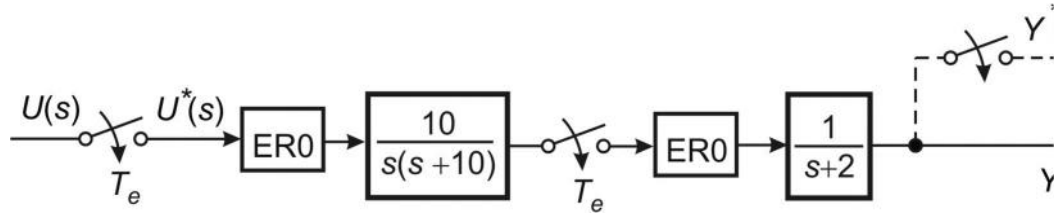
Se presupune c $T_e = 0,1$ s.

14. S se determine func ia de transfer $G(z) = Y(z)/U(z)$ pentru sistemul deschis cu schema bloc din figur .



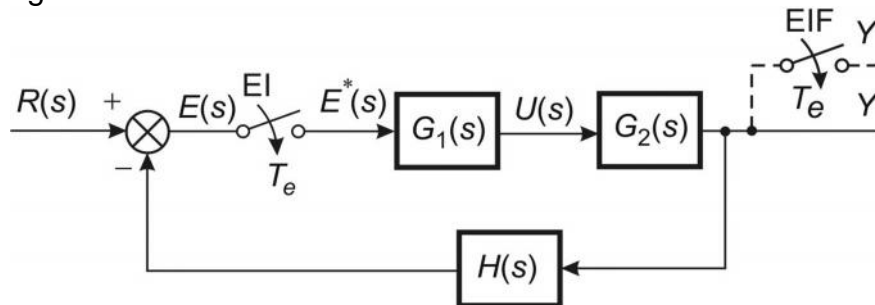
Se presupune c $T_e = 0,1$ s.

15. S se determine func ia de transfer $G(z) = Y(z)/R(z)$ pentru sistemul închis cu schema bloc din figur .

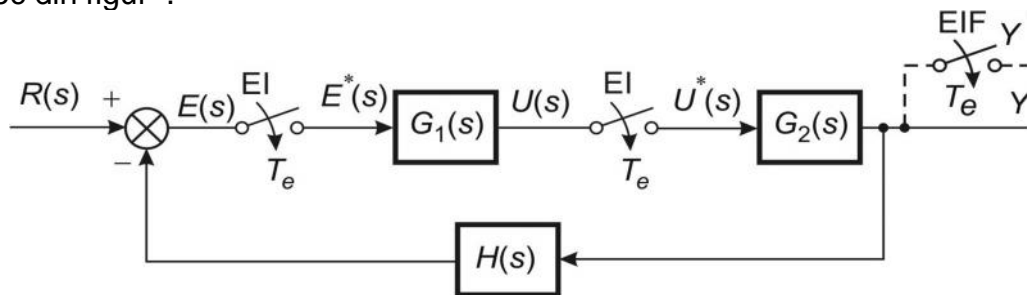


Se presupune c $T_e = 0,1$ s.

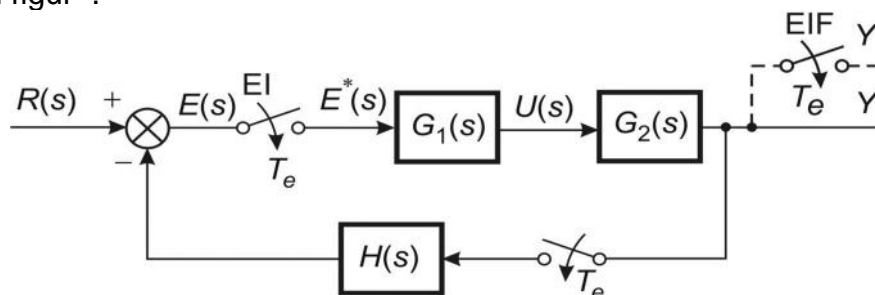
16. S se determine func ia de transfer $G(z) = Y(z)/R(z)$ pentru sistemul închis cu schema bloc din figur .



17. S se determine func ia de transfer $G(z) = Y(z)/U(z)$ pentru sistemul deschis cu schema bloc din figur .



18. S se determine func ia de transfer $G(z) = Y(z)/R(z)$ pentru sistemul închis cu schema bloc din figur .



19. Funcția de transfer z a unui filtru este

$$G(z) = \frac{2z+1}{(2z-1)(z+1)}.$$

- Să se evalueze stabilitatea filtrului;
- Considerând că mărimea de intrare și ieșire sunt $u[k]$ și $y[k]$ să se determine ecuația cu diferențe care implementează filtrul discret;
- Presupunând $u[k] = 1_+[k]$ și $y[k] = 0$ pentru $k < 0$, să se determine valorile eșantionelor $y[1]$, $y[2]$, $y[3]$ și $y[4]$.

20. Fie sistemul de reglare cu eșantionarea erorii fără ER0 cu reacție negativă unitară având funcția de transfer a elementului continuu:

$$G(s) = \frac{1}{s^2(s+5)}.$$

- Presupunând o mărime de intrare treaptă unitară și $T_e = 1$ s să se determine transformata Z a mării de ieșire, $y[k]$;
- Să se determine expresia mării de ieșire în momentele de eșantionare;
- Să se determine valoarea finală a răspunsului de la ieșire.

21. Se dau mai jos ecuațiile caracteristice ale câtorva sisteme de reglare cu eșantionare:

- $z^3 + 5z^2 + 3z + 2 = 0$;
- $3z^5 + 4z^4 + z^3 + 2z^2 + 5z + 1 = 0$;
- $z^4 + 9z^3 + 3z^2 + 9z + 1 = 0$.

Să se analizeze stabilitatea acestor sisteme.

22. Considerând $y[k]$ mărimea de ieșire și $u[k]$ mărimea de intrare, să se verifice stabilitatea sistemului descris în domeniul timpului de ecuație recurentă cu diferențe:

- $y[k] = 0,5 y[k-1] - 0,3 y[k-2] + u[k]$;
- $y[k] = 1,6 y[k-1] - y[k-2] + u[k]$;
- $y[k] = 0,8 y[k-1] + 0,4 y[k-2] + u[k]$.

23. Consideră ecuația cu diferențe $y[k+2] = 0,25 y[k]$.

- Presupunând că soluția ecuației cu diferențe este $y[k] = z^k$ să se găsească ecuația caracteristică în y ;
- Să se determine rădăcinile ecuației caracteristice, z_1 și z_2 , și, pe baza valorilor acestora să se stabilească dacă sistemul descris de această ecuație cu diferențe este stabil sau instabil;
- Presupunând soluția generală de forma

$$y[k] = c_1 z_1^k + c_2 z_2^k$$

să se determine valorile constantelor c_1 și c_2 , astfel încât să fie îndeplinite condițiile inițiale $y[0] = 0$, $y[1] = 1$.

24. Repet problema 23 pentru ecuația cu diferențe $y[k+2] = -0,25 y[k]$.

25. Repet problema 23 pentru ecuația cu diferențe $y[k+2] = y[k+1] - 0,5 y[k]$.

26. Să se analizeze, folosind criteriul Jury, stabilitatea sistemelor discrete cu ecuația caracteristică :

a) $z^2 + 0,25$;

b) $z^3 - 1,1z^2 + 0,01z + 0,405$;

c) $z^3 - 3,6z^2 + 4z - 1,6$.

27. Se dau funcțiile de transfer z pentru sistemul în circuit închis:

a) $\frac{Y(z)}{R(z)} = \frac{z+0,5}{3(z^2 - z + 0,5)}$;

b) $\frac{Y(z)}{R(z)} = \frac{0,5z}{(z^2 - z + 0,5)}$.

Să se determine suprareglajul și timpul de vârf ale răspunsului indicial (la mărime de intrare treaptă unitară).

28. Fie sistemul de reglare cu întârziere a erorii cu reacție negativă unitară cu funcția de transfer a elementului continuu de pe calea directă :

$$G(s) = \frac{K}{s(1+0,2s)}.$$

a) Să se scrie ecuațiile rădăcinilor pentru sistemul fără element de extrapolare de ordinul zero pentru $T_e = 0,1s$ și $T_e = 1s$. Să se determine, în fiecare caz, valoarea limită a lui K pentru care sistemul este stabil;

b) Să se reia punctul a) atunci când sistemul are un element de extrapolare de ordinul zero.

29. Fie sistemul de reglare cu întârziere cu reacție negativă unitară având funcția de transfer z în circuit deschis

$$G(z) = K \frac{0,4(z+0,6)}{z(z-1)(z-0,36)}.$$

Să se scrie ecuația rădăcinilor și să se determine valoarea factorului de amplificare K pentru care sistemul dat este la limita de stabilitate.

30. Următorul polinom în z reprezintă ecuația caracteristică a unui sistem de reglare cu întârziere:

$$z^3 + Kz^2 + 1,5Kz - (K+1) = 0.$$

Să se scrie ecuația rădăcinilor și să se determine valoarea lui K la limita de stabilitate a sistemului.